

22.837/H/05



STUDI EKSPERIMENTAL DAN ANALISIS PERPINDAHAN PANAS KONVEKSI ALAMIAH PADA SUATU RONGGA DENGAN VARIASI DERAJAT KEVAKUMAN

MULYONO

Nrp. : 2101.202.006

RTM
621.402.2
Mul
S-1
2005



PERPUSTAKAAN ITS	
Tgl. Terima	5-4-2005
Terima Dari	4/
No. Agenda Prp.	221916

PROGRAM STUDI MAGISTER
BIDANG KEAHLIAN TEKNOLOGI ENERGI
PROGRAM STUDI TEKNIK MESIN
FAKULTAS TEKNOLOGI INDUSTRI
PROGRAM PASCA SARJANA
INSTITUT TEKNOLOGI SEPULUH NOPEMBER
SURABAYA, 2005

LEMBAR PENGESAHAN
JUDUL
STUDI EKSPERIMENTAL DAN ANALISIS
PERPINDAHAN PANAS KONVEKSI ALAMIAH
PADA SUATU RONGGA DENGAN VARIASI
DERAJAT KEVAKUMAN

Tesis disusun untuk memenuhi salah satu syarat memperoleh gelar

Magister Teknik (MT.)

Di Institut Teknologi Sepuluh Nopember Surabaya

Oleh :

MULYONO

Nrp : 2101 202 006

Disetujui oleh Tim Pengaji Tesis

1. Dr. Ir. M. Djatmiko Ichsan, M.Eng.

2. Prof. Dr. Ir. H. Ali Altway, M.Sc.

3. Dr. Eng. Prabowo, M.Eng.

4. Dr. Ir. Sutardi, M.Eng.

Tanggal Ujian : 27 Januari 2005

Periode Wisuda : Maret 2005

Direktur Program Pasca Sarjana :

Prof. Ir. Happy Ratna, M.Sc., PhD.

NIP : 130 541 829

**STUDI EKSPERIMENTAL DAN ANALISIS PERPINDAHAN
PANAS KONVEKSI ALAMIAH PADA SUATU RONGGA
DENGAN VARIASI DERAJAT KEVAKUMAN**

Oleh : Mulyono

Dosen Pembimbing : Dr. Ir. H. Djatmiko Ichsan, M. Eng.

ABSTRAK

Dalam dunia industri, material isolasi sering digunakan untuk mempertahankan temperatur zat pada keadaan dingin atau panas. Disamping mahal dan tebal ukuran penggunaan material isolasi terkadang dipandang kurang praktis. Untuk menggantikan fungsi material isolasi sering digunakan rongga udara bertekanan rendah atau vakum. Membuat derajat kevakuman 100 % pada rongga udara tidaklah mudah. Biasanya masih adanya udara di dalam rongga akan mengakibatkan terjadinya perpindahan panas konveksi alami (natural convection) antara kedua permukaan pembentuk rongga tersebut. Koeffisien perpindahan panas konveksi (h) pada suatu rongga selain dipengaruhi oleh perbedaan temperatur juga dipengaruhi oleh geometri rongga, orientasi dari rongga dan sifat-sifat yang dimiliki oleh fluida , antara lain : tekanan, temperatur, massa jenis, konduktifitas dan viskositas.

Permasalahan yang timbul dalam penelitian ini adalah bagaimanakah pengaruh variasi derajat kevakuman dan ratio rongga terhadap laju perpindahan Panas konveksi alamiah pada suatu rongga.

Tujuan penelitian ini adalah untuk mendapatkan harga tekanan Vakum yang sesuai sebagai isolator dalam suatu rongga . Sedangkan manfaat dalam studi ini adalah untuk menghambat laju perpindahan panas antara sistem terhadap media sekelilingnya.

Dari penelitian ini diperoleh hasil bahwa dengan derajat kevakuman -60 cm Hg dan $\frac{L}{\delta} = 5.96$ diperoleh harga laju perpindahan Panas konveksi alamiah lebih rendah dibandingkan dengan derajat kevakuman -20 cm Hg dan - 40 cm Hg. Ini memberikan arti bahwa derajat kevakuman -60 cm Hg mempunyai hambatan termal lebih besar (isolator) dibandingkan dengan derajat kevakuman - 20 cm Hg dan -40 cm Hg.

Kata kunci : *Derajat Kevakuman, rongga, laju perpindahan panas konveksi alamiah, aspek ratio rongga*

AN EXPERIMENTAL STUDY AND ANALYSIS OF NATURAL CONVECTION HEAT TRANSFER IN A CAVITY WITH VACUUM PRESSURE VARIATION

By : Mulyono
Under the supervision : Dr. Ir. H. Djatmiko Ichsan M. Eng.

ABSTRACT

This paper reports on a study aimed at finding the appropriate degree of vacuum pressure which effectively works as insulator.

In the world of industry, insulation materials are often utilized to maintain the temperature, either low or high. However, since the insulation materials often need to be thick, thus, costly, they are frequently deemed impractical. Therefore, in the attempt to replace the insulation materials, a cavity with low vacuum pressure is opted for. Yet, to attain a total (100%) air-free cavity is not an easy task. Such, the cavity usually still bears some amount of air pressure which results in natural heat convection through the two surfaces making up the cavity. The transfer coefficient of natural heat convection (h) is influenced by some factors, such as, the temperature difference, geometry of the cavity, cavity orientation, and characteristics of the fluid, for instance, its pressure, temperature, conductivity, specific gravity (density), and viscosity.

The purpose of the study is to find answers to the following question: "How do vacuum pressure variation and cavity ratio affect the rate of natural heat convection through the a cavity?" Pertinent to the question, the study was aimed to find the appropriate value of the vacuum pressure which can function well as an insulator. This study is significant in the attempt to lower down the rate of heat transfer taking place in a system vis-à-vis the surrounding media.

The study found out that the degree of emptiness of -60 cm Hg and $\frac{L}{\delta} = 5.96$, results in a lower rate of heat transfer compared with -20 cm Hg and -40 cm Hg. This means that the vacuum pressure of -60 cm Hg bears a bigger thermal resistance than the -20 cm Hg and -40 cm Hg do.

Key words: *vacuum pressure, cavity, heat transfer rate of natural convection, aspects of cavity ratio*

KATA PENGANTAR

Dengan mengucapkan Syukur Alhamdulillah Kepada Tuhan Yang Maha Esa, atas Rohmat dan HidayahNya kepada penulis sehingga dapat menyelesaikan Tesis dengan judul : “ *Studi Eksperimental dan Analisa Perpindahan Panas Konveksi Alamiah pada Rongga dengan Variasi Derajat Kevakuman* ” .

Tesis ini merupakan salah satu syarat guna memperoleh Gelar Magister Teknik (MT) di Program Pasca Sarjana Teknik Mesin , Bidang Keahlian Teknologi Energi Institut Teknologi Sepuluh Nopember Surabaya (ITS).

Pada Kesempatan ini Penulis menyampaikan ucapan terima kasih kepada

1. **Dr. Ir. H. Djatmiko Ichsani, M.Eng.** selaku Dosen Pembimbing, atas bimbingan dan arahannya selama penyelesaian tesis ini ;
2. **Dr. Ir. Prabowo, M.Eng.** selaku Dosen Wali dan Pengaji Tesis, atas arahan dan koreksinya ;
3. **Prof. Dr. Ir. Ali Altway, M.Sc.** selaku pengaji Tesis, atas kelonggaran waktu beliau untuk menguji dan mengoreksi serta masukannya demi kesempurnaan penyusunan Tesis ini ;
4. **Dr. Ir. Sutardi, M.Eng.** selaku pengaji Tesis, atas arahan, koreksi dan masukknya dalam kesempurnaan penyusunan Tesis ini ;
5. **Dra. Aning Lestari** selaku Istri dan anakku **Halimatus Zahro Y, Muwaffaq I'zaz A serta Firzatullah Muhammad Shiddqi**, atas dorongan dan perhatiannya demi penyelesaian Tesis ;

6. Orang Tua Saya , **Bapak Hardjo Sardju dan Ibu Karmi**, serta adik-adik saya : **Lilik Pujiati, Sulastri Ningsih dan Jumiati**, atas dorongan dan Do'anya ;
7. Mertua saya Bapak **H. Soewandi** dan ibu **Hj. Musiyah, Mas Hadi** dan **Mbak Lies**, atas bantuan, dorongan dan Do'anya ;
8. Seluruh teman-teman Angkatan 2001 dan semua pihak yang belum saya sebutkan, atas motivasi, bantuan dan lainnya dalam penyelesaian Tesis ini.

Penulis menyadari bahwa dalam penyelesaian Tesis ini, masih dirasakan jauh dari sempurna , untuk itu penulis menyampaikan banyak terima kasih atas kritik, saran dan masukknya demi kebaikan dalam isi Tesis ini.

Pada akhirnya penulis berharap, semoga Tesis ini dapat bermanfaat bagi diri saya khususnya dan semua pihak pada umumnya.

Surabaya , Januari 2005
Hormat ,

Mulyono

DAFTAR ISI

LEMBAR PENGESAHAN	i
ABSTRAK	ii
KATA PENGANTAR	iv
DAFTAR ISI	vi
DAFTAR LAMBANG	viii
DAFTAR GAMBAR	x
BAB I : PENDAHULUAN	1
1.1. Latar Belakang	1
1.2. Rumusan Masalah	2
1.3. Batasan Masalah	3
1.4. Tujuan Penelitian	3
1.5. Manfaat penelitian	4
BAB II : TINJAUAN PUSTAKA	5
2.1. Penelitian yang telah dilakukan	5
2.2. Tinjauan Teori	7
2.2.1 Mencari Koefisien Perpindahan Panas Konveksi Alamiah Pada tabung Anulus	7
2.2.2 Laju Perpindahan Panas Total dalam Rongga	9
2.4. Perpindahan Panas Konveksi Bebas (Natural)	11
BAB III : METODOLOGI PENELITIAN	20
3.1. Variabel Penelitian	20
3.2. Peralatan Eksperimen	21
3.3. Prosedur Eksperimen	22
3.4. Diagram Alir Prosedur Penelitian	24
3.5. Tempat dan Waktu Kegiatan Penelitian	25
BAB IV : PERHITUNGAN DAN PEMBAHASAN	26
4.1. Data Penelitian	26
4.2. Perhitungan Data Penelitian	30
4.3. Pembahasan	35

4.3.1	Hubungan derajat kevakuman terhadap Bilangan Nuselt dan Rayleigh	35
4.3.2	Hubungan variasi Temperatur permukaan terhadap Bilangan Nusselt dan Rayleigh	38
4.3.3	Hubungan variasi posisi benda uji terhadap Bilangan Nusselt dan Rayleigh	40
4.3.4	Hubungan derajat kevakuman terhadap laju perpindahan panas konveksi alamiah pada rongga	43
4.4.	Validasi Eksperimen	45
BAB V	: KESIMPULAN	48
5.1.	Kesimpulan	48
5.2.	Saran	49
DAFTAR PUSTAKA		51
LAMPIRAN		



DAFTAR LAMBANG

Notasi	Keterangan	Satuan
$H=L$	Tinggi tabung	mm
D_1	Diameter tabung dalam	mm
D_2	Diameter tabung luar	mm
r_{w1-in}	Jari-jari tabung dalam bagian permukaan dalam	mm
r_{w1-out}	Jari-jari tabung dalam bagian permukaan luar	mm
r_{w2-in}	Jari-jari tabung luar bagian permukaan dalam	mm
r_{w2-out}	Jari-jari tabung luar bagian permukaan luar	mm
T_{w1-in}	Temp. tabung dalam bagian permukaan dalam	$^{\circ}\text{C}$
T_{w1-out}	Temp. tabung dalam bagian permukaan luar	$^{\circ}\text{C}$
T_{w2-in}	Temp. tabung luar bagian permukaan dalam	$^{\circ}\text{C}$
T_{w2-out}	Temp.tabung luar bagian permukaan luar	$^{\circ}\text{C}$
R	Tahanan Termal	$\text{W}/{}^{\circ}\text{k}$
k_{w1}	Konduktifitas panas bahan tabung dalam	$\text{W}/\text{m} \cdot {}^{\circ}\text{k}$
k_{w2}	Konduktifitas panas bahan tabung luar	$\text{W}/\text{m} \cdot {}^{\circ}\text{k}$
h_{udara}	Koefisien perpindahan panas konveksi udara	$\text{W}/\text{m}^2 \cdot {}^{\circ}\text{k}$
q	Laju perpindahan panas	W
θ	Sudut kemiringan	0
δ_l	Tebal lapisan batas termal	mm
δ	Diameter karakteristik (tebal rongga)	mm
g	Percepatan gravitasi	m/s^2
β	Koefisien ekspansi volume	$1/{}^{\circ}\text{C}$
ν	Viscositas kinematis	m^2/s
T_∞	Temperatur aliran bebas	$^{\circ}\text{C}$
Pr	Bilangan Prandtl	-
Nu	Bilangan Nusselt	-

Notasi	Keterangan	Satuan
Gr	: Bilangan Grashoff	-
Ra	: Bilangan Rayleigh	-
Cp	: Kapasitas panas jenis tekanan konstan	J/kg- ⁰ k
α	: Difusitas termal	m ² /s
μ	: Viscositas dinamis	Kg/m-s
ρ	: Massa jenis fluida	Kg/m ³
P	: Tekanan vakum	torr
T	: Temperatur	⁰ C
ρ_{∞}	: Massa jenis aliran bebas	Kg/m ³
k_{udara}	: Konduktifitas udara	W/m- ⁰ k
T _{es}	: Temperatur es	⁰ C

DAFTAR GAMBAR

<u>Gambar</u>	<u>Keterangan</u>	<u>Halaman</u>
Gambar 2-1	: Lapisan batas termal	7
Gambar 2-2	: Lapisan batas termal konveksi bebas	12
Gambar 3-1	: Skema Eksperimental	20
Gambar 4-1	: Distribusi Temperatur pada $L/\delta = 5.9$ dan Temperatur permukaan = 45°C	26
Gambar 4-2	: Distribusi Temperatur pada $L/\delta = 5.9$ dan Temperatur permukaan kondisi Standard	26
Gambar 4-3	: Distribusi Temperatur pada $L/\delta = 7.87$ dan Temperatur permukaan = 45°C	26
Gambar 4-4	: Distribusi Temperatur pada $L/\delta = 7.87$ dan Temperatur permukaan kondisi Standard	27
Gambar 4-5	: Distribusi Temperatur pada $L/\delta = 11.8$ dan Temperatur permukaan = 45°C	27
Gambar 4-6	: Distribusi Temperatur pada $L/\delta = 11.8$ dan Temperatur permukaan kondisi Standard	27
Gambar 4-7	: Hubungan derajat kevakuman terhadap bilangan Nusselt pada $\theta = 90^{\circ}$ dan temperatur permukaan = 45°C	34
Gambar 4-8	: Hubungan derajat kevakuman terhadap bilangan Rayleigh pada $\theta = 90^{\circ}$ dan temperatur permukaan = 45°C	35
Gambar 4-9	: Hubungan derajat kevakuman terhadap bilangan Nusselt pada $\theta = 90^{\circ}$ dan tekanan vakum = -60 cm Hg	36

Gambar 4-10	:	Hubungan derajat kevakuman terhadap bilangan Rayleigh pada $\theta = 90^0$ dan tekanan vakum = -60 cm Hg	37
Gambar 4-11	:	Hubungan posisi (teta) benda uji terhadap Bilangan Nusselt pada Tekanan Vakum = -60 cm Hg dan Temperatur permukaan = 45^0C	38
Gambar 4-12	:	Hubungan posisi (teta) benda uji terhadap Bilangan Rayleigh pada Tekanan Vakum = -60 cm Hg dan Temperatur permukaan = 45^0C	39
Gambar 4-13	:	Hubungan derajat kevakuman terhadap Laju perpindahan panas konveksi alamiah pada teta (posisi) = 90^0 dan Temperatur permukaan = 45^0C	40
Gambar 4-14	:	Hubungan posisi (teta) benda uji terhadap Laju perpindahan panas konveksi alamiah pada Tekanan vakum = -60 cm Hg dan Temperatur permukaan = 45^0C	41
Gambar 3-15	:	Hubungan waktu terhadap temperatur es mencair pada $L/\delta = 5.9$ dengan temperatur permukaan = 45^0C	43

BAB I

PENDAHULUAN

1.1. Latar Belakang

Dalam perkembangan teknologi sekarang ini, untuk mengangkut dan menyimpan zat-zat cair kriogenik yang bersuhu rendah (sampai kira-kira -250°C), misalnya hidrogen cair untuk waktu yang lama, telah dikembangkannya *Superisolator (superinsulation)*. Superisolator yang paling effectif terdiri dari lapisan-lapisan rangkap yang terbuat dari bahan yang berdaya refleksi tinggi dengan isolator-isolator sebagai pengantara. Keseluruhan sistem ini *dihamparkan* agar konduksi melalui udara menjadi minimum.

Dalam dunia industri , material isolasi digunakan untuk mempertahankan temperatur zat pada keadaan dingin atau panas. Disamping mahal dan tebal ukuran penggunaan material isoalsi terkadang dipandang kurang praktis. Untuk mengantikannya fungsi material isolasi sering digunakan rongga udara bertekanan rendah atau vakum. Membuat derajat kevakuman 100 % pada rongga udara tidaklah mudah, biasanya masih adanya udara didalam rongga yang mengakibatkan terjadinya perpindahan panas konveksi alami (natural convection) antara kedua permukaan pembentuk rongga tersebut.

Laju perpindahan panas pada suatu rongga dihitung berdasarkan hukum newton pendinginan. Sedangkan koefisien perpindahan panas konveksi (h) pada rongga dipengaruhi oleh : perbedaan temperatur dari kedua dinding pembatas, selain itu juga merupakan fungsi dari geometri rongga , orientasi dari rongga dan sifat-sifat yang dimiliki fluida . Besarnya laju perpindahan panas antara dua

permukaan yang membentuk rongga sangat dipengaruhi pula oleh kondisi sifat-sifat (properties) , yaitu ; tekanan, temperatur, massa jenis, konduktivitas, viskositas dan sebagainya dari fluida yang berada di dalam rongga tersebut.

Untuk mengurangi laju perpindahan panas pada suatu rongga (cavity), *cara penghampaan* (pemvakuman) merupakan suatu metode yang sangat populer didalam kehidupan sehari-hari. Cara ini sering digunakan pada thermos, pelat-pelat absorber pada pemanas matahari, sebagai isolasi untuk mengurangi kehilangan panas pada reaktor nuklir, pendinginan pada tangki sampah radioaktif, ventilasi ruangan dan seterusnya.

1.2. Rumusan Masalah

Kondisi gas yang berada pada suatu rongga akan mempunyai konsekuensi terhadap kondisi fisik zat/fluida yang ada didalamnya. Ini mempunyai korelasi besar terhadap fenomena koefisien perpindahan panas konveksi alamiah antar gas/zat dalam rongga dengan sekelilingnya. Maka dengan ini dapat kita rumuskan masalah sebagai berikut :

1. Bagaimanakah pengaruh derajat kevakuman dan aspek ratio rongga terhadap laju perpindahan panas konveksi alamiah pada suatu rongga (tabung anulus).
2. Bagaimanakah hubungan antara variasi derajat Kevakuman dengan bilangan Nusselt, bilangan Rayleigh dan aspek ratio rongga .

1.3. Batasan Masalah

Untuk mengetahui phenomena pada permasalahan tersebut di atas akan dilakukan suatu penelitian perpindahan panas konveksi alamiah yang terjadi di dalam suatu rongga yang dibentuk oleh dua silinder dengan diameter yang berbeda. Oleh karena itu batasan permasalahan pada penelitian ini adalah :

1. Ukuran tabung anulus (cincin) :

Tinggi (H) : 300 mm = 0.300 m

Diameter Pipa/tabung dalam(D_1) tetap : 50.8 mm/0.0508 m (2 in)

Variasi diameter tabung luar (D_2): 76.2 mm/0.07612 m (3 in),

88.9 mm/ 0.0889 m (3.5 in), 101.6 mm/0.1016 m (4 in).

2. Variasi tekanan vacuum (vacuum rendah) dalam tabung adalah :

-20 cm Hg (P abs : -560 torr), -40 cm Hg (P abs : -360 torr) , -60 cm

Hg (Pabs : -160 torr),

3. Tabung /pipa dalam berisi es dan tabung luar berisikan udara murni.

4. Kondisi operational berlangsung dalam kondisi tunak.

5. Perpindahan panas diasumsikan hanya berlangsung secara konveksi alamiah dan mengabaikan efek radiasi.

6. Bahan tabung adalah baja carbon chrom (ST-45)

7. Tabung luar diberikan perlakuan panas dengan variasi temperatur :

35 ° C, 45 ° C, 55 ° C dan 65 ° C

1.4. Tujuan Penelitian

Tujuan dari penelitian ini adalah :

1. Untuk mendapatkan harga tekanan kevakuman yang sesuai sebagai Insulator dalam suatu rongga
2. Untuk mendapatkan sejauhmana hubungan/korelasi variasi derajat kevakuman terhadap bilangan Nusselt, bilangan Rayleigh dan aspek ratio rongga.

1.5. Manfaat Penelitian

Manfaat yang diharapkan dari hasil penelitian ini adalah :

1. Untuk meningkatkan daya tahan penyimpanan bahan, misalnya : ikan, obat dan bahan-bahan lain yang tidak tahan pada kondisi tekanan atmosfir/lingkungan.
2. Sebagai masukan dalam perancangan alat penukar kalor khususnya dalam ruangan yang vacuum/hampa.
3. Menambah wacana keilmuan dalam bidang perpindahan panas pada umumnya, dan alat penukar kalor pada khususnya.

BAB II

TINJAUAN PUSTAKA

2.1. Penelitian yang telah dilakukan

Xundan Shi, dkk (2003), melakukan penelitian tentang perpindahan panas konveksi alamiah secara aliran laminar dan kondisi tunak (steady state) pada suatu rongga berbentuk bujur sangkar yang dilengkapi sirip tipis dengan analisa sistem komputasi. Dari hasil analisa diperoleh hubungan bilangan Nusselt rata-rata sebagai berikut :

$$\overline{Nu} = (0.1213 Sp^2 - 0.1202 Sp + 0.1807) Ra^{0.2979} Lp^{0.0656} \dots \text{untuk } Ra = 10^4 - 10^5$$

$$\overline{Nu} = (0.0163 Sp^2 - 0.0129 Sp + 0.1598) Ra^{0.2979} Lp^{0.0656} \dots \text{untuk } Ra = 10^6 - 10^7$$

dimana

Sp : besaran non dimensional dari perbandingan letak sirip terhadap lebar rongga.

Lp : besaran non dimensional dari perbandingan panjang sirip terhadap lebar rongga

Wang dkk (2000), melakukan penelitian perpindahan panas konveksi alamiah pada suatu bujur sangkar yang membentuk sudut dalam ruangan tertutup (enclosure). Variasi sudut (θ) yang diberikan adalah $0^\circ, 30^\circ, 45^\circ, 60^\circ$ dan 90° . Dari hasil eksperimen didapatkan hubungan bilangan Nusselt sebagai berikut

$$Nu_{l.m} = 0.5360 (Ra_l \cos \theta)^{0.25}$$

Campo dkk (2000), melakukan penelitian perpindahan panas konveksi bebas pada rongga (cavities) yang berbentuk segi empat. Rongga segi empat diisi

campuran antara helium dan nitrogen. Sedangkan variasi campuran helium dan nitrogen adalah 70 % He + 30 % Ni dan 60 % He + 40 % Ni. Rongga berbentuk segi empat, bagian dinding atas dan bawah di isolasi sedangkan bagian vertical di berikan perlakuan temperatur yang berbeda.

Dalam penelitian ini mempunyai tujuan untuk mendapatkan hubungan properties campuran yaitu : massa jenis campuran (ρ_m) , kapasitas panas jenis tekanan konstan campuran (Cp_m) , Kerapatan dinamik campuran (μ_m) , konduktifitas panas campuran (k_m) terhadap koefisien perpindahan panas konveksi rata-rata maksimum ($\overline{h_m}$) dan diperoleh hubungan sebagai berikut :

$$\overline{h_m} = B \sqrt[3]{\frac{k_m^2 \rho_m^2 Cp_m}{\mu_m}}$$

Penelitian ini menghasilkan Koefisien perpindahan panas konveksi rata-rata maksimum campuran (He dan Ni) sebagai berikut :

Suhu (^0K)	$\overline{h_m \text{ max}}$ ($\text{W/m}^2 - ^0\text{K}$)
200	68.4
1000	33

Oronzio Manca (2002), melakukan penelitian tentang perpindahan panas konveksi bebas di antara dua plat yang dipanaskan dan posisi kedua plat yang membentuk sudut. Sedangkan variasi perlakuan yang diberikan adalah :

Variasi jarak antara dua plat (b) : 20-32.3 mm

Variasi sudut (posisi) plat (θ) : $0 - 88^0$

Tinggi susunan saluran (t) : 409 mm

Lebar plat (w) : 450 mm

Dalam penelitian ini, menghasilkan hubungan bilangan Nusselt (Nu) dengan bilangan Rayleigh (Ra) adalah sebagai berikut :

$$Nu_x = a (Ra_x \cos \theta)^b$$

Dimana : harga $Ra_x = 20 - 8.0 \cdot 10^5$

Jumlah Lajur Plat	Koefisien/Konstanta		
	a	b	R^2
4	0.806	0.231	0.974
6	0.650	0.228	0.953
8	0.622	0.244	0.946

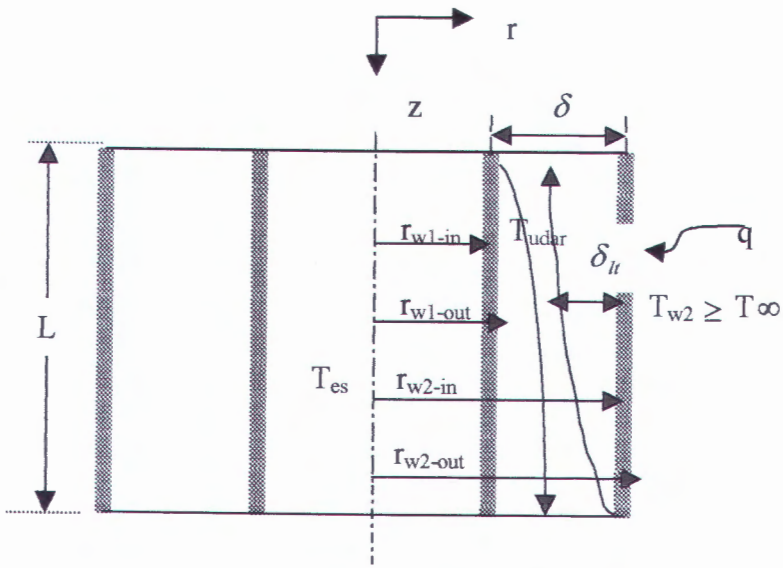
Dari paparan penelitian yang telah dilakukan diatas, dapat diambil suatu pelajaran bagi peneliti untuk melakukan suatu kajian terhadap laju perpindahan panas konveksi alamiah pada suatu tabung anulus , yang diberikan perlakuan berupa : variasi derajat kevakuman, variasi kemiringan benda uji, variasi pembebanan temperatur permukaan dan variasi diameter tabung luar yang berbeda.

2.2. Tinjauan Teori

2.2.1. Mencari koefisien perpindahan panas konveksi alamiah pada tabung anulus

Mencari koefisien perpindahan panas konveksi alamiah, tidak lepas dengan pemahaman tentang lapisan batas termal. Lapisan batas termal (thermal boundary layer) didefinisikan sebagai daerah didalamnya terdapat gradien suhu

dalam aliran tersebut. Gradien suhu tersebut diakibatkan oleh proses pertukaran kalor antara fluida dan dinding atau sebaliknya.



Gambar : 2-1

Lapisan batas termal pada tabung anulus

Seperti pada gambar 2-1, temperatur dinding tabung luar bagian dalam (r_{w2-in}) lebih besar dari pada temperatur udara (T_{udara}) sehingga lapisan batas termal akan terbentuk jika ada pergerakan molekul untuk membawa energi dalam suatu rongga/celah.

Berdasarkan gambar diatas maka dapat dibuat kesetimbangan energi/neraca energi pada muka atur sebagai berikut :

$$q = q|_{konduksi-wall2} = q|_{konveksi\ udara} = q|_{konduksi-wall1} = q|_{konveksi-es},$$

atau

$$\begin{aligned}
q &= \frac{(T_{w2-out} - T_{w2-in})}{\left(\frac{\ln\left(\frac{r_{w2-out}}{r_{w2-in}}\right)}{2\pi L k_{w2}} \right)} = \frac{(T_{w2-in} - T_{w1-out})}{\left(\frac{1}{2\pi L r_{w2-in} h_{w2-in} + 2\pi L r_{w1-out} h_{w1-out}} \right)} \\
&= \frac{(T_{w1-out} - T_{w1-in})}{\left(\frac{\ln\left(\frac{r_{w1-out}}{r_{w1-in}}\right)}{2\pi L k_{w1}} \right)} = h_{es} 2\pi L r_{w1-in} \frac{(T_{w1-in} - T_{es})}{\left(\frac{1}{2\pi L r_{w1-in} h_{w1-in}} \right)}
\end{aligned}$$

..... (2-1)

Untuk menghitung koefisien perpindahan panas dari **dinding tabung luar ke temperatur udara (h_{udara})** pada permukaan tabung luar bagian dalam adalah sebagai berikut :

Kesetimbangan Energi :

$$\frac{\frac{(T_{w2-out} - T_{w2-in})}{\ln\left(\frac{r_{w2-out}}{r_{w2-in}}\right)}}{\frac{2\pi k_{w2} L}{}} = \frac{(T_{w2-in} - T_{udara})}{\frac{1}{2\pi h_{udara} L (r_{w2-in})}} \quad \dots \dots \dots \quad (2-2).$$

Sehingga didapatkan koeffisien perpindahan panas konveksi udara (h_{udara}) sebagai berikut :

$$h_{udara-lokal} = \frac{k_{w2} (T_{w2-out} - T_{w2-in})}{\ln\left(\frac{r_{w2-out}}{r_{w2-in}}\right)} \times \frac{1}{r_{w2-in} \cdot (T_{w2-in} - T_{udara})} \quad \dots \dots \quad (2-3)$$

Untuk menghitung Koeffisien perpindahan panas konveksi **dari dinding tabung dalam ke temperatur es (h_{es})**.

Kesetimbangan energi :

$$\frac{\left(T_{wl-out} - T_{wl-in} \right)}{\ln\left(\frac{r_{wl-out}}{r_{wl-in}}\right)} = \frac{\left(T_{wl-in} - T_{es} \right)}{\frac{1}{2 \pi h_{es} L \left(r_{wl-in}\right)}} \dots \dots \dots \quad (2-4).$$

Sehingga diperoleh koefisien perpindahan panas konveksi es (h_{es}), sebagai berikut :

$$h_{esl} = \frac{k_{wl} (T_{wl-out} - T_{wl-in})}{\ln \left(\frac{r_{wl-out}}{r_{wl-in}} \right)} x - \frac{1}{r_{wl-in} \cdot (T_{wl-in} - T_{es})} \dots \quad (2-5)$$

Menghitung bilangan Nuselt pada udara adalah sebagai berikut :

$$Nu = \frac{h_{udara} \cdot (r_{w2-in} - r_{w1-out})}{k_{udara}} = \frac{h_{udara} \cdot \delta}{k_{udara}} \quad \dots \dots \dots \quad (2-6)$$

2.2.2. Laju Perpindahan Panas Total dalam Tabung Annulus

Berdasarkan pada gambar 2-1, sebelum untuk mendapatkan laju perpindahan panas total maka di cari lebih dahulu “ Tahanan Termal” pada bidang tersebut, yaitu didapatkan :

$$R = \frac{\ln\left(\frac{r_{w2-out}}{r_{w2-in}}\right)}{2 \cdot \pi k_{w2} L} + \frac{1}{2 \cdot \pi h_{w2-in} L (r_{w2-in}) + 2 \cdot \pi L \cdot h_{wl-out} r_{wl-out}} + \frac{\ln\left(\frac{r_{wl-out}}{r_{wl-in}}\right)}{2 \cdot \pi k_{wl} L}$$

..... (2-7)

dimana :

L : tinggi tabung (m)

r_{w-out} : jari-jari tabung luar bagian permukaan luar (m)

r_{w2-in} = r_2 : jari-jari tabung luar bagian permukaan dalam (m)

$r_{w\text{-out}}$: jari-jari tabung dalam bagian permukaan luar (m)

$r_{w1-in} = r_1$: jari-jari tabung dalam bagian permukaan dalam (m)

- T_{w2-out} : temperatur tabung luar bagian permukaan luar ($^{\circ}\text{K}$)
 T_{w2-in} : temperatur tabung luar bagian permukaan dalam ($^{\circ}\text{K}$)
 T_{w1-out} : temperatur tabung dalam bagian permukaan luar ($^{\circ}\text{K}$)
 T_{w1-in} : temperatur tabung dalam bagian permukaan dalam ($^{\circ}\text{K}$)
 k_{w2} : konduktifitas panas bahan tabung luar ($\text{W}/\text{m} \cdot ^{\circ}\text{K}$)
 k_{w1} : konduktifitas panas bahan tabung dalam ($\text{W}/\text{m} \cdot ^{\circ}\text{K}$)

Sedangkan persamaan perpindahan panas total (q_{total}) adalah sebagai berikut :

$$q_{total} = \frac{(T_{w2-out} - T_{w1-in})}{R}, \text{ dimana } R = \text{Tahanan termal} \dots\dots\dots (2-8)$$

substitusikan persamaan (2-7) ke persamaan (2-8) , diperoleh persamaan perpindahan panas total sebagai berikut :

$$q_{total} = \frac{(T_{w2-out} - T_{w1-in})}{\frac{\ln\left(\frac{r_{w2-out}}{r_{w2-in}}\right)}{2 \cdot \pi k_{w2} L} + \frac{1}{2 \cdot \pi h_{uw2-in} L (r_{w2-in}) + 2 \pi h_{w1-out} L r_{w1-out} t} + \frac{\ln\left(\frac{r_{w1-out}}{r_{w1-in}}\right)}{2 \cdot \pi k_{w1} L}} \dots\dots\dots (2-9)$$

2.3. Perpindahan panas Konveksi Bebas/Alamiah

Konveksi dalam ilmu perpindahan panas digunakan untuk menunjukkan model perpindahan panas yang terjadi antara permukaan dan fluida yang bergerak pada kondisi temperatur yang berbeda. Perpindahan panas konveksi dibedakan menjadi dua macam, yaitu: konveksi paksa (forced convection) dan konveksi alamiah (natural convection). Konveksi paksa terjadi bila aliran fluida disebabkan oleh gaya luar, misalnya: fan, pompa, blower dll. Sedangkan konveksi alamiah gerakan fluida disebabkan akibat adanya gaya apung (bouyancy force). Gaya

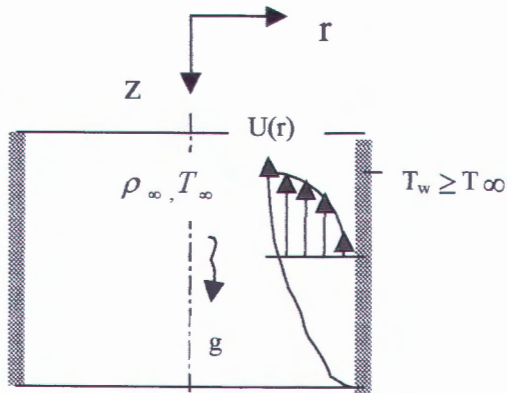
apung yang menyebabkan aliran konveksi bebas adalah gaya badan (body force) (Holman, 1988).

Konveksi alamiah yang umum terjadi dan paling sering digunakan adalah konveksi bebas yang terjadi pada bidang vertikal/dinding, tapi pada kesempatan ini akan dilakukan pada suatu silinder berongga yang dindingnya dipanaskan atau lebih tinggi suhunya dibandingkan dengan fluida didalamnya (misalnya udara).

Gambar dibawah menunjukkan fenomena lapisan batas yang terjadi pada permukaan dalam silinder. Sedangkan untuk memudahkan analisa untuk lapisan batas hidrodinamik dan lapisan batas termal digambarkan berimpit.

Kecepatan aliran fluida dalam konveksi bebas adalah berharga nol pada permukaan, bertambah cepat dalam lapisan batas yang tipis dan menjadi nol lagi pada lapisan batas kondisi bebas. Dalam menganalisa proses yang terjadi pada sistem perpindahan panas konveksi untuk memudahkan analisa digunakan pendekatan persamaan pengendali (governing equation) dengan ketentuan sebagai berikut :

1. Suhu dinding tabung luar ---> $T_w \geq T_\infty$
2. Arah gaya body searah gaya gravitasi; sesuai arah z.
3. Aliran dalam kondisi tunak 2 dimensi (r, z).
4. Fluida incompresibel



Gambar 2-2:

Lapisan batas termal untuk konveksi Bebas

Persamaan Kontinuitas :

$$\frac{1}{r}(\rho r V_r) + \frac{\partial}{\partial z}(r \cdot \rho V_z) = 0 \quad \dots \dots \dots \quad (2-10)$$

Persamaan Momentum :

Arah z :

$$\rho \left[v_r \frac{\partial v_z}{\partial r} + v_z \frac{\partial v_z}{\partial z} \right] = - \frac{\partial p}{\partial z} - \left[\frac{1}{r} (r \cdot \tau_{rz}) + \frac{\partial \tau_{zz}}{\partial z} \right] - \rho \cdot g_z, \text{ atau :}$$

$$\rho \left[v_r \frac{\partial v_z}{\partial r} + v_z \frac{\partial v_z}{\partial z} \right] = \frac{\partial}{\partial z} [\tau_{zz} - p] + \frac{1}{r} (r \cdot \tau_{rz}) - \rho \cdot g \quad \dots \dots \dots \quad (2-11)$$

Dimana :

$$\rho g = \text{gaya body} \neq 0$$

$$\tau_{zz} = 2 \mu \frac{\partial v_z}{\partial z} - \frac{2}{3} \mu \left[\frac{\partial v_r}{\partial r} + \frac{\partial v_z}{\partial z} \right] \quad \dots \dots \dots \quad (2-12)$$

$$\tau_{rz} = \tau_{zr} = \mu \left[\frac{\partial v_z}{\partial r} + \frac{\partial v_r}{\partial z} \right] \quad \dots \dots \dots \quad (2-13)$$

$$\text{karena } v_z \gg v_r \text{ maka } \frac{\partial v_z}{\partial r} \gg \frac{\partial v_r}{\partial z}; \frac{\partial v_r}{\partial r}; \frac{\partial v_z}{\partial z}$$

Jadi persamaan (2-11) dan (2-12) menjadi :

$$1. \quad \tau_{zz} \approx 0$$

$$2. \quad \tau_{rz} = \tau_{zr} = \mu \left[\frac{\partial v_z}{\partial r} \right]$$

Maka persamaan momentum arah z menjadi :

$$\rho \left[v_r \frac{\partial v_z}{\partial r} + v_z \frac{\partial v_z}{\partial z} \right] = - \frac{\partial p}{\partial z} + \frac{\partial}{\partial r} \left[\mu \frac{\partial v_z}{\partial r} \right] - \rho \cdot g_z \quad \dots \dots \dots \quad (2-14)$$

untuk $\mu = \text{konstan}$, maka persamaan menjadi :

$$\left[v_r \frac{\partial v_z}{\partial r} + v_z \frac{\partial v_z}{\partial z} \right] = - \frac{1}{\rho} \frac{\partial p}{\partial z} + \frac{\partial}{\partial r} \left[\frac{\mu}{\rho} \frac{\partial v_z}{\partial r} \right] - g \quad \dots \dots \dots \quad (2-15)$$

atau

$$\left[v_r \frac{\partial v_z}{\partial r} + v_z \frac{\partial v_z}{\partial z} \right] = - \frac{1}{\rho} \frac{\partial p}{\partial z} + \nu \frac{\partial^2 v_z}{\partial r^2} - g \quad \dots \dots \dots \quad (2-16)$$

Syarat batas :

$$v_r = v_z = 0$$

$$\left. \frac{\partial p}{\partial z} \right|_{bl} = \left. \frac{\partial p}{\partial z} \right|_{qr} \quad \text{dimana : bl = boundary layer}$$

qr = quiescent region

maka persamaan (2-16) menjadi :

$$[0 + 0] = - \frac{1}{\rho_\infty} \frac{\partial p}{\partial z} + 0 - g ; \quad \rho = \rho_\infty$$

$$\frac{\partial p}{\partial z} = - g \rho_\infty \quad \dots \dots \dots \quad (2-17)$$

Persamaan Lapisan batas menjadi :

$$\left[v_r \frac{\partial v_z}{\partial r} + v_z \frac{\partial v_z}{\partial z} \right] = - \frac{1}{\rho} (- \rho_\infty g) + \nu \frac{\partial^2 v_z}{\partial r^2} - g , \text{ atau}$$

$$\left[v_r \frac{\partial v_z}{\partial r} + v_z \frac{\partial v_z}{\partial z} \right] = \frac{g}{\rho} (\rho_\infty - \rho) + \nu \frac{\partial^2 v_z}{\partial r^2} \quad \dots \dots \dots \quad (2-18)$$

dimana :

$$\frac{g}{\rho} (\rho_\infty - \rho) = \text{gaya apung} \quad \dots \dots \dots \quad (2-19)$$

Bila, $\beta = -\frac{1}{\rho} \left(\frac{\partial p}{\partial T} \right) \approx -\frac{1}{\rho} \left(\frac{\rho_\infty - \rho}{T_\infty - T} \right)$ disebut Koeffisien Ekspansi volumetris

panas

Sehingga :

$$\rho_\infty - \rho = \rho \beta (T - T_\infty) \quad \dots \dots \dots \quad (2-20)$$

Persamaan (2-20) disubstitusikan ke persamaan (2-18) menjadi :

$$\left[v_r \frac{\partial v_z}{\partial r} + v_z \frac{\partial v_z}{\partial z} \right] = \frac{g}{\rho} \rho \beta (T - T_\infty) + \nu \frac{\partial^2 v_z}{\partial r^2}, \text{ atau :}$$

$$\left[v_r \frac{\partial v_z}{\partial r} + v_z \frac{\partial v_z}{\partial z} \right] = g \beta (T - T_\infty) + \nu \frac{\partial^2 v_z}{\partial r^2} \quad \dots \dots \dots \quad (2-21)$$

Kondisi batas :

$$r = r_{w2-in} \text{ maka } v_z = 0$$

$$r = r_{wl-out} \text{ maka } v_z = 0$$

Persamaan energi :

$$\left[v_r \frac{\partial T}{\partial r} + v_z \frac{\partial T}{\partial z} \right] = \alpha \frac{\partial^2 T}{\partial r^2} \quad \dots \dots \dots \quad (2-22)$$

Kondisi batas :

$$T = T_{w2-in} \text{ pada } r = r_{w2-in}$$

$$T = T_{w2-in} \text{ pada } r = r_{wi-out}$$

Pertimbangan Kesamaan (similarity consideration) :

Parameter tanpa dimensi yang digunakan adalah ;

$$\begin{aligned} \mathcal{V}_r^* &= \frac{\mathcal{V}_r}{(\mathcal{V}_r)_0} & \mathcal{V}_z^* &= \frac{\mathcal{V}_z}{(\mathcal{V}_z)_0} & T^* &= \frac{T - T_\infty}{T_s - T_\infty} & r^* &= \frac{r}{\delta} \\ z^* &= \frac{z}{\delta} \end{aligned} \quad (2-23)$$

dimana :

T_s = temperatur permukaan

T_∞ = temperatur aliran bebas

$(v_r)_o = (v_z)_o$ = kecepatan acuan sembarang

$$= \sqrt{g \beta \delta (T - T_\infty)}$$

Masukkan persamaan (2-23) ke persamaan (2-21) dan (2-22) didapat :

Persamaan Momentum arah z :

$$\left[v_r^* \frac{\partial v_z^*}{\partial r^*} + v_z^* \frac{\partial v_r^*}{\partial z^*} \right] = g \beta \left(\frac{T - T_o}{(v_z)_{o_\infty}^2} \right) \delta T^* + \left(\frac{v}{(v_r)_o \delta} \right) \frac{\partial^2 v_z^*}{\partial r^*} \dots \quad (2-24)$$

Persamaan Energi :

$$\left[v_r^* \frac{\partial T^*}{\partial r^*} + v_z^* \frac{\partial T^*}{\partial z^*} \right] = \left(\frac{\alpha}{(v_z)_o \delta} \right) \frac{\partial^2 T^*}{\partial r^2} \quad \dots \dots \quad (2-25)$$

Dari persamaan (2-24) dan persamaan (2-25) terdapat dua parameter yang mempunyai nilai sama yaitu :

$$\left(\frac{\alpha}{(v_z)_o \delta} \right); \left(\frac{g \beta (T_s - T_\infty) \delta^2 (v_z)_o}{(v_z)_o^2 v} \right) \dots \quad (2-26)$$

atau ;

$$\left(\frac{k}{(v_z)_o \rho c_p \delta} \right); \left(\frac{g \beta (T_s - T_\infty) \delta^3}{(v_z)_o^2 \delta \nu} \right) \dots \dots \dots \quad (2-27)$$

maka :

$$\left(\frac{\mu c_p}{k} \right) \cdot \left(\frac{g \beta (T_s - T_\infty) \delta^3}{\nu^2} \right) = p_r G_{r_\delta} \dots \dots \dots \quad (2-28)$$

dimana :

G_{r_δ} = bilangan grashoft

g = gaya gravitasi (9.81 m/s^2)

g' = $g \cdot \cos \theta$ = gaya gravitasi bila benda uji berposisi miring

δ = diameter karakteristik (mm)

β = koeffisien ekspansi volumetris panas ($1/k$, untuk gas ideal = $1/T$)

ν = viscositas kinematis fluida (m^2/s)

T_s = temperatur permukaan ($^\circ\text{C}$ atau $^\circ\text{k}$)

T_∞ = temperatur fluida dekat permukaan ($^\circ\text{C}$ atau $^\circ\text{k}$)

Bilangan Grashoft merupakan perbandingan antara gaya apung (buoyancy force) dengan gaya viscous (viscouse force) dalam aliran fluida bebas , yang mempunyai peranan yang sama seperti halnya bilangan Reynolds (Re) pada aliran fluida paksa. Sedangkan bilangan Prandtl (Pr) merupakan perbandingan antara momentum suatu aliran terhadap diffusitas termalnya, yang dinyatakan sebagai berikut :

$$P_r = \frac{C_p \mu}{k} \dots \dots \dots \quad (2-29)$$

dimana :

C_p : kapasitas panas jenis tekanan konstan fluida ($\text{J/kg} \cdot {}^\circ\text{k}$)

k : koefisien konduktifitas panas ($\text{W}/\text{m} \cdot ^\circ\text{K}$)

μ : viscositas dinamik fluida ($\text{kg}/\text{m} \cdot \text{s}$)

Untuk menentukan tipe aliran laminer atau turbulen pada konveksi bebas dinyatakan dalam bilangan Rayleigh (Ra) yang mempunyai kondisi kritis aliran yang terjadi adalah $\text{Ra}_{\text{D},c} \sim 10^9$. Bilangan Rayleigh diperoleh dari hasil perkalian antara bilangan Prandtl (Pr) dengan Grashof (Gr), yang dinyatakan sebagai berikut :

$$\text{Ra}_\delta = \frac{g \beta \delta^3 (T_s - T_\infty)}{\alpha v} \quad \dots \dots \dots \quad (2-30)$$

dimana :

α : difusitas panas fluida (m^2/s)

Bilangan tanpa dimensi yang lain adalah bilangan Nusselt (Nu). Dalam persamaan (2-26), (2-27) dan (2-28) bilangan Nusselt merupakan suatu fungsi yang dinyatakan sebagai berikut :

$$\text{Nu}_\delta = \frac{h \delta}{k} = f(\text{Gr} \cdot \delta, \text{Pr}) \quad \dots \dots \dots \quad (2-31)$$

dimana :

h : koefisien konveksi fluida ($\text{W}/\text{m}^2 \cdot ^\circ\text{K}$)

Dalam praktik perekayasaan harga bilangan Nusselt untuk aliran didalam saluran biasanya ditentukan dari persamaan-persamaan empiris yang didasarkan pada hasil eksperiment yang telah dilakukan .

Jadi korelasi empiris dalam penelitian ini adalah :

$$\text{Nu} = C (\text{Gr} \cdot \delta \cdot \text{Pr})^m \left(\frac{L}{\delta} \right)^n \quad \dots \dots \dots \quad (2-32)$$

Dimana : C : konstanta

m, n : konstanta eksponensial

Gr- δ : bilangan grashoft

Pr : bilangan Prandtl

$\left(\frac{L}{\delta}\right)$: aspek ratio rongga

Lapisan batas termal yang terjadi pada permukaan dinding yang dipanaskan terbentuk mulai dari bagian bawah dinding kemudian berkembang sampai bagian atas dinding, atau sebaliknya untuk dinding yang didinginkan . Sesuai dengan gerakan fluida pada konveksi bebas/alamiah pada dinding atau silinder vertikal tertutup, yang salah satu dinding dipanaskan dan dinding lainnya didinginkan , seperti pada gambar 2-2.

Sedangkan untuk menentukan tebal lapisan batas yang berkembang sampai batas dinding dari permukaan vertikal yang tertutup , menurut Nailor (1999) dinyatakan sebagai berikut :

$$\delta_u = \frac{\delta}{(Gr_{\delta})^{0.25}} \dots \dots \dots \dots \quad (2-33)$$

Dimana :

δ_u : tebal lapisan batas(mm)

δ : diameter karakteristik (mm)

Gr_{δ} : bilangan Grashoft



BAB III

METODOLOGI PENELITIAN

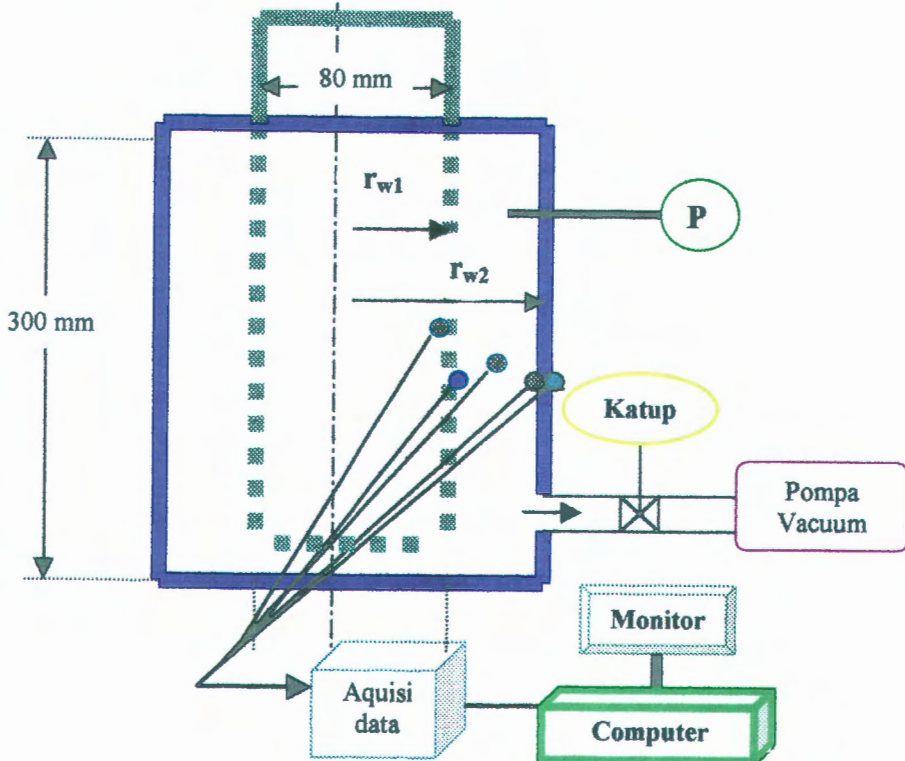
3.1. Variabel penelitian

Analisa proses perpindahan panas konveksi alamiah dalam tabung annulus yang diberikan perlakuan berupa variasi derajat kevakuman, dilakukan analisa dimensional dengan pendekatan “DALIL π BUCKINGHAM” atau Buckingham method, yang mana akan didapatkan suatu fungsi-fungsi tanpa dimensi. Berikut persamaan fungsi koeffisien perpindahan panas konveksi alamiah yang menyatakan hubungan antara variabel-variabel adalah sebagai berikut ;

$$h = f \{ \delta, k, C_p, \mu, \rho, p, \beta g (T_s - T_f) \} \dots \dots \dots \quad (3-1)$$

atau

$$f \{ h, \delta, k, C_p, \mu, \rho, p, \beta g (T_s - T_f) \} = 0 \dots \dots \dots \quad (3-2)$$



Gambar 3-1: Skema Eksperimen

Dengan menggunakan dimensi ML_TT (massa, panjang, waktu dan temperatur) akan didapat grup parameter tanpa dimensi dari fungsi diatas, yaitu :

$$1. \pi_1 = f(h, \delta^{a1}, k^{b1}, \mu^{c1}, p^{d1}, \rho^{e1}) \approx \text{bilangan Nusselt} \dots \dots \dots \quad (3-3)$$

$$2. \pi_2 = f(Cp, \delta^{a2}, k^{b2}, \mu^{c2}, p^{d2}, \rho^{e2}) \approx \dots \text{bilangan Prandtl} \dots \quad (3-4)$$

$$3. \pi_3 = f(\beta g(T_s - T_f), \delta^{a3}, k^{b3}, \mu^{c3}, p^{d3}, \rho^{e3}) \approx \text{bil. Grashof} \quad (3-5)$$

$$4. \pi_4 = \left(\frac{L}{\delta} \right) \approx \text{aspek ratio rongga} \dots \dots \dots \quad (3-6)$$

sehingga didapatkan persamaan koeffisien perpindahan panas konveksi alamiah dalam bentuk variabel tanpa dimensi sebagai berikut :

$$\pi_1 = f(\pi_2, \pi_3, \pi_4), \text{ atau :}$$

$$Nu = f(Pr, Gr_\delta, \frac{L}{\delta}) \dots \dots \dots \quad (3-7)$$

atau :

$$Nu = f(Ra_\delta, \frac{L}{\delta}) \dots \dots \dots \quad (3-8)$$

Dari analisa dimensi diperoleh koeffisien perpindahan panas (variabel tetap) konveksi alamiah sebagai fungsi dari *bilangan Rayleigh*, *aspek ratio rongga*, seperti diuraikan pada persamaan (3-8).

3.2. Peralatan Eksperimen

Eksperimen ini dilakukan untuk mendapatkan hubungan secara empiris antara koeffisien perpindahan panas konveksi alamiah (bilangan Nusselt) terhadap bilangan Prandtl, bilangan Grashof dengan melakukan perlakuan berupa variasi derajat kevakuman (tekanan rendah) dan aspek ratio diameter tabung/rongga.

Peralatan yang digunakan dalam eksperimen ini adalah sebagai berikut :

1. Barometer vacuum , untuk mengukur tekanan vacuum
2. Thermometer biasa, untuk mengukur temperatur ruangan
3. Tabung anulus dari bahan baja carbon chrom , sebagai obyek penelitian.
4. Thermokopel/sensor Type lm-35 ; untuk mengukur temperatur dinding tabung.
5. Pompa vakum (yang digunakan untuk AC), untuk menyvakumkan tabung anulus/rongga.
6. Acquisisi data, difungsikan untuk merekam input data dari sensor atau termokople, yang merubah input panas menjadi volt selanjutnya menjadi data temperatur.
7. Seperangkat komputer (PC), untuk menampilkan data hasil proses dari data aquisisi.
8. Katup, untuk membuka dan menutup aliran udara ke rongga .
9. Fluida kerja, tabung dalam berupa es dan tabung luar berupa udara.

Untuk mengukur temperatur pada sejumlah titik pada dinding tabung digunakan thermokopel type lm-35 yang dihubungkan dengan data aquisisi yang telah dikalibrasi, selanjutnya dihubungkan ke seperangkat komputer untuk membaca data temperatur.

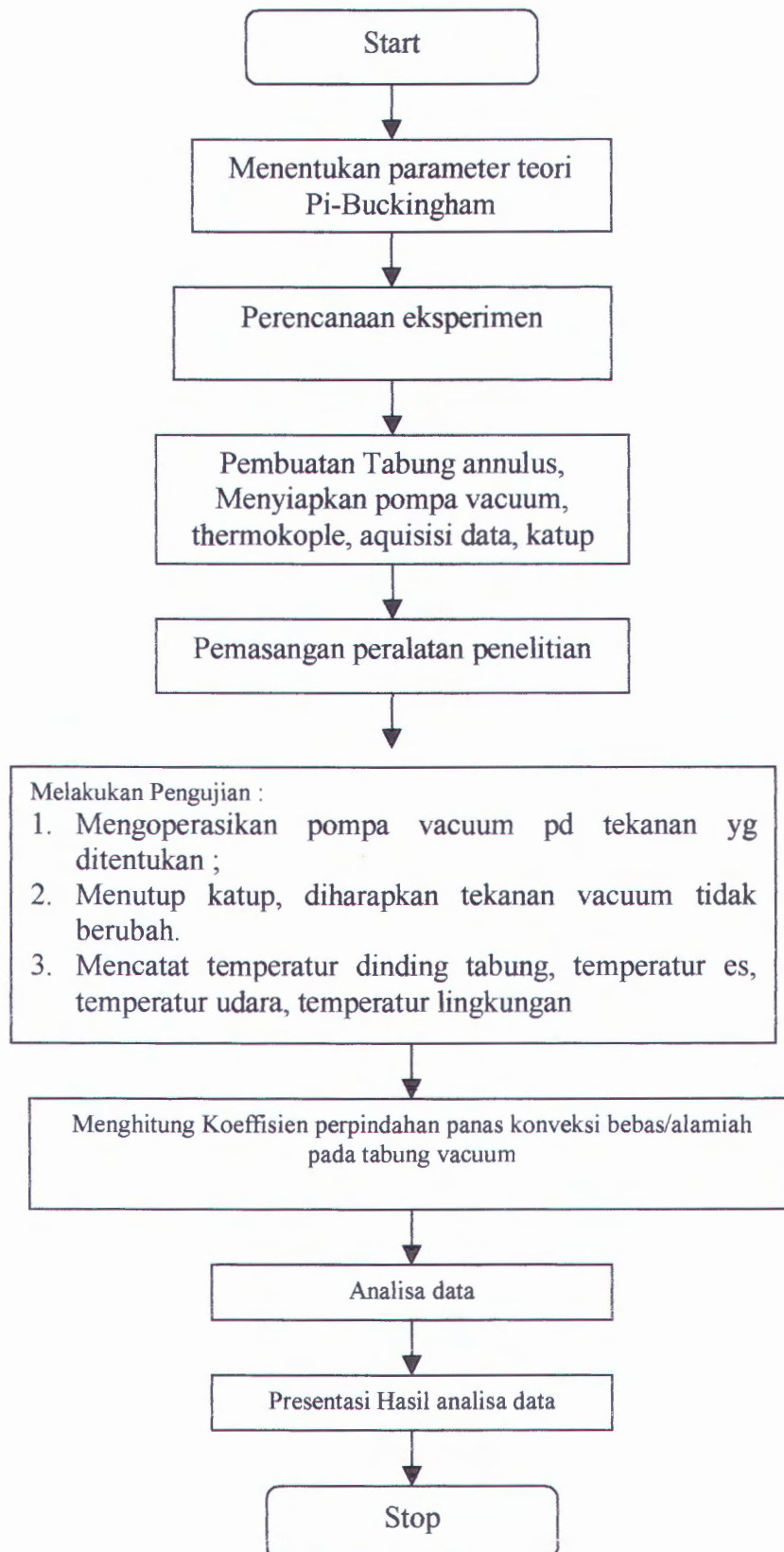
3.3. Prosedur Percobaan

Untuk melakukan penelitian dan pengambilan data, dilakukan langkah-langkah penelitian sebagai berikut :

1. Mempersiapkan tabung annulus, thermokople, barometer, es, pompa vacuum dan komputer selanjutnya alat tersebut diset sedemikian rupa.
2. Operasikan pompa vakum hingga mencapai tekanan vakum yang telah ditentukan .
3. Bila tekanan vakum (tekanan yang direncanakan) telah tercapai, selanjutnya katup ditutup sedemikian rupa agar tidak berhubungan dengan lingkungan.
4. Mencatat seluruh data yaitu: temperatur dinding, tekanan vacuum, temperatur udara vacuum, temperatur es, temperatur lingkungan semuanya dicatat oleh data aquisisi yang dihubungkan ke komputer .
5. Ulangi point (3), dengan tekanan vacuum yang lain dan seterusnya.

Diameter tabung dalam (D1) Es	Diameter tabung Luar (D2).. udara	Tekanan Vacuum Udara Absolut (Pabs)
50.8 mm/ 0.0508 m	76.2 mm/0.0762 m	560 torr/-20 cm Hg
	88.90 mm/0.0889 m	360 torr/-40 cm Hg
	101.6 mm/0.1016 m	160 torr/-60 cm Hg

3.4. Diagram Alir Prosedur Penelitian



3.5. Tempat dan Waktu Kegiatan/Penelitian

Tempat penelitian dilakukan di laboratorium Konvergi Energi/Perpindahan Panas Universitas Muhammadiyah Malang

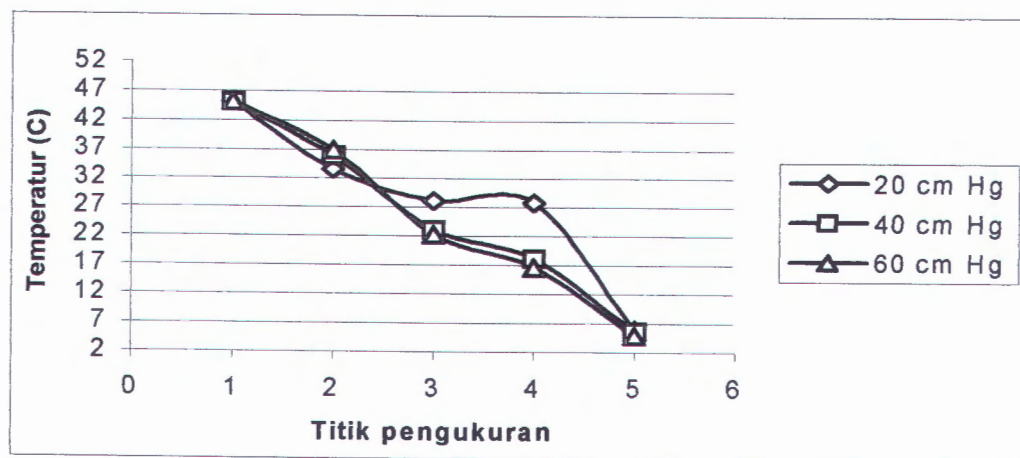
No	Jenis Kegiatan	Bulan Ke							
		1	2	3	4	5	6	7	8
1	Tahap persiapan	X	X						
2	Pelaksanaan Penelitian			X	X				
3	Analisa Data					X	X		
4	Penulisan laporan							X	X

BAB IV

PERHITUNGAN DAN PEMBAHASAN

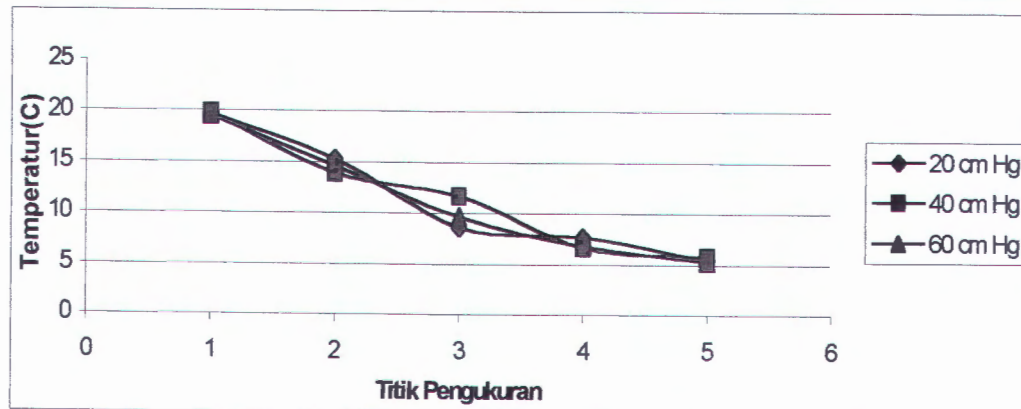
4.1. Data Penelitian

Gambar dibawah ini merupakan data hasil penelitian untuk distribusi temperatur di tiap-tiap titik pengukuran (dinding benda uji). Sedangkan distribusi temperaturnya adalah sebagai berikut :



Gambar 4-1:

Distribusi Temperatur pada $L/\delta = 5.9$ dan Temperatur Permukaan = 45°C



Gambar 4-2:

Distribusi Temperatur pada $L/\delta = 5.9$ dan Temperatur Kondisi Standard



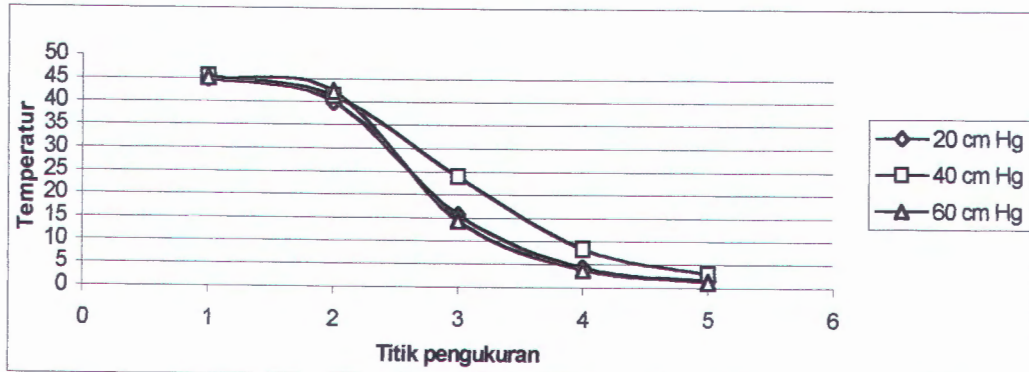
Gambar 4-3:

Distribusi Temperatur pada $L/\delta = 7.87$ dan Temperatur Permukaan = 45°C



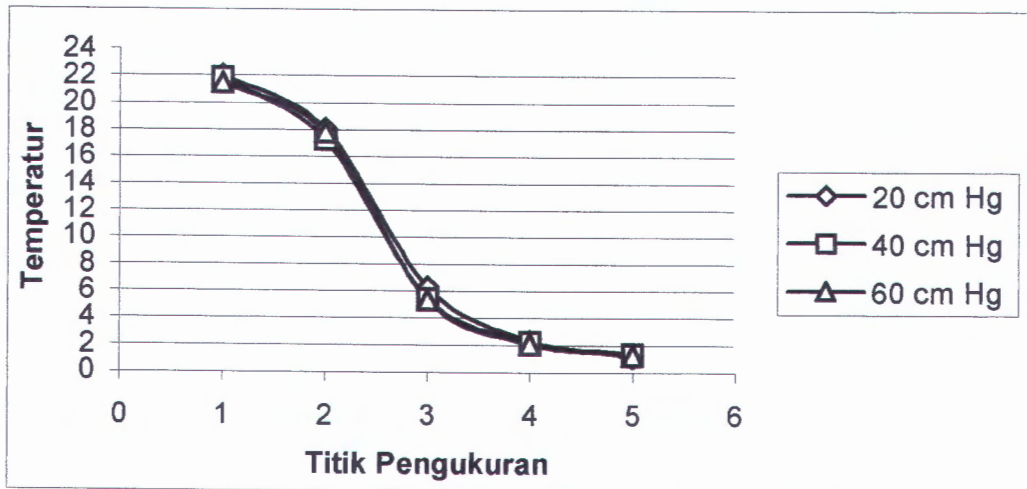
Gambar 4-4:

Distribusi Temperatur pada $L/\delta = 7.87$ dan Temperatur Kondisi Standard



Gambar 4-5:

Distribusi Temperatur pada $L/\delta = 11.8$ dan Temperatur Permukaan = 45°C



Gambar 4-6:
Distribusi Temperatur pada $L/\delta = 11.8$ dan Temperatur Kondisi Standard

Dalam penelitian ini dilakukan dengan tiga macam kondisi perbandingan antara tinggi tabung (L) dengan diameter karakteristik rongga (δ), yaitu : $\frac{L}{\delta} = 11$ (Diameter tabung luar : 3 “), $\frac{L}{\delta} = 7.87$ (Diameter tabung Luar : 3.5 “) dan $\frac{L}{\delta} = 5.90$ (Diameter tabung Luar : 4 “) . sedangkan Diameter Tabung dalam adalah tetap yaitu : 2 “ (0.0508 m) . Pada pengujian ini diberikan perlakuan berupa :

1. Perubahan Posisi benda uji, yaitu : 30^0 , 60^0 dan 90^0
2. Pemanasan permukaan benda uji, yaitu ; $35^0 C$, $45^0 C$, $55^0 C$ dan $65^0 C$

Sedangkan pada gambar 4-1 sampai 4-6 adalah data distribusi temperatur dinding pada posisi 90^0 , dengan temperatur permukaan ; $45^0 C$ dan

Temperatur atmosfir (standard) pada $\frac{L}{\delta}$ yang berbeda. Absis (sumbu X)

menunjukkan titik pengukuran , dimana :

- ❖ Titik 1 : menunjukkan temperatur dinding tabung luar bagian luar (T_{w2-out}),
- ❖ Titik 2 : menunjukkan temperatur dinding tabung luar bagian dalam (T_{w2-in}),
- ❖ Titik 3 : menunjukkan temperatur free stream/udara pada rongga (T_{\sim}),
- ❖ Titik 4 : menunjukkan temperatur dinding tabung dalam bagian luar (T_{w1-out})
- ❖ Titik 5 : menunjukkan temperatur dinding tabung dalam bagian dalam (T_{w1-in})

Gambar 4-1 sampai 4-6 memperlihatkan profil temperatur dari permukaan tabung luar (T_{w2-out}) ke temperatur dinding tabung dalam (T_{w1-in}) cenderung menurun. Hal ini disebabkan terjadinya perambatan pada ketebalan tabung luar secara konduksi sehingga mengakibatkan kehilangan panas (juga temperatur), begitu pada rongga yang berisi udara akan membentuk lapisan termal yang mengakibatkan penurunan temperatur dan akhirnya terjadi perambatan (konduksi) pada dinding tabung dalam yang juga mengakibatkan kehilangan panas (temperatur). Pada Gambar tersebut dapat disimpulkan dengan kenaikan tekanan vacuum, besarnya distribusi temperatur pada dinding luar kedinding tabung dalam cenderung menurun.

Sedangkan data hasil penelitian secara lengkap dapat dilihat pada ***lampiran I.***

4.2. Perhitungan Data Penelitian

4.2.1. Perhitungan Pada Tabung luar dengan Diameter 4 in atau 0.1016 m

$$\text{atau } \frac{L}{\delta} = 5.9$$

Misal data penelitian : 4", -20 cm Hg, 45 °C, 90 °

Diketahui :

- ❖ Diameter tabung dalam (D_1) = 2 in = 5.08 cm = 0.0508 m
- ❖ Tebal rongga/celah (δ) = $(D_2 - D_1) = (0.1016 - 0.0508)$ m
= 0.0508 m
- ❖ Kemiringan benda uji (θ) = 90 °C
- ❖ Data Material tabung baja Karbon krom (ST-42), sebagai berikut :

1. ρ = 7865 kg/m³
2. C_p = 0.46 Kj/kg-°C
3. k_{mat} = 19 W/m-°C
4. α = 0.527 x 10⁻⁵ m²/s

- ❖ Data distribusi temperatur :

1. T_{atm} = 27 °C = 300 °K
2. T_{w2-out} = 45.1463 °C = 318.1463 °K
3. T_{w2-in} = 35.4764 °C = 308.4764 °K
4. $T_{\delta-h}$ = 28.0508 °C = 301.0508 °K
5. T_{w1-out} = 17.8102 °C = 290.8102 °K
6. T_{w1-inj} = 5.8376 °C = 278.8376 °K

a. Menghitung Temperatur Film dalam rongga :

$$T_f = \frac{T_{w2-in} + T_{w1-out}}{2} = \frac{308.4764 + 290.8102}{2} = 299.6433 {}^0K$$

Dari temperatur film diatas dapat diperoleh properties udara dengan cara interpolasi , sehingga diperoleh nilai sebagai berikut :

$$\rho = \left\{ \frac{(299.6433 - 250)(0.998 - 1.4128)}{(350 - 250)} \right\} + 1.4128 = 1.20688 \frac{kg}{m^3}$$

untuk harga yang lainnya dihitung dengan model yang sama dan harga nilai yang lain seperti tabulasi berikut :

Temp. (K)	ρ (kg/m ³)	Cp (kj/kg-C)	$\mu \times 10^{-5}$ (kg/m.s)	$\nu \times 10^{-6}$ m ² /s	K (W/m-C)	$\alpha \times 10^{-4}$ (m ² /s)	Pr
250	1.4128	1.0053	1.599	11.31	0.02227	0.15675	0.722
299.6433	1.2068796	1.007137	1.835302	16.00129	0.026122	0.22702	0.70958
350	0.998	1.009	2.075	20.76	0.03003	0.2983	0.697

b. Koefisien Ekspansi Volume (β) :

$$\beta = \frac{1}{T_f} = \frac{1}{299.6433} = 0.003337 K^{-1} = 0.037534 C^{-1}$$

c. Gaya gravitasi (g') benda uji dengan kemiringan $90 {}^0$ adalah :

$$g' = 9.81 \frac{m}{s^2}, \text{jika benda uji dalam posisi tegak } (90 {}^0)$$

$$g' = g \cos \theta \longrightarrow \text{benda uji berposisi miring}$$



d. Bilangan Grashof (Gr_δ) :

$$Gr_\delta = \frac{g' \beta (T_{w2-in} - T_{w1-out}) \delta^3}{\nu^2}$$

$$= \frac{9.81 \frac{m}{s^2} 0.003337 \frac{1}{K} 0.0508^3 m^3 (308.4764 - 290.8102) K}{(16.0013 \times 10^{-6})^2 \frac{m^4}{s^2}}$$

$$= 37017$$

e. Tebal Lapisan Batas Termal (δ_u) :

$$\delta_u = \frac{\delta}{(Gr_\delta)^{0.25}} = \frac{0.0508}{(37017)^{0.25}} = 0.001831 m$$

f. Bilangan Rayleigh (Ra) :

$$Ra = Gr_\delta \times Pr = 37017 \times 0.7096 = 26267$$

g. Mencari Bilangan Nusselt (Nu δ):

Untuk mencari bilangan Nusselt dalam suatu rongga yang tertutup , dicari dengan menggunakan persamaan rongga tertutup secara umum (tidak berdasarkan hasil eksperimen) yang dinyatakan sebagai berikut :

$$Nu_\delta = C (Gr_\delta \ Pr)^n \left(\frac{L}{\delta}\right)^{-m}$$

Harga konstanta : C, n dan m didapat berdasarkan harga bilangan Rayleigh. Berdasarkan tabel 7-3 hal. 320 pada Holman , untuk harga Ra = 26267 diperoleh harga ; C = 0.197, n = 0.25 dan m = -0.11, sehingga persamaan untuk mencari Nusellt adalah sebagai berikut :

$$Nu_\delta = 0.197 (Gr_\delta \ Pr)^{0.25} \left(\frac{L}{\delta}\right)^{-0.11}$$

dimana : L = panjang benda uji (m)

$$\delta = \text{ketebalan rongga (m)}$$

Dari persamaan Nusselt diatas, diperoleh harga Nu sebagai berikut :

$$Nu_{\delta} = 0.197 (26267)^{0.25} \left(\frac{0.3}{0.0508} \right)^{-0.11} = 1.9115$$

h. Mencari ‘koeffisien perpindahan panas konveksi alamiah udara :

$$Nu = \frac{h \delta}{k_f}$$

$$h = \frac{Nu_{\delta} k_f}{\delta} = \frac{1.9115 \times 0.026122}{0.0508} = 1.9658 \frac{W}{m^2 - C}$$

i. Laju Perpindahan Panas Konveksi pada Rongga (q) :

$$q = 2 \pi L h_{w2-in} (r_{w2-int}) (T_{w2-in} - T_{\infty}) + 2 \pi L h_{w1-out} (r_{w1-out}) (T_{\infty} - T_{w2-out})$$

$$= 2 \cdot 3.14 \cdot 0.3 m \cdot 1.9658 \frac{W}{m^2 - C} (0.0508) m [35.47 - 28.05] C +$$

$$2 \cdot 3.14 \cdot 0.3 m \cdot 1.9658 \frac{W}{m^2 - C} (0.0266) (28.05 - 17.81) C$$

$$= 2.2747 W$$

j. Tahanan Termal total ($R_{thermal}$) :

$$R = \frac{\ln \left(\frac{r_{w2-out}}{r_{w2-in}} \right)}{2 \cdot \pi k_{w2} L} + \frac{1}{2 \cdot \pi h_{udara} L (r_{w2-in})} + \frac{\ln \left(\frac{r_{w1-out}}{r_{w1-in}} \right)}{2 \cdot \pi k_{w1} L}$$

$$+ \frac{1}{2 \cdot \pi h_{udara} L (r_{w1-out})}$$

$$\begin{aligned}
&= \frac{\ln\left(\frac{0.052}{0.0508}\right)}{2 \times 3.14 \times 19 \times 0.3} + \frac{1}{2 \times 3.14 \times 1.9658 \times 0.3 \times (0.0508)} \\
&+ \frac{\ln\left(\frac{0.0266}{0.0254}\right)}{2 \times 3.14 \times 19 \times 0.3} + \left(\frac{1}{2 \times 3.14 \times 1.9658 \times 0.3 \times (0.0266)} \right) \\
&= 16.123 \frac{{}^{\circ}C}{W}
\end{aligned}$$

k. Laju Perpindahan Panas Total (q_{total}) :

$$q_{total} = \frac{(T_{w2-out} - T_{wl-in})}{R_{termal}} = \frac{(45.1463 - 5.8376)}{16.123} = 2.437 W$$

l. Prosentase Selisih antara Laju Perpindahan Panas Konveksi Alamiah rongga dengan Laju Perpindahan Panas Total (Δq) adalah :

$$\begin{aligned}
\Delta q &= \left(\frac{q_{konveksi} - q_{total}}{q_{total}} \right) \times 100\% = \left(\frac{2.2747 - 2.4379}{2.4379} \right) \times 100\% \\
&= -0.0669 \%
\end{aligned}$$

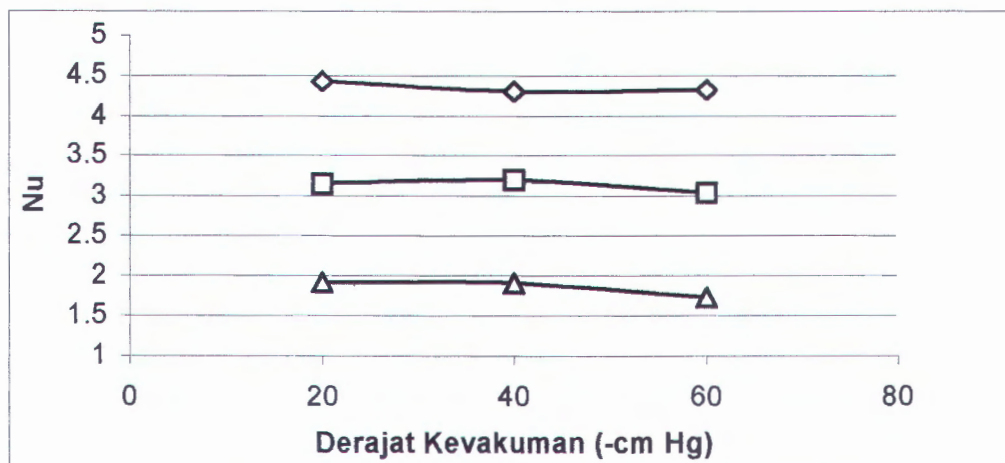
Dengan cara yang sama untuk data percobaan yang lain , hasil dari perhitungan disusun dalam bentuk tabel pada lampiran : II

4.3. Pembahasan

4.3.1 Hubungan Derajat Kevakuman Terhadap Bilangan Nusselt dan Bilangan Rayleigh

Gambar 4-7 menunjukkan hubungan antara derajat /tingkat kevakuman terhadap Bilangan Nusselt dengan adanya variasi aspek ratio rongga

($\frac{L}{\delta}$) pada posisi benda uji : 90° dan temperatur permukaan : 45°C .

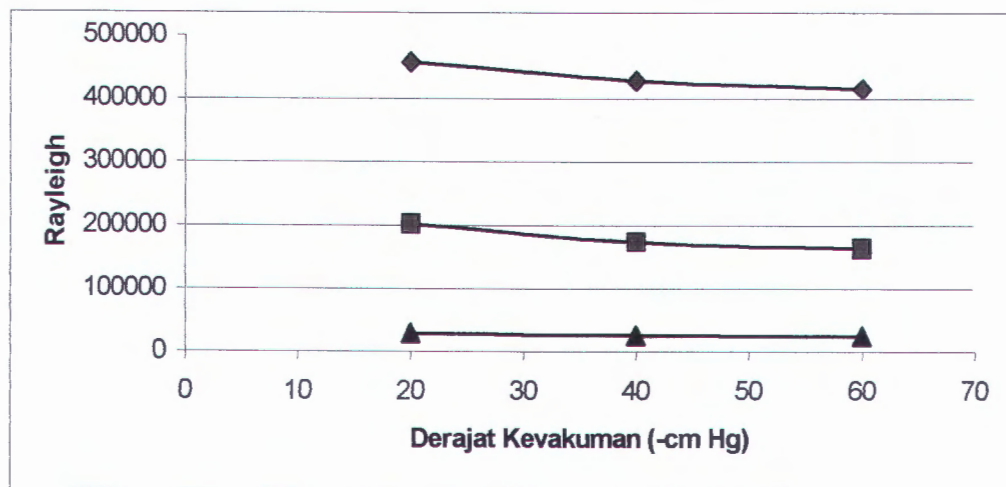


Gambar 4-7 :
Hubungan Derajat kevakuman terhadap Bilangan Nusselt Pada
Posisi benda uji = 90° dan Temperatur Permukaan = 45°C

Simbol : $\diamond \frac{L}{\delta} = 11.8$, $\square \frac{L}{\delta} = 7.87$, $\Delta \frac{L}{\delta} = 5.9$

Dari grafik diatas, dapat dijelaskan bahwa tingkat/derajat kevakumanan semakin besar maka harga bilangan Nusselt semakin menurun. Hal ini disebabkan karena dengan semakin besar derajat kevakuman akan memberikan harga kerapatan jenis udara dalam rongga semakin besar. Dengan kerapatan jenis semakin besar akan memberikan arti bahwa kecepatan pergerakan fluida atau molekul membawa energi semakin lambat , sehingga akan mempengaruhi selisih

kerapatan jenis free stream dengan kerapatan jenis mula-mula ($\rho_{\infty} - \rho$). Untuk aspek ratio rongga ($\frac{L}{\delta} = 11.8$) yang besar atau rongga tipis mempunyai harga bilangan Nusselt lebih besar, karena kecepatan pergerakan molekul membawa energi lebih cepat dibandingkan dengan aspek ratio ($\frac{L}{\delta}$) 7.87 dan 5.9. Akibat dari pergerakan molekul membawa energi lebih cepat maka akan memberikan selisih kerapatan antara kerapatan free stream dengan kerapatan mula-mula akan semakin kecil sehingga gaya apung yang timbul adalah semakin kecil akibatnya bilangan nusselt akan semakin besar. Karena bilangan nusselt merupakan fungsi dari bilangan Grasshoff. Dari gambar 4-7, dengan derajat kevakuman yang berbeda, aspek ratio rongga ($\frac{L}{\delta} = 5.90$) mempunyai harga bilangan Nusselt lebih kecil dibandingkan dengan aspek ratio rongga yang lain (7.87 atau 11.8).



Gambar 4-8 :

Hubungan Derajat kevakuman Terhadap Bilangan Rayleigh Pada Posisi Benda Uji = 90° dan Temperatur Permukaan = 45°C

Simbol : $\diamond \frac{L}{\delta} = 11.8$, $\square \frac{L}{\delta} = 7.87$, $\Delta \frac{L}{\delta} = 5.9$

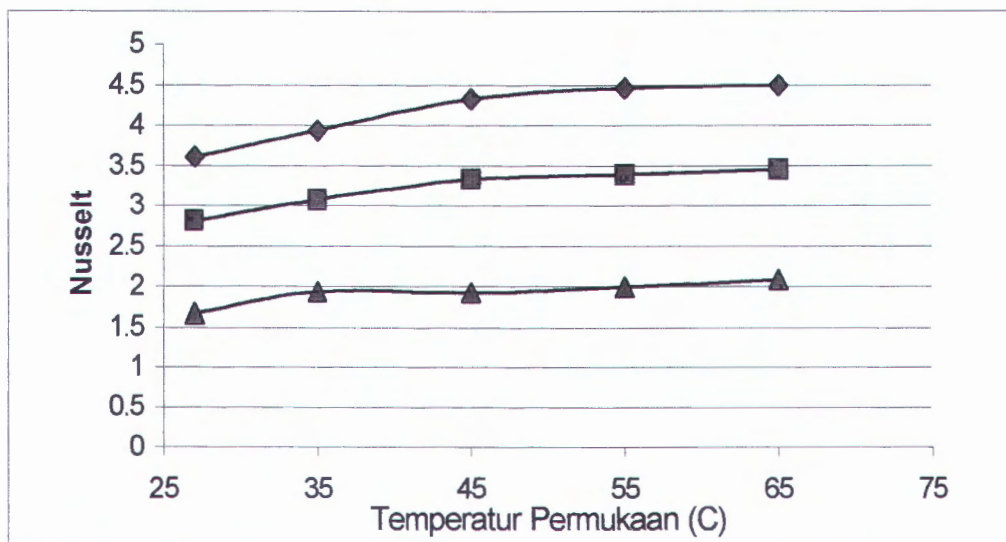
Gambar 4-8 , merupakan grafik hubungan derajat kevakuman terhadap Bilangan Rayleigh pada posisi benda uji = 90 $^{\circ}$ dengan temperatur permukaan 45 $^{\circ}\text{C}$. Dari gambar dijelaskan bahwa semakin besar tingkat kevakuman pada yang terjadi di rongga , harga bilangan Nusselt cenderung turun. Bagi aspek ratio rongga semakin kecil ($\frac{L}{\delta} = 5.9$) atau rongga besar mempunyai bilangan Rayleigh yang paling kecil. Hal ini disebabkan bila tekanan kevakuman dinaikkan maka kerapatan jenis molekul akan naik , sehingga kecepatan pergerakan molekul/fluida /udara dalam rongga menjadi sangat kecil . Kecepatan fluida bergerak dipengaruhi oleh perbedaan kerapatan jenis molekul free stream dengan kerapatan jenis molekul yang ada di dinding. Terjadinya perbedaan kerapatan disebabkan oleh adanya energi/pemanasan dari permukaan dinding (T_{w2-in}) sehingga akan mengakibatkan timbulnya momentum molekul dalam rongga. Untuk aspek ratio rongga semakin besar ($\frac{L}{\delta}$) atau ketebalan rongga adalah tipis, maka harga bilangan Rayleigh semakin besar, hal ini terjadi karena dengan rongga/celah yang tipis kecepatan pergerakan molekul membawa energi lebih cepat dibandingkan dengan aspek ratio 7.87 dan 5.9. Akibatnya, lapisan batas termal (gradient suhu) pada aspek ratio rongga 11.8 lebih cepat terbentuk dibandingkan dengan aspek ratio 7.87 dan 5.9. Sehingga perbedaan temperatur free stream dengan temperatur dinding tabung dalam sisi luar ($T_{\infty} - T_{w1-out}$) adalah kecil. Akibat perbedaan temperatur antar dinding dalam rongga yang kecil sehingga harga bilangan grashoft menjadi besar, sehingga bilangan Rayleigh juga menjadi besar . Karena bilangan Rayleigh merupakan fungsi dari bilangan grashof dan Prandtl.

4.3.2. Hubungan Variasi Temperatur Permukaan Terhadap Bilangan Nusselt dan Rayleigh.

Gambar 4-9 : menunjukkan hubungan antara variasi temperatur permukaan terhadap Bilangan Nusselt pada posisi benda uji = 90⁰ dengan tekanan vakum = - 60 cm Hg (160 torr).

Dari gambar 4-9, dapat disampaikan bahwa semakin besar temperatur pada aspek ratio ($\frac{L}{\delta}$) yang berbeda akan diperoleh harga bilangan Nusselt semakin naik. Untuk aspek ratio yang besar (rongga tipis) mempunyai bilangan Nusselt lebih besar dibandingkan dengan aspek ratio 7.87 dan 5.9. Hal ini disebabkan karena pada aspek ratio rongga 11.8 timbulnya perbedaan antara temperatur free stream dengan temperatur dinding dalam bagian luar adalah kecil karena dengan pada aspek ratio rongga 11.8 kecepatan pergerakan molekul membawa energi lebih cepat dibandingkan dengan aspek ratio rongga 7.87 dan 5.9. Sehingga aspek ratio rongga 11.8 mempunyai bilangan Grashof lebih besar dibandingkan dengan aspek ratio 7.87 dan 5.9. Sedangkan besar-kecilnya bilangan Grashof merupakan fungsi dari temperatur. Akibatnya semakin besar temperatur yang masuk maka bilangan Grashof semakin besar sehingga harga bilangan Nusselt juga akan semakin besar. Untuk aspek ratio rongga kecil (ketebalan rongga besar) mempunyai bilangan nusselt juga kecil karena kecepatan pergerakan molekul dalam rongga lebih lambat dibandingkan dengan aspek ratio rongga 11.8 dan 7.87. Maka dapat disimpulkan bahwa dengan semakin besar temperatur permukaan maka harga bilangan Nusselt semakin besar pula, karena

bilangan Nuselt merupakan fungsi bilangan Rayleigh. Sedangkan bilangan Rayleigh merupakan fungsi bilangan Grashof.

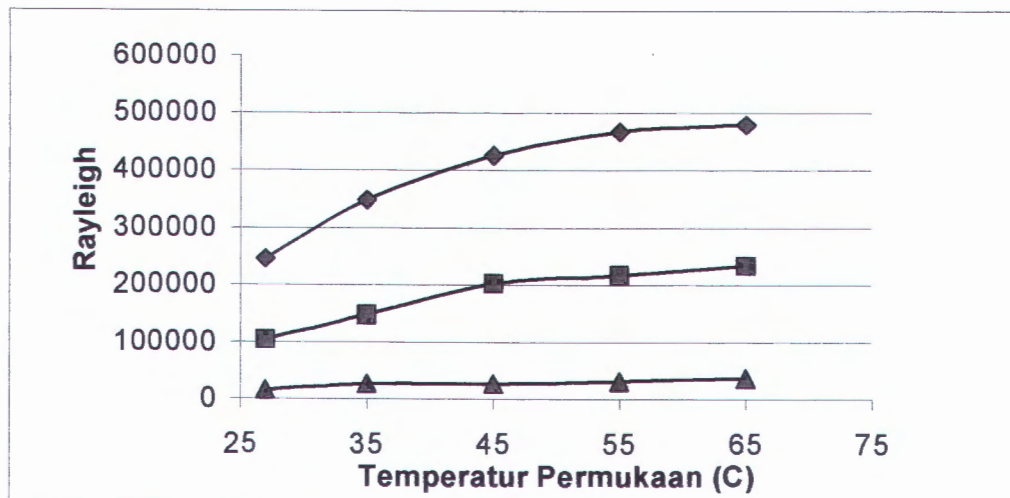


Gambar 4-9 :
Hubungan Temperatur Permukaan Terhadap Bilangan Nusselt Pada
Posisi Benda Uji = 90° dan Tekanan Vakum = -60 cm Hg

$$\text{Simbol : } \diamond \frac{L}{\delta} = 11.8, \square \frac{L}{\delta} = 7.87, \Delta \frac{L}{\delta} = 5.9$$

Gambar 4-10 , merupakan hubungan antara temperatur terhadap Bilangan Rayleigh pada posisi benda uji : 90° dengan Tekanan vakum : -60 cm Hg (160 torr). Dari gambar tersebut dapat disampaikan, bahwa semakin besar temperatur permukaan pada aspek ratio rongga yang berbeda diperoleh bilangan Rayleigh semakin besar. Hal ini disebabkan karena aspek ratio rongga besar (tebal rongga tipis), terbentuknya lapisan termal (gradient suhu) lebih cepat, akibatnya perbedaan temperatur antara free stream temperatur dan dinding ($T_{w2-in} - T_{\infty}$) menjadi kecil , sehingga akan diperoleh bilangan Rayleigh lebih besar dibandingkan dengan aspek ratio rongga 7.87 dan 5.9. Sedangkan besar kecilnya

harga Rayleigh dipengaruhi oleh bilangan Grashof dan bilangan grashof merupakan fungsi dari perbedaan temperatur ($T_{w2-m} - T_\infty$).



Gambar 4-10 :

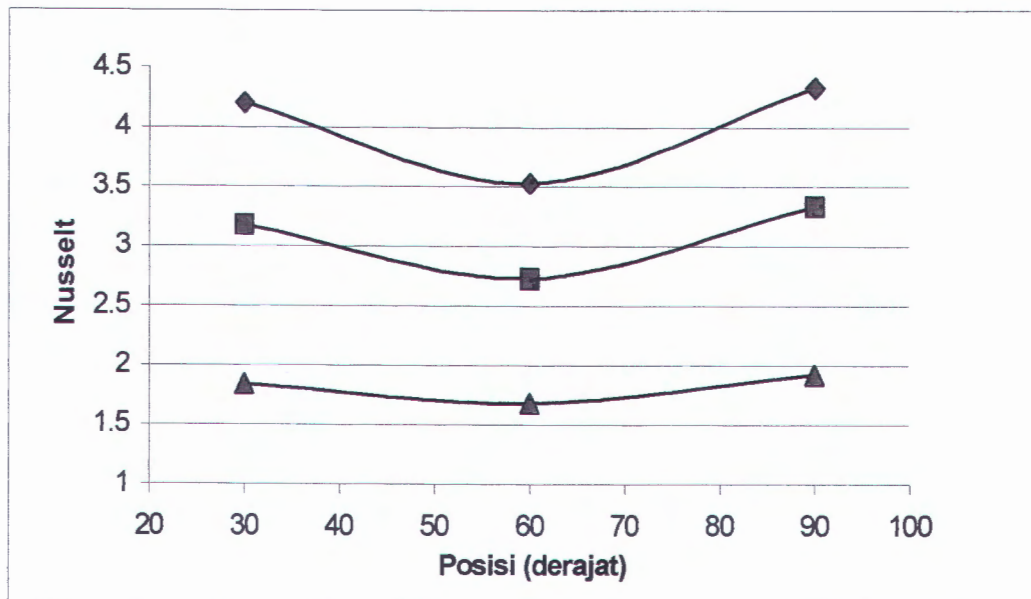
Hubungan Temperatur Permukaan Terhadap Bilangan Rayleigh Pada Posisi Benda Uji = 90⁰ dan Tekanan Vakum = -60 cm Hg

$$\text{Simbol : } \diamond \frac{L}{\delta} = 11.8, \square \frac{L}{\delta} = 7.87, \Delta \frac{L}{\delta} = 5.9$$

4.3.3. Hubungan Variasi Posisi terhadap Bilangan Nusselt dan Rayleigh.

Gambar 4-11 merupakan Hubungan antara variasi Posisi terhadap Bilangan nusselt pada Tekanan vakum : -60 cm Hg (160 torr) dengan temperatur permukaan : 45⁰C. Dari gambar tersebut dapat disampaikan bahwa semakin besar posisi , harga bilangan Nusselt adalah fluktuatif untuk aspek ratio rongga yang berbeda. Hal ini disebabkan, karena perbedaan kerapatan jenis molekul/fluida yang menyebabkan gaya apung pada rongga semakin tidak merata, sehingga berakibat terhadap kecepatan pergerakan molekul/fluida pada rongga, dan ini juga mempunyai efek bahwa timbulnya gradient suhu juga tidak merata pula. Melihat pada gambar tersebut dapat disimpulkan bahwa posisi yang memberikan

bilangan Nusselt yang rendah adalah dengan posisi benda uji 60° dan pada aspek ratio rongga ($\frac{L}{\delta}$) : 5.90 . Karena pada posisi benda uji 60° kecepatan pergerakan molekul membawa energi lebih kecil dibandingkan dengan posisi benda uji 30° dan 90° . Akibatnya bilangan Nusselt yang dihasilkan lebih rendah.

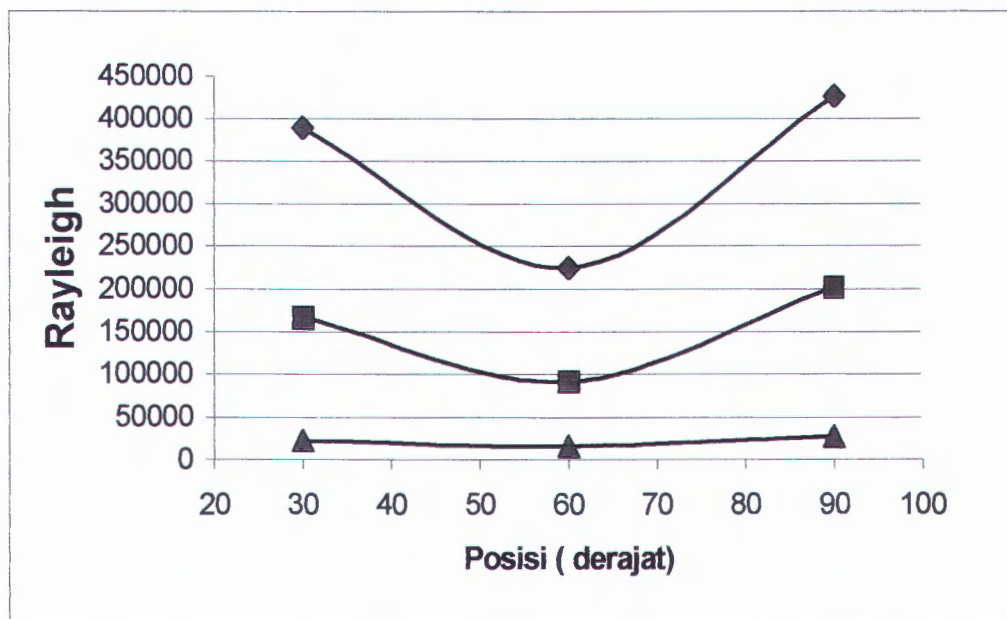


Gambar 4-11 :
Hubungan Posisi Benda Uji Terhadap Bilangan Nusselt Pada
Tekanan Vakum = -60 cm Hg dan Temperatur Permukaan = 45°C

$$\text{Simbol : } \diamond \frac{L}{\delta} = 11.8, \square \frac{L}{\delta} = 7.87, \Delta \frac{L}{\delta} = 5.9$$

Gambar 4-12, menunjukkan Hubungan antara Posisi benda uji terhadap Bilangan Rayleigh pada aspek ratio rongga yang berbeda. Dari gambar tersebut dapat disampaikan bahwa semakin besar posisi benda uji, diperoleh harga Bilangan Rayleigh kecenderungan fluktuatif. Hal ini disebabkan karena tidak meratanya temperatur dalam rongga, sehingga akan mempengaruhi besar kecilnya

kecepatan aliran fluida, dan perbedaan kerapatan jenis fluida/molekul dalam rongga. Akibat perbedaan kerapatan jenis ini, akan menyebabkan besar kecilnya harga gaya apung dan gaya bodi. Gaya apung yang terjadi akan menentukan gradient temperatur pada rongga, dan ini mempunyai korelasi terhadap terbentuknya lapisan batas termal. Dari gambar diatas posisi benda uji 60° mempunyai harga bilangan Rayleigh lebih kecil bila dibandingkan dengan posisi benda uji 30° maupun 90° . Hal ini terjadi karena pada posisi 60 derajat kecepatan pergerakan fluida untuk membawa energi lebih kecil dibandingkan dengan posisi benda uji 30 derajat dan 90 derajat.



Gambar 4-12 :
Hubungan Posisi Benda Uji Terhadap Bilangan Rayleigh Pada Tekanan Vakum = -60 cm Hg dan Temperatur Permukaan = 45°C

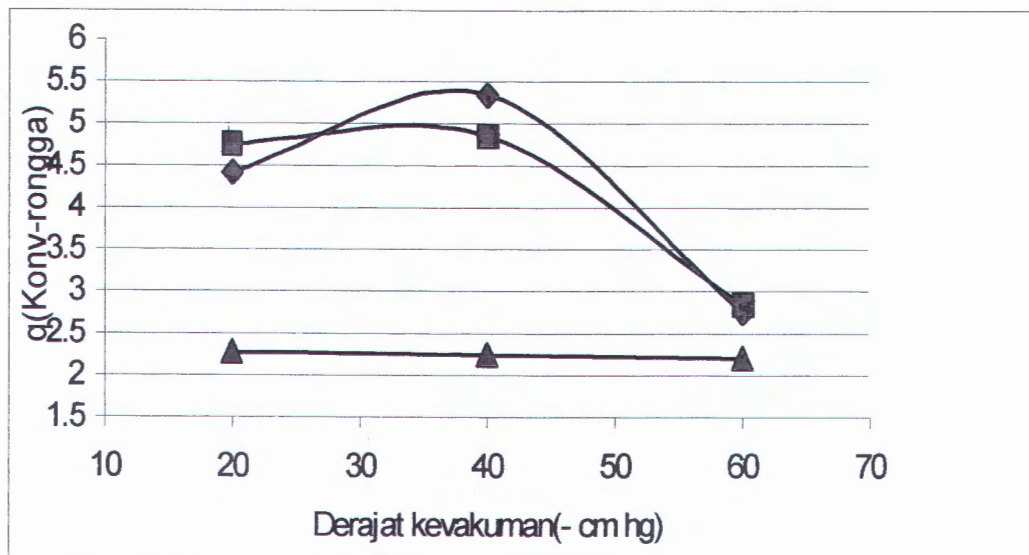
$$\text{Simbol : } \diamond \frac{L}{\delta} = 11.8, \square \frac{L}{\delta} = 7.87, \Delta \frac{L}{\delta} = 5.9$$

Perlu diketahui bahwa besar kecilnya harga Rayleigh di pengaruhi oleh bilangan Grashof dan Prandtl. Sedangkan bilangan Grashof merupakan fungsi dari percepatan gravitasi dan temperatur.

4.3.4. Hubungan Derajat Kevakuman terhadap Laju Perpindahan Panas

Konveksi Alamiah Pada Rongga.

Dari gambar 4-13 menunjukkan hubungan antara derajat kevakuman terhadap Laju perpindahan panas Konveksi Alamiah di rongga dengan adanya aspek ratio rongga ($\frac{L}{\delta}$) yang berbeda.

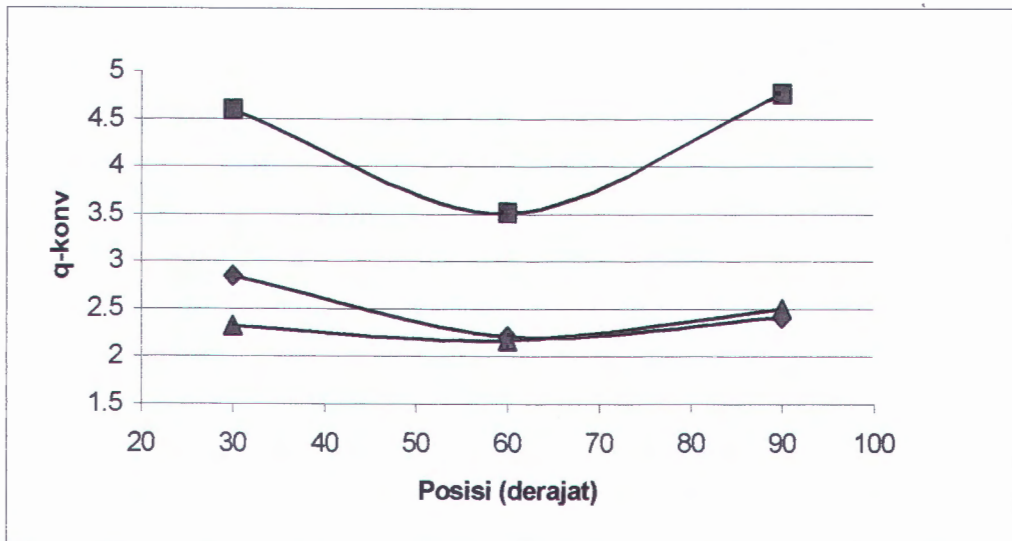


Gambar 4-13 :
Hubungan Derajat Kevakuman Terhadap Laju Perpindahan Panas
Konveksi Alamiah di Rongga Pada Posisi Benda uji = 90° dan Temperatur
Permukaan = 45°C

Simbol : $\diamond \frac{L}{\delta} = 11.8$, $\square \frac{L}{\delta} = 7.87$, $\Delta \frac{L}{\delta} = 5.9$

Dari gambar 4-13 menunjukkan bahwa semakin besar derajat kevakuman akan memberikan harga laju perpindahan panas konveksi pada rongga semakin kecil. Hal ini terjadi karena dengan besarnya kevakuman akan memberikan hambatan termal pada rongga menjadi besar. Selain itu pula *perbedaan kerapatan jenis* pada udara ($\rho_{\infty} - \rho$) dalam rongga menjadi besar , sehingga pergerakan udara dalam rongga menjadi kecil akibatnya gaya apung yang terjadi juga kecil. Dengan gaya apung yang bergerak secara konveksi menjadi kecil , juga akan berdampak pada gaya bodi semakin kecil pula akibatnya akan mempengaruhi besarnya harga driving force (δT). Sedangkan aspek ratio rongga yang mempunyai laju perpindahan panas konveksi alamiah kecil dengan derajat kevakuman yang berbeda adalah $(\frac{L}{\delta}) = 5.9$.

Gambar 4-14, menunjukkan hubungan antara posisi benda uji terhadap laju perpindahan panas konveksi alamiah rongga dengan aspek ratio rongga yang berbeda pada kondisi tekanan vakum rongga = -60 cm Hg (160 torr) dan temperatur permukaan = 45°C . Dari gambar dibawah dapat disampaikan bahwa semakin besar posisi benda uji , besarnya laju perpindahan panas konveksi alamiah pada rongga berfluktuasi dengan aspek ratio rongga yang berbeda. Sedangkan posisi yang mempunyai laju perpindahan panas konveksi alamiah yang rendah adalah posisi 60° . Hal ini disebabkan karena pada posisi 60° derajat, mempunyai hambatan termal yang lebih besar karena effek pergerakan udara dalam rongga terganggu oleh bodi dinding dalam, sehingga mengakibatkan distribusi temperatur pada rongga menjadi tidak merata



Gambar 4-14 :
Hubungan Posisi Benda Uji Terhadap Laju Perpindahan Panas Konveksi Alamiah di Rongga Pada Tekanan Vakum = -60 cm Hg dan Temperatur Permukaan = 45 °C

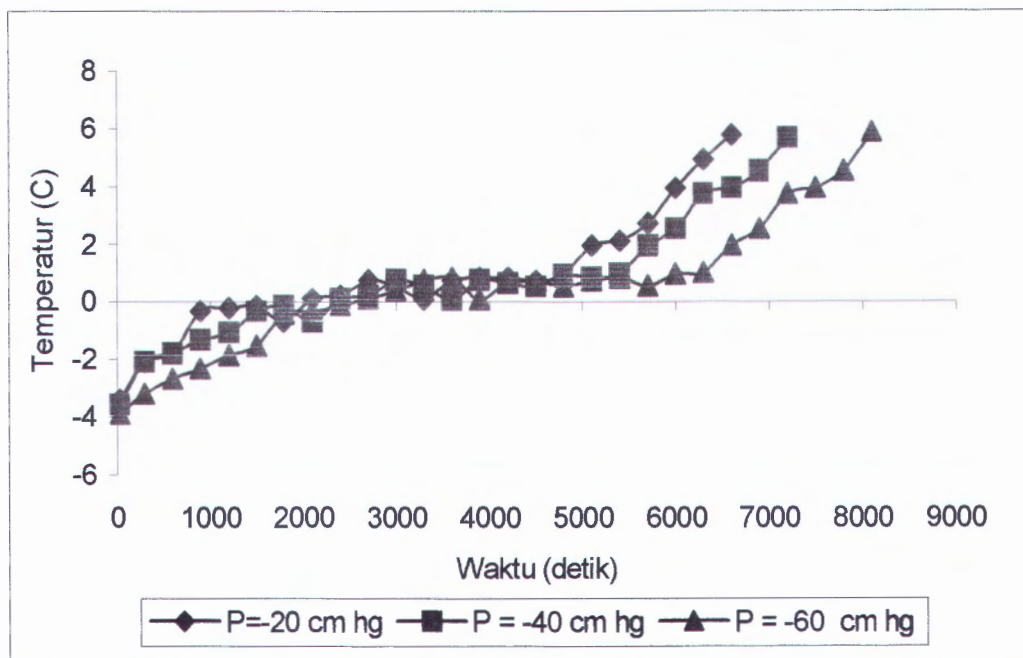
$$\text{Simbol : } \diamond \frac{L}{\delta} = 11.8, \square \frac{L}{\delta} = 7.87, \Delta \frac{L}{\delta} = 5.9$$

4.4 Validasi Eksperimen

Untuk memberikan satu argumentasi terhadap pengaruh derajat kevakuman dalam rongga , validasi yang digunakan adalah mengamati temperatur yang terjadi selama es mencair (waktu yang dibutuhkan). Sedangkan berat es yang dicairkan adalah 300 gram. Gambar dibawah ini menjelaskan seberapa besar waktu yang dibutuhkan untuk es bisa mencair, dan sekaligus juga memberikan informasi besarnya temperatur es.

Dalam validasi eksperimen ini benda yang diuji adalah aspek ratio rongga $(\frac{L}{\delta}) = 5.9$, sedangkan benda uji ini mendapatkan perlakuan berupa derajat

kevakuman yang berbeda yaitu -20 cm Hg (560 torr), -40 cm Hg (360 torr) dan -60 cm Hg (160 torr) serta diberikan perlakuan temperatur permukaan pada tabung luar sebesar : 45°C .



Gambar 4-15 :
Validasi Eksperimen

**Hubungan Waktu Terhadap Temperatur Es mencair Pada $L/\delta = 5.9$ dan
Temperatur Permukaan = 45°C**

Dari gambar 4-15 : diperoleh bahwa Tekanan Kevakuman = -60 cm Hg, mempunyai waktu yang lebih lama untuk es bisa mencair, bila dibandingkan dengan tekanan kevakuman -20 cm Hg (560 torr) dan -40 cm Hg (360 torr), hal ini disebabkan semakin besar derajat/tekanan kevakuman , maka hambatan termal yang terjadi dalam rongga semakin besar , sehingga aliran panas menuju ruang es menjadi kecil (temperatur kecil). Selain itu, dengan derajat kevakuman yang besar

akan mengakibatkan perubahan kerapatan jenis menjadi besar dan kecepatan aliran fluida (udara) dalam rongga menjadi lambat akibatnya gaya apung udara yang terjadi dalam rongga menjadi lemah, begitu juga gaya apung yang mengakibatkan arus konveksi disebut gaya bodi menjadi kecil pula. Akhirnya Gaya bodi ini akan menentukan besarnya temperatur free strem udara dalam rongga.

BAB V

KESIMPULAN DAN SARAN

5.1. Kesimpulan

Dari hasil penelitian yang telah dilakukan dapat disimpulkan sebagai berikut :

1. Suatu rongga yang diberi perlakuan variasi derajat kevakuman akan mampu memberikan kontribusi sebagai isolator.
2. Dari penelitian ini, derajat kevakuman -60 cm Hg mempunyai laju perpindahan panas konveksi alamiah lebih rendah dibandingkan dengan derajat kevakuman -20 cm Hg dan -40 cm Hg . Artinya derajat kevakuman -60 cm Hg mempunyai harga hambatan termal lebih besar (cocok sebagai isolator) khusunya dalam proses penyimpanan.
3. Aspek ratio rongga (L/δ) = 5.90 mempunyai harga Bilangan Nusselt yang lebih kecil dibandingkan dengan aspek ratio rongga (L/δ) = 7.87 dan (L/δ) = 11.8. Hal ini dikarenakan, pada aspek ratio rongga 5.90, kecepatan pergerakan molekul membawa energi lebih rendah. Pada celah yang kecil (aspek ratio yang besar = 11.8), kecepatan aliran udara di dalam rongga relatif lebih besar. Bilangan Nusselt berbanding langsung dengan bilangan Reynolds. Untuk kecepatan yang tinggi akan diperoleh bilangan Reynolds yang tinggi pula, akibatnya bilangan Nusselt juga tinggi. Akhirnya harga koefisien perpindahan panas konveksi alamiah (h) pada celah yang kecil akan

tinggi. Sehingga perpindahan panas konveksi pada celah yang kecil akan mempunyai nilai yang besar

4. Untuk posisi benda uji (θ) = 60^0 dengan aspek ratio rongga (L/δ) = 5.90 harga laju perpindahan panas konveksi alamiah adalah lebih kecil dibandingkan dengan posisi benda uji (θ) = 30^0 . Karena pada posisi benda uji (θ) = 60^0 mempunyai efektivitas gravitasi lebih kecil bila dibandingkan dengan posisi benda uji (θ) = 30^0 . Sedangkan untuk harga posisi benda uji (θ) = 90^0 akan digunakan persamaan lainnya (tidak $g' = g \cos \theta$).
5. Dari hasil uji validasi eksperimen, dapat disampaikan bahwa semakin besar derajat kevakuman (-60 cm Hg) maka akan memberikan waktu mencair es *lebih lama*, dibandingkan dengan derajat kevakuman yang lebih rendah (-20 cm Hg atau -40 cm Hg). Hal ini terjadi karena pada tekanan kevakuman -60 cm Hg mempunyai hambatan termal lebih besar sehingga perbedaan temperatur free stream dengan temperatur dinding tabung dalam sisi luar adalah kecil sehingga waktu yang dibutuhkan untuk es mencair lebih lama.

5.2. Saran

Ada beberapa saran yang dapat kami sampaikan kaitannya penelitian ini, demi perkembangan ilmu pengetahuan dimasa yang akan datang, yaitu :

1. Perlu adanya penggunaan “alat temperatur kontrol” yang lebih baik (sensitif dan tepat), yang difungsikan untuk mengendalikan temperatur permukaan tabung .
2. Perlu dilakukan penelitian dengan menggunakan termokopel atau sejenisnya, untuk komparasi dari sensor LM-35.

3. Perlu dilakukan penelitian pada rongga, yang didalamnya diberikan rusuk atau baffle.
4. Perlu dilakukan penelitian pada tabung yang mempunyai ketebalan lebih dari 1,2 mm atau tabung yang terbuat dari plastik atau resin.

DAFTAR PUSTAKA

1. Bejan, Andrian, (1993), *Heat Transfer*, John Willey & Sons, Singapore.
2. Brodkey, Robert S, (1998), *Transport Phenomena*, McGraw-Hill, Singapore.
3. Chang S.W. dkk, (1999), *An Eksperiment Study Of Heat Transfer In Reciprocating Square Duct Fitted with Ribs Skewed to the Flow*, Journal of Heat Transfer, vol. 121 pp. 232-236.
4. Campo A, Zamora B, (2000), *Enhanced Natural Convection in a Vertical Rectangular Cavity on Account of the Mixing of Two Pure Gases*, ASME.
5. De Witt, Incropera, (1996), *Fundamentals of Heat and Mass Transfer*, John Willey & Sons, Singapore.
6. Darling R B, (2002), *Vacuum Systems*, Journal Home page.
7. Fox w, R. Mc Donald, Alan T, (1994), *Introduction to Fluid Mechanics*, John Willey & Sons, Singapore.
8. Holman J P, (1988), *Perpindahan kalor*, Terjemahan Djasifi E, Erlangga, Jakarta.
9. Laccarino g, Ooi A, (1998), *Heat Transfer Predictions in Cavities*, Center for Turbulent Research, University of New South Wales, Australia.
10. Oronzio Manca, dkk, (2002), *Effect on Natural Convection of the distance Between an Inclined Discretely Heated Plate and a Parallel Shroud Below*, Journal Heat Transfer, ASME
11. Ousthuizen H Patrick, David Naylor, (1999), *An Introduction to Convective Heat Transfer Analysis*, McGraw-Hill, Singapore.

12. Roth A, (1989), *Vacuum Technologi*, North Holland, Amsterdam.
13. Setterfield Barry, (2002), *Exploring The Vacuum*, Journal of Theoritis, Journal home Page.
14. Wang Q.W. dkk, (2000), *An Experiment Investigation of Natural convection in a Cubic Inclined Enclosure with Multiple Isolated Plates*, Journal Heat Transfer, ASME
15. Xundan Shi, dkk, (2003), *Laminar Natural Convection Heat Transfer in a differentially heated square cavity due to a thin fin on the hot wall*, Journal Heat Transfer, ASME.
16. Yarwood J, (1955), *High Vacuum Technique*, Chapman & Hall, London.

LAMPIRAN

SAMPLE	ING DAT	(Derajat	Celcius)					Data : 4", -20, 30, 35 C									
NO	WAKTU	SENSOR1	Tw1-in	SENSOR2	SENSOR3	Tw1-out	SENSOR4	SENSOR5	T~	SENSOR6	SENSOR7	Tw2-in	SENSOR8	SENSOR9	Tw2-out	SENSOR10	
1	5	10.18	10.18	16.839	8.863	12.851	15.51	19.498	17.504	33.78	33.718	33.749	35.325	35.008	35.1665	28.361	
2	15	6.192	6.192	16.839	6.647	11.743	15.953	23.043	19.498	37.667	17.776	27.7215	34.996	35.008	35.002	22.6	
3	45	9.737	9.737	22.6	9.306	15.953	19.941	19.055	19.498	37.224	26.639	31.9315	35.008	34.998	35.003	24.816	
4	115	7.965	7.965	20.827	4.875	12.851	15.51	21.271	18.3905	37.667	17.776	27.7215	35.451	35.008	35.2295	27.918	
5	145	6.192	6.192	22.157	8.863	15.51	20.384	24.816	22.6	36.337	19.549	27.943	35.451	35.008	35.2295	28.361	
		8.0532			13.782			19.498			29.8133			35.1261			
							Data : 4", -20, 30, 45 C										
NO	WAKTU	SENSOR	Tw1-in	SENSOR2	SENSOR3	Tw1-out	SENSOR4	SENSOR5	T~	SENSOR6	SENSOR7	Tw2-in	SENSOR8	SENSOR9	Tw2-out	SENSOR10	
1	15	7.533	7.533	23.043	8.42	15.7315	19.498	27.918	23.708	46.086	32.349	39.2175	40.325	51.404	45.8645	27.475	
2	25	2.659	2.659	25.259	10.192	17.7255	23.043	27.918	25.4805	46.086	38.996	42.541	39.439	51.404	45.4215	24.816	
3	30	5.761	5.761	23.043	9.749	16.396	23.436	26.145	24.8155	46.529	33.235	39.882	47.859	40.769	44.314	27.475	
4	40	1.329	1.329	20.827	9.306	15.0665	20.827	29.247	25.037	42.541	38.996	40.7685	50.075	40.325	45.2	22.157	
5	50	2.659	2.659	27.031	9.306	18.1685	20.827	27.918	24.3725	46.086	32.349	39.2175	47.859	42.541	45.2	24.373	
		3.9882			16.618			24.683			40.3253			45.2			
							Data : 4", -20, 30, 55 C										
NO	WAKTU	SENSOR1	Tw1-in	SENSOR2	SENSOR3	Tw1-out	SENSOR4	SENSOR5	T~	SENSOR6	SENSOR7	Tw2-in	SENSOR8	SENSOR9	Tw2-out	SENSOR10	
1	35	3.102	3.102	27.918	11.078	19.498	28.804	27.031	27.9175	45.2	46.086	45.643	56.032	54.722	55.377	21.714	
2	45	5.761	5.761	24.816	15.067	19.9415	24.373	27.918	26.1455	54.063	42.541	48.302	54.949	56.002	55.4755	27.031	
3	140	7.976	7.976	27.918	14.624	21.271	29.247	31.906	30.5765	43.427	38.553	40.99	56.278	55.278	55.778	26.588	
4	145	5.761	5.761	30.576	14.624	22.6	27.918	28.361	28.1395	53.176	48.302	50.739	56.722	54.278	55.5	22.157	
5	150	4.875	4.875	25.259	11.965	18.612	28.361	31.906	30.1335	49.631	42.541	46.086	53.722	56.722	55.222	22.6	
		5.495			20.385			28.583			46.352			55.4705			
							Data : 4", -20, 30, 65 C										
NO	WAKTU	SENSOR1	Tw1-in	SENSOR2	SENSOR3	Tw1-out	SENSOR4	SENSOR5	T~	SENSOR6	SENSOR7	Tw2-in	SENSOR8	SENSOR9	Tw2-out	SENSOR10	
1	35	7.09	7.09	35.008	20.384	27.696	35.008	38.996	37.002	63.812	53.176	58.494	64.357	66.914	65.6355	23.043	
2	65	3.988	3.988	28.361	19.498	23.9295	35.451	31.463	33.457	65.584	45.643	55.6135	66.471	64.722	65.5965	23.043	
3	145	7.09	7.09	27.918	16.396	22.157	35.008	32.792	33.9	56.278	56.722	56.5	63.812	66.357	65.0845	22.6	
4	165	7.09	7.09	28.361	19.498	23.9295	35.008	35.451	35.2295	56.278	55.835	56.0565	67.357	63.812	65.5845	27.918	
5	180	4.875	4.875	28.361	19.498	23.9295	35.451	33.235	34.343	56.278	56.722	56.5	66.243	63.812	65.0275	27.918	
		6.0266			24.328			34.786			56.6328			65.3857			

Data : 4", -20, 30

NO	WAKTU	SENSOR1	Tw1-in	SENSOR2	SENSOR3	Tw1-out	SENSOR4	SENSOR5	T~	SENSOR6	SENSOR7	Tw2-in	SENSOR8	SENSOR9	Tw2-out	SENSOR10
1	20	7.431	7.431	15.953	1.773	8.863	6.204	11.522	8.863	13.737	14.812	14.2745	15.51	15.51	15.51	27.031
2	60	5.216	5.216	7.976	4.431	6.2035	8.863	8.42	8.6415	14.18	13.491	13.8355	20.384	19.941	20.1625	27.031
3	85	4.216	4.216	6.647	6.647	6.647	8.863	8.42	8.6415	14.18	13.18	13.68	15.953	20.384	18.1685	27.031
4	230	4.431	4.431	8.42	2.216	5.318	6.204	10.192	8.198	15.953	13.032	14.4925	20.384	15.953	18.1685	27.918
5	240	5.431	5.431	6.204	6.647	6.4255	8.42	9.749	9.0845	14.18	13.91	14.045	20.384	20.384	20.384	27.031
			5.345			6.6914			8.6857			14.0655			18.4787	

Data : 4", -20, 60, 35 C

NO	WAKTU	SENSOR1	Tw1-in	SENSOR2	SENSOR3	Tw1-out	SENSOR4	SENSOR5	T~	SENSOR6	SENSOR7	Tw2-in	SENSOR8	SENSOR9	Tw2-out	SENSOR10
1	20	4.875	4.875	34.173	17.725	25.949	19.498	24.816	22.157	28.804	34.173	31.4885	35.008	41.212	38.11	26.588
2	95	14.18	14.18	34.173	18.169	26.171	20.384	23.043	21.7135	35.451	34.173	34.812	35.008	35.451	35.2295	24.373
3	200	14.18	14.18	19.549	20.827	20.188	15.953	20.827	18.39	38.996	19.549	29.2725	35.008	35.008	35.008	22.6
4	210	6.647	6.647	17.776	17.282	17.529	21.271	20.827	21.049	30.576	17.776	24.176	33.678	38.996	36.337	27.475
5	220	3.102	3.102	19.549	21.714	20.6315	17.725	21.271	19.498	30.133	19.549	24.841	35.008	33.678	34.343	22.6
			8.5968			22.094			20.562			28.918			35.8055	

Data : 4", -20, 60, 45 C

NO	WAKTU	SENSOR	Tw1-in	SENSOR2	SENSOR3	Tw2-out	SENSOR4	SENSOR5	T~	SENSOR6	SENSOR7	Tw2-in	SENSOR8	SENSOR9	Tw2-out	SENSOR10
1	35	3.102	3.102	24.373	9.306	16.8395	24.816	27.918	26.367	44.314	38.996	41.655	47.859	42.541	45.2	22.157
2	50	6.204	6.204	24.816	9.749	17.2825	24.816	26.145	25.4805	38.11	38.996	38.553	48.745	42.098	45.4215	24.816
3	60	0.443	0.443	27.475	10.635	19.055	19.055	28.804	23.9295	42.541	38.996	40.7685	42.541	49.188	45.8645	27.031
4	65	3.102	3.102	21.714	14.624	18.169	19.055	29.247	24.151	42.098	32.349	37.2235	42.098	49.631	45.8645	26.588
5	75	0.886	0.886	24.816	13.294	19.055	20.827	28.361	24.594	42.098	31.906	37.002	47.859	42.098	44.9785	22.6
			2.7474			18.08			24.904			39.0404			45.4658	

Data : 4", -20, 60, 55 C

NO	WAKTU	SENSOR	Tw1-in	SENSOR2	SENSOR3	Tw1-out	SENSOR4	SENSOR5	T~	SENSOR6	SENSOR7	Tw2-in	SENSOR8	SENSOR9	Tw2-out	SENSOR10
1	30	5.761	5.761	30.133	12.408	21.2705	23.043	34.122	28.5825	55.392	46.973	51.1825	53.278	56.722	55	21.714
2	45	7.976	7.976	30.576	13.737	22.1565	23.043	27.918	25.4805	55.835	44.314	50.0745	53.722	56.722	55.222	22.157
3	55	3.545	3.545	30.133	13.294	21.7135	28.804	27.918	28.361	55.392	38.553	46.9725	56.722	53.278	55	26.588
4	70	7.976	7.976	28.361	11.522	19.9415	24.373	31.906	28.1395	44.757	42.098	43.4275	53.722	56.722	55.222	27.475
5	225	7.976	7.976	30.133	14.18	22.1565	27.918	31.463	29.6905	44.757	46.086	45.4215	56.722	53.733	55.2275	24.816
			6.6468			21.448			28.051			47.4157			55.1343	

NO	WAKTU	SENSOR1	Tw1-in	SENSOR2	SENSOR3	Tw1-out	Data : 4", -20, 60, 65 C			SENSOR6	SENSOR7	Tw2-in	SENSOR8	SENSOR9	Tw2-out	SENSOR10	
							SENSOR4	SENSOR5	T~								
1	110	4.875	4.875	28.361	19.498	23.9295	35.451	38.11	36.7805	56.722	55.835	56.2785	65.278	65.584	65.431	27.918	
2	145	6.204	6.204	31.906	19.498	25.702	31.463	31.906	31.6845	56.722	54.949	55.8355	63.278	67.357	65.3175	22.6	
3	120	6.647	6.647	27.918	20.384	24.151	36.337	31.02	33.6785	65.584	55.835	60.7095	63.212	67.357	65.2845	27.918	
4	210	6.647	6.647	27.918	17.725	22.8215	29.69	38.996	34.343	63.812	55.835	59.8235	67.357	63.112	65.2345	28.361	
5	225	7.09	7.09	33.678	19.498	26.588	29.247	32.349	30.798	56.278	45.643	50.9605	62.278	67.357	64.8175	28.361	
						6.2926			24.638			33.457			56.7215		65.217
							Data : 4", -20, 60										
NO	WAKTU	SENSOR1	Tw1-in	SENSOR2	SENSOR3	Tw1-out	SENSOR4	SENSOR5	T~	SENSOR6	SENSOR7	Tw2-ir.	SENSOR8	SENSOR9	Tw2-out	SENSOR10	
1	60	6.431	6.431	7.976	6.647	7.3115	15.953	10.192	13.0725	16.396	12.364	14.38	19.498	19.941	19.7195	27.031	
2	80	4.216	4.216	7.976	3.102	5.539	6.204	10.192	8.198	15.953	12.1	14.0265	19.498	19.941	19.7195	27.475	
3	100	5.102	5.102	9.749	3.102	6.4255	8.42	11.522	9.971	14.18	12.357	13.2685	16.396	20.827	18.6115	27.475	
4	110	4.102	4.102	9.749	2.216	5.9825	5.318	11.522	8.42	16.396	12.632	14.514	17.725	21.271	19.498	27.475	
5	195	6.647	6.647	14.18	6.647	10.4135	5.761	10.192	7.9765	14.18	13.261	13.7205	17.282	19.055	18.1685	27.031	
						5.2996			7.1344			9.5276			13.9819		19.1434
							Data : 4", -20, 90, 35 C										
NO	WAKTU	SENSOR1	Tw1-in	SENSOR2	SENSOR3	Tw1-out	SENSOR4	SENSOR5	T~	SENSOR6	SENSOR7	Tw2-in	SENSOR8	SENSOR9	Tw2-out	SENSOR10	
1	55	1.329	1.329	21.271	9.306	15.2885	17.282	22.6	19.941	35.451	27.918	31.6845	36.463	34.882	35.6725	21.271	
2	70	4.431	4.431	21.271	4.875	13.073	17.725	20.827	19.276	28.361	33.678	31.0195	33.463	36.382	34.9225	21.271	
3	85	0.443	0.443	22.157	14.18	18.1685	17.282	23.043	20.1625	38.553	27.031	32.792	38.996	31.906	35.451	20.827	
4	100	1.773	1.773	23.043	17.725	20.384	20.827	21.271	21.049	33.678	33.678	33.678	35.008	35.008	35.008	25.259	
5	230	0.443	0.443	21.271	4.875	13.073	21.271	23.043	22.157	33.678	31.906	32.792	35.451	35.451	35.451	24.816	
						1.6838			15.997			20.517			32.3932		35.301
							Data : 4", -20, 90, 45 C										
NO	WAKTU	SENSOR1	Tw1-in	SENSOR2	SENSOR3	Tw1-out	SENSOR4	SENSOR5	T~	SENSOR6	SENSOR7	Tw2-in	SENSOR8	SENSOR9	Tw2-out	SENSOR10	
1	5	10.18	10.18	34.173	30.133	32.153	28.361	27.918	28.1395	40.769	34.173	37.471	44.631	45.643	45.137	23.043	
2	30	4.863	4.863	17.776	28.361	23.0685	28.361	27.918	28.1395	49.631	17.776	33.7035	44.631	46.086	45.3585	28.361	
3	45	4.42	4.42	34.173	23.929	29.051	28.361	28.361	28.361	42.098	34.173	38.1355	43.541	46.586	45.0635	27.918	
4	90	3.533	3.533	26.639	27.918	27.2785	23.043	31.906	27.4745	42.541	26.639	34.59	46.086	44.075	45.0805	26.588	
5	165	6.192	6.192	26.639	28.361	27.5	27.918	28.361	28.1395	40.325	26.639	33.482	44.098	46.086	45.092	24.373	
						5.8376			27.81			28.051			35.4764		45.1463

<u>Data : 4", -20, 90, 55 C</u>																
NO	WAKTU	SENSOR1	Tw1-in	SENSOR2	SENSOR3	Tw1-out	SENSOR4	SENSOR5	T~	SENSOR6	SENSOR7	Tw2-in	SENSOR8	SENSOR9	Tw2-out	SENSOR10
1	25	9.294	9.294	27.918	15.067	21.4925	27.031	28.361	27.696	42.541	19.549	31.045	54.267	56.278	55.2725	22.6
2	40	7.965	7.965	28.361	17.282	22.8215	33.678	27.918	30.798	42.541	19.549	31.045	54.294	56.722	55.508	22.157
3	55	11.067	11.067	28.361	16.396	22.3785	32.792	28.361	30.5765	41.655	34.173	37.914	54.278	56.722	55.5	27.475
4	70	10.18	10.18	30.133	14.18	22.1565	27.031	27.918	27.4745	41.655	34.173	37.914	56.722	54.278	55.5	22.157
5	110	10.18	10.18	27.918	13.737	20.8275	27.918	28.361	28.1395	49.188	19.549	34.3685	55.835	54.722	55.2785	27.475
			9.7372			21.935			28.937			34.4573			55.4118	
<u>Data : 4", -20, 90, 65 C</u>																
NO	WAKTU	SENSOR1	Tw1-in	SENSOR2	SENSOR3	Tw1-out	SENSOR4	SENSOR5	T~	SENSOR6	SENSOR7	Tw2-in	SENSOR8	SENSOR9	Tw2-out	SENSOR10
1	80	5.318	5.318	28.361	19.498	23.9295	37.224	35.894	36.559	52.733	53.176	52.9545	63.506	66.471	64.9885	22.6
2	85	7.09	7.09	31.906	15.51	23.708	36.78	28.804	32.792	52.733	56.435	54.584	66.471	63.62	65.0455	22.6
3	110	4.875	4.875	28.361	19.498	23.9295	36.78	35.008	35.894	63.812	56.456	60.134	64.278	65.584	64.931	25.702
4	145	6.204	6.204	31.906	19.498	25.702	29.247	27.918	28.5825	52.733	56.432	54.5825	65.278	64.557	64.9175	22.6
5	175	3.102	3.102	28.361	20.827	24.594	36.337	28.361	32.349	56.278	56.345	56.3115	65.578	64.357	64.9675	27.475
			5.3178			24.373			33.235			55.7133			64.97	
<u>Data : 4", -20, 90</u>																
NO	WAKTU	SENSOR1	Tw1-in	SENSOR2	SENSOR3	Tw1-out	SENSOR4	SENSOR5	T~	SENSOR6	SENSOR7	Tw2-in	SENSOR8	SENSOR9	Tw2-out	SENSOR10
1	10	6.431	6.431	8.863	7.09	7.9765	5.761	8.863	7.312	15.953	13.737	14.845	21.271	20.827	21.049	27.918
2	70	3.545	3.545	7.976	3.545	5.7605	8.42	10.192	9.306	11.965	16.396	14.1805	17.725	16.396	17.0605	27.031
3	80	5.431	5.431	8.863	7.09	7.9765	7.533	9.749	8.641	15.953	17.725	16.839	17.282	17.725	17.5035	27.475
4	165	6.545	6.545	14.624	2.216	8.42	7.533	11.522	9.5275	13.294	16.396	14.845	21.271	17.725	19.498	27.031
5	185	5.545	5.545	14.18	2.659	8.4195	5.761	10.635	8.198	13.737	17.725	15.731	16.839	19.941	18.39	27.031
			5.4994			7.7106			8.5969			15.2881			18.7002	

SAMPL	ING DATA SUHU			Data : 4", -40, 30, 35 C													
NO	WAKTU	SENSOR1	Tw1-in	SENSOR2	SENSOR3	Tw1-out	SENSOR4	SENSOR5	T~	SENSOR6	SENSOR7	Tw2-in	SENSOR8	SENSOR9	Tw2-out	SENSOR10	
1	15	2.659	2.659	16.839	14.18	15.5095	19.055	20.384	19.7195	31.02	26.639	28.8295	35.463	35.451	35.457	22.6	
2	35	0.443	0.443	15.067	5.761	10.414	19.055	17.725	18.39	25.702	17.776	21.739	35.351	34.804	35.0775	27.031	
3	50	1.773	1.773	17.282	3.988	10.635	21.271	19.055	20.163	28.361	17.776	23.0685	35.451	34.69	35.0705	22.6	
4	60	3.545	3.545	15.953	15.953	15.953	21.271	18.169	19.72	30.133	36.831	33.482	35.951	34.804	35.3775	27.475	
5	75	3.545	3.545	16.839	14.18	15.5095	21.271	18.169	19.72	28.361	27.082	27.7215	35.451	35.394	35.4225	26.588	
			2.393			13.6042			19.543			26.968			35.281		
							Data : 4", -40, 30, 45 C										
NO	WAKTU	SENSOR1	Tw1-in	SENSOR2	SENSOR3	Tw1-out	SENSOR4	SENSOR5	T~	SENSOR6	SENSOR7	Tw2-in	SENSOR8	SENSOR9	Tw2-out	SENSOR10	
1	25	1.329	1.329	21.714	10.635	16.1745	26.588	28.361	27.4745	49.631	17.333	33.482	44.984	45.643	45.3135	22.6	
2	60	3.102	3.102	25.702	11.078	18.39	24.816	24.816	24.816	49.188	17.776	33.482	44.463	45.643	45.053	24.373	
3	115	7.09	7.09	23.043	9.306	16.1745	20.827	29.247	25.037	42.541	26.639	34.59	44.847	46.086	45.4665	26.588	
4	30	2.659	2.659	26.588	9.306	17.947	21.714	30.133	25.9235	42.541	19.549	31.045	45.871	45.043	45.457	26.588	
5	110	3.302	3.302	20.827	14.624	17.7255	20.827	29.247	25.037	38.996	17.333	28.1645	44.847	45.643	45.245	22.157	
			3.496			17.2823			25.658			32.153			45.307		
							Data : 4", -40, 30, 55 C										
NO	WAKTU	SENSOR1	Tw1-in	SENSOR2	SENSOR3	Tw1-out	SENSOR4	SENSOR5	T~	SENSOR6	SENSOR7	Tw2-in	SENSOR8	SENSOR9	Tw2-out	SENSOR10	
1	20	3.545	3.545	24.373	13.737	19.055	31.906	29.247	30.5765	56.278	26.639	41.4585	54.278	55.584	54.931	22.157	
2	205	3.102	3.102	31.906	15.953	23.9295	25.259	28.361	26.81	49.188	34.173	41.6805	56.722	53.722	55.222	22.6	
3	70	10.635	10.635	28.361	11.965	20.163	31.463	28.804	30.1335	58.494	26.639	42.5665	54.278	56.722	55.5	24.373	
4	95	3.545	3.545	31.02	14.18	22.6	28.361	35.451	31.906	56.722	26.639	41.6805	54.278	56.722	55.5	24.373	
5	170	3.545	3.545	31.02	13.737	22.3785	27.918	28.361	28.1395	47.416	34.173	40.7945	55.722	54.722	55.222	22.6	
			4.874			21.6252			29.513			41.636			55.275		
							Data : 4", -40, 30, 65 C										
NO	WAKTU	SENSOR1	Tw1-in	SENSOR2	SENSOR3	Tw1-out	SENSOR4	SENSOR5	T~	SENSOR6	SENSOR7	Tw2-in	SENSOR8	SENSOR9	Tw2-out	SENSOR10	
1	30	1.329	1.329	35.894	14.18	25.037	37.224	31.02	34.122	59.824	65.435	62.6295	66.722	63.369	65.0455	27.031	
2	50	3.102	3.102	31.906	16.839	24.3725	35.451	38.996	37.2235	59.824	64.345	62.0845	64.369	65.71	65.0395	27.475	
3	70	0.443	0.443	36.337	18.612	27.4745	35.451	40.769	38.11	59.824	61.345	60.5845	65.812	64.447	65.1295	21.714	
4	170	1.329	1.329	35.451	18.612	27.0315	38.11	35.008	36.559	59.824	59.824	59.824	64.369	65.902	65.1355	24.373	
5	200	7.09	7.09	29.247	19.498	24.3725	30.576	33.678	32.127	60.234	62.123	61.1785	65.561	64.902	65.2315	24.816	
			2.659			25.6576			35.628			61.26			65.116		

Data : 4", -40, 60, 65 C

NO	WAKTU	SENSOR1	Tw1-in	SENSOR2	SENSOR3	Tw1-out	SENSOR4	SENSOR5	T-	SENSOR6	SENSOR7	Tw2-in	SENSOR8	SENSOR9	Tw2-out	SENSOR10
1	10	0.443	0.443	35.451	17.725	26.588	39.882	35.008	37.445	63.369	56.278	59.8235	63.812	66.596	65.204	22.6
2	75	1.329	1.329	37.224	19.498	28.361	38.996	42.541	40.7685	56.278	63.812	60.045	65.561	64.669	65.115	22.157
3	80	1.329	1.329	37.224	19.498	28.361	39.882	42.098	40.99	56.278	56.278	56.278	64.812	65.902	65.357	22.157
4	110	3.545	3.545	37.224	19.498	28.361	38.996	35.451	37.2235	58.051	56.278	57.1645	64.902	65.369	65.1355	24.373
5	120	7.09	7.09	35.451	17.725	26.588	38.553	38.996	38.7745	63.369	56.278	59.8235	65.459	65.039	65.249	27.475
			2.747			27.6518			39.04			58.627			65.212	
							Data : 4", -40, 60									
NO	WAKTU	SENSOR1	Tw1-in	SENSOR2	SENSOR3	Tw1-out	SENSOR4	SENSOR5	T-	SENSOR6	SENSOR7	Tw2-in	SENSOR8	SENSOR9	Tw2-out	SENSOR10
1	40	4.863	4.863	5.761	6.204	5.9825	5.761	11.522	8.6415	13.294	14.18	13.737	20.827	17.725	19.276	27.475
2	45	3.963	3.963	7.976	3.102	5.539	9.749	11.522	10.6355	15.51	14.18	14.845	19.498	17.282	18.39	27.918
3	95	4.363	4.363	15.953	7.09	11.5215	6.204	9.749	7.9765	15.953	15.953	15.953	16.839	17.725	17.282	27.475
4	100	4.761	4.761	5.761	4.875	5.318	5.318	11.965	8.6415	16.396	13.737	15.0665	20.827	21.714	21.2705	27.475
5	120	7.725	7.725	15.953	1.329	8.641	5.318	11.965	8.6415	14.18	16.396	15.288	20.827	17.725	19.276	27.475
			5.135			7.4004			8.9073			14.978			19.099	
							Data : 4", -40, 90, 35 C									
NO	WAKTU	SENSOR1	Tw1-in	SENSOR2	SENSOR3	Tw1-out	SENSOR4	SENSOR5	T-	SENSOR6	SENSOR7	Tw2-in	SENSOR8	SENSOR9	Tw2-out	SENSOR10
1	10	1.773	1.773	16.839	6.204	11.5215	17.725	21.271	19.498	35.451	27.082	31.2665	34.541	35.894	35.2175	22.6
2	30	15.51	15.51	17.282	9.306	13.294	20.827	20.827	20.827	31.906	26.639	29.2725	35.908	34.314	35.111	27.031
3	50	0.886	0.886	21.271	18.612	19.9415	17.282	21.271	19.2765	39.439	26.639	33.039	35.008	35.008	35.008	27.475
4	160	1.329	1.329	20.384	11.078	15.731	19.498	21.714	20.606	28.804	17.776	23.29	35.451	35.008	35.2295	26.588
5	175	1.773	1.773	19.941	14.18	17.0605	19.941	22.157	21.049	35.451	26.639	31.045	34.463	35.808	35.1355	27.031
			4.254			15.5097			20.251			29.583			35.14	
							Data : 4", -40, 90, 45 C									
NO	WAKTU	SENSOR1	Tw1-in	SENSOR2	SENSOR3	Tw1-out	SENSOR4	SENSOR5	T-	SENSOR6	SENSOR7	Tw2-in	SENSOR8	SENSOR9	Tw2-out	SENSOR10
1	15	9.294	9.294	20.827	6.204	13.5155	21.271	21.271	21.271	41.655	17.776	29.7155	44.565	45.2	44.8825	24.816
2	55	7.09	7.09	21.714	15.067	18.3905	16.396	21.271	18.8335	40.769	19.549	30.159	46.541	43.541	45.041	27.475
3	210	8.408	8.408	20.827	4.875	12.851	17.282	23.486	20.384	32.792	17.776	25.284	45.451	45.2	45.3255	27.918
4	240	0.443	0.443	17.725	18.612	18.1685	17.282	20.827	19.0545	41.212	17.776	29.494	44.541	46.086	45.3135	21.714
5	245	2.659	2.659	20.827	15.067	17.947	20.827	21.271	21.049	35.008	34.173	34.5905	44.541	45.2	44.8705	21.714
			5.579			16.1745			20.118			29.849			45.087	

Data : 4", -40, 90, 55 C

NO	WAKTU	SENSOR1	Tw1-in	SENSOR2	SENSOR3	Tw1-out	SENSOR4	SENSOR5	T~	SENSOR6	SENSOR7	Tw2-in	SENSOR8	SENSOR9	Tw2-out	SENSOR10
1	5	2.659	2.659	28.361	13.737	21.049	24.373	27.918	26.1455	58.937	27.082	43.0095	56.722	53.722	55.222	22.157
2	30	4.431	4.431	28.804	14.18	21.492	25.259	26.145	25.702	56.722	34.173	45.4475	53.722	56.278	55	22.6
3	50	3.545	3.545	27.918	14.18	21.049	31.02	28.361	29.6905	57.608	26.639	42.1235	54.278	56.278	55.278	25.702
4	100	4.431	4.431	27.918	17.725	22.8215	28.361	28.361	28.361	56.278	36.831	46.5545	53.722	56.722	55.222	27.918
5	165	4.875	4.875	24.373	13.737	19.055	27.918	27.918	27.918	46.086	27.082	36.584	54.278	56.278	55.278	25.702
			3.988			21.0933			27.563			42.744			55.2	

Data : 4", -40, 90, 65 C

NO	WAKTU	SENSOR1	Tw1-in	SENSOR2	SENSOR3	Tw1-out	SENSOR4	SENSOR5	T~	SENSOR6	SENSOR7	Tw2-in	SENSOR8	SENSOR9	Tw2-out	SENSOR10
1	40	10.635	10.635	27.918	17.725	22.8215	28.804	38.996	33.9	56.278	34.173	45.2255	63.812	67.357	65.5845	22.6
2	85	6.647	6.647	28.361	17.282	22.8215	27.918	35.451	31.6845	56.722	26.639	41.6805	63.812	67.357	65.5845	22.157
3	150	8.42	8.42	35.451	23.043	29.247	31.906	38.996	35.451	56.278	36.831	46.5545	66.471	63.812	65.1415	26.588
4	215	6.647	6.647	28.361	21.271	24.816	29.247	38.996	34.1215	63.812	17.776	40.794	65.584	64.914	65.249	28.361
5	240	6.647	6.647	27.031	17.725	22.378	35.894	38.996	37.445	56.722	27.082	41.902	64.357	65.584	64.9705	22.6
			7.799			24.4168			34.52			43.231			65.306	
NO	WAKTU	SENSOR1	Tw1-in	SENSOR2	SENSOR3	Tw1-out	SENSOR4	SENSOR5	T~	SENSOR6	SENSOR7	Tw2-in	SENSOR8	SENSOR9	Tw2-out	SENSOR10
1	15	5.863	5.863	7.09	7.09	7.09	13.18	11.965	12.5725	13.737	13.737	13.737	22.157	22.157	22.157	27.918
2	20	5.963	5.963	7.533	6.204	6.8685	7.976	11.078	9.527	12.851	13.737	13.294	20.827	21.271	21.049	27.918
3	60	4.363	4.363	5.318	3.988	4.653	13.953	10.192	12.0725	14.624	15.953	15.2885	19.498	17.725	18.6115	27.031
4	110	5.761	5.761	7.533	7.09	7.3115	14.18	10.635	12.4075	13.294	13.737	13.5155	17.282	17.725	17.5035	27.918
5	145	6.725	6.725	7.976	7.09	7.533	13.18	10.192	11.686	14.18	13.294	13.737	20.827	19.055	19.941	27.475
			5.735			6.6912			11.653			13.914			19.852	

Data : 4", -60, 30, 35 C

NO	WAKTU	SENSOR1	Tw1-in	SENSOR2	SENSOR3	Tw1-out	SENSOR4	SENSOR5	T~	SENSOR6	SENSOR7	Tw2-in	SENSOR8	SENSOR9	Tw2-out	SENSOR10
1	10	6.635	6.635	17.725	17.725	17.725	13.737	21.271	17.5	27.918	27.082	27.5	35.008	35.451	35.2295	28.361
2	65	4.863	4.863	20.827	18.612	19.7195	11.965	21.271	16.62	24.373	19.549	21.961	35.451	35.008	35.2295	22.6
3	70	4.863	4.863	20.827	8.42	14.6235	9.749	19.055	14.4	30.133	28.804	29.4685	35.008	35.008	35.008	27.918
4	175	6.635	6.635	20.827	4.875	12.851	14.18	14.18	14.18	29.69	28.804	29.247	35.451	35.008	35.2295	27.475
5	205	3.533	3.533	17.725	17.725	17.725	12.408	12.408	12.41	30.576	26.639	28.6075	34.998	35.008	35.003	22.6
			5.306			16.529			15.02			27.357			35.1399	

Data : 4", -60, 30, 45 C

NO	WAKTU	SENSOR1	Tw1-in	SENSOR2	SENSOR3	Tw1-out	SENSOR4	SENSOR5	T~	SENSOR6	SENSOR7	Tw2-in	SENSOR8	SENSOR9	Tw2-out	SENSOR10
1	15	3.976	3.976	23.043	8.42	15.7315	22.6	20.827	21.71	39.882	35.945	37.9135	45.541	44.314	44.9275	22.6
2	30	6.192	6.192	23.043	9.749	16.396	24.373	19.941	22.16	42.098	26.639	34.3685	45.541	44.314	44.9275	27.475
3	105	6.192	6.192	28.361	13.294	20.8275	29.247	27.918	28.58	42.088	26.639	34.3635	44.631	45.643	45.137	24.816
4	130	4.863	4.863	23.043	14.18	18.6115	27.918	24.373	26.15	41.212	27.082	34.147	44.176	45.643	44.9095	24.373
5	185	6.192	6.192	22.6	11.522	17.061	24.373	24.816	24.59	42.631	27.082	34.8565	45.643	45.643	45.643	27.918
			5.483			17.726			24.64			35.13			45.1089	

Data : 4", -60, 30, 55 C

NO	WAKTU	SENSOR1	Tw1-in	SENSOR2	SENSOR3	Tw1-out	SENSOR4	SENSOR5	T~	SENSOR6	SENSOR7	Tw2-in	SENSOR8	SENSOR9	Tw2-out	SENSOR10
1	5	3.976	3.976	24.373	12.408	18.391	27.918	28.361	28.14	45.643	35.549	40.596	54.278	56.722	55.5	27.918
2	45	5.749	5.749	28.361	12.408	20.385	27.918	27.918	27.92	56.278	26.639	41.459	56.278	54.278	55.278	27.475
3	60	3.533	3.533	24.373	13.737	19.055	31.906	28.361	30.13	45.2	35.549	40.375	56.722	54.278	55.5	28.361
4	85	4.42	4.42	24.373	16.396	20.385	27.918	31.906	29.91	56.722	34.173	45.448	56.722	53.722	55.222	28.804
5	100	6.635	6.635	25.259	16.839	21.049	28.361	27.918	28.14	49.188	26.639	37.914	54.278	56.278	55.278	27.918
			4.863			19.853			28.85			41.158			55.3556	

Data : 4", -60, 30, 65 C

NO	WAKTU	SENSOR1	Tw1-in	SENSOR2	SENSOR3	Tw1-out	SENSOR4	SENSOR5	T~	SENSOR6	SENSOR7	Tw2-in	SENSOR8	SENSOR9	Tw2-out	SENSOR10
1	5	3.102	3.102	30.133	15.067	22.6	37.224	35.451	36.34	64.698	46.529	55.6135	63.812	65.584	64.698	24.373
2	30	2.659	2.659	29.69	18.169	23.9295	27.918	34.122	31.02	56.722	56.278	56.5	65.584	64.357	64.9705	23.043
3	85	3.102	3.102	30.133	13.294	21.7135	29.69	35.008	32.35	56.278	44.757	50.5175	64.357	65.584	64.9705	22.6
4	95	3.545	3.545	35.008	17.725	26.3665	35.451	34.122	34.79	52.733	45.2	48.9665	65.584	64.357	64.9705	24.816
5	205	1.329	1.329	35.894	17.725	26.8095	33.678	35.008	34.34	51.847	49.188	50.5175	65.584	64.912	65.248	22.157
			2.747			24.284			33.77			52.423			64.9715	

Data : 4", -60, 30

NO	WAKTU	SENSOR1	Tw1-in	SENSOR2	SENSOR3	Tw1-out	SENSOR4	SENSOR5	T~	SENSOR6	SENSOR7	Tw2-in	SENSOR8	SENSOR9	Tw2-out	SENSOR10
1	70	1.102	1.102	6.647	3.545	5.096	14.18	12.408	13.29	14.18	14.18	14.18	21.271	19.498	20.3845	27.031
2	75	0.345	0.345	9.306	3.102	6.204	6.647	8.42	7.534	13.737	13.737	13.737	21.271	20.827	21.049	27.918
3	100	0.345	0.345	6.647	5.318	5.9825	3.988	10.635	7.312	13.737	13.737	13.737	21.271	20.827	21.049	27.475
4	160	0.345	0.345	8.863	1.329	5.096	5.761	9.749	7.755	13.737	13.737	13.737	21.271	19.498	20.3845	27.031
5	210	2.09	2.09	7.976	3.545	5.7605	14.18	10.192	12.19	13.737	13.737	13.737	20.384	21.271	20.8275	27.475
			0.845			5.6278			9.616			13.826			20.7389	

Data : 4", -60, 60, 35 C

NO	WAKTU	SENSOR1	Tw1-in	SENSOR2	SENSOR3	Tw1-out	SENSOR4	SENSOR5	T~	SENSOR6	SENSOR7	Tw2-in	SENSOR8	SENSOR9	Tw2-out	SOR10
1	10	6.635	6.635	19.055	4.431	11.743	16.396	23.486	19.94	34.173	33.235	33.704	35.008	35.541	35.2745	27.918
2	20	4.42	4.42	19.055	15.067	17.061	17.725	23.486	20.61	34.173	34.173	34.173	35.008	35.086	35.047	26.588
3	30	6.635	6.635	21.271	9.306	15.2885	21.271	20.827	21.05	34.173	33.235	33.704	35.008	35.086	35.047	21.714
4	35	6.192	6.192	22.157	4.875	13.516	20.384	23.043	21.71	34.173	33.235	33.704	35.832	34.667	35.2495	22.6
5	190	6.635	6.635	18.169	9.306	13.7375	15.953	19.055	17.5	30.133	34.173	32.153	35.451	35.094	35.2725	24.373
			6.103			14.269			20.16			33.488			35.1781	

Data : 4", -60, 60, 45 C

NO	WAKTU	SENSOR1	Tw1-in	SENSOR2	SENSOR3	Tw1-out	SENSOR4	SENSOR5	T~	SENSOR6	SENSOR7	Tw2-in	SENSOR8	SENSOR9	Tw2-out	SENSOR10
1	15	6.192	6.192	25.702	10.635	18.1685	19.055	24.816	21.94	42.541	26.639	34.59	44.541	46.086	45.3135	27.918
2	155	3.09	3.09	25.259	9.306	17.2825	17.725	23.043	20.38	31.906	19.549	25.7275	46.086	44.541	45.3135	23.486
3	160	6.635	6.635	20.384	13.294	16.839	17.282	20.827	19.05	39.882	35.945	37.9135	44.098	46.086	45.092	27.918
4	225	3.976	3.976	19.941	11.078	15.5095	21.271	24.816	23.04	35.451	34.173	34.812	44.098	46.086	45.092	27.918
5	245	6.635	6.635	21.271	12.408	16.8395	21.271	24.373	22.82	39.439	27.082	33.2605	44.098	46.086	45.092	27.475
			5.306			16.928			21.45			33.261			45.1806	

Data : 4", -60, 60, 55 C

NO	WAKTU	SENSOR1	Tw1-in	SENSOR2	SENSOR3	Tw1-out	SENSOR4	SENSOR5	T~	SENSOR6	SENSOR7	Tw2-in	SENSOR8	SENSOR9	Tw2-out	SENSOR10
1	10	3.976	3.976	27.918	11.965	19.9415	29.247	28.361	28.8	56.722	37.718	47.22	54.249	56.722	55.4855	28.361
2	50	2.647	2.647	24.373	15.067	19.72	26.588	28.361	27.47	56.278	34.173	45.2255	56.722	54.222	55.472	22.157
3	55	4.863	4.863	28.361	14.18	21.2705	28.361	31.906	30.13	50.075	34.173	42.124	54.278	56.722	55.5	24.373
4	65	4.42	4.42	27.918	14.18	21.049	32.792	31.906	32.35	61.153	27.082	44.1175	56.722	54.039	55.3805	22.157
5	70	3.533	3.533	28.361	15.953	22.157	27.918	31.906	29.91	52.733	34.173	43.453	54.278	56.278	55.278	22.6
			3.888			20.828			29.73			44.428			55.4232	

Data : 4", -60, 60, 65 C

NO	WAKTU	SENSOR1	Tw1-in	SENSOR2	SENSOR3	Tw1-out	SENSOR4	SENSOR5	T~	SENSOR6	SENSOR7	Tw2-in	SENSOR8	SENSOR9	Tw2-out	SENSOR10
1	5	1.329	1.329	35.451	17.282	26.3665	30.576	38.11	34.34	65.584	45.643	55.6135	63.812	67.357	65.5845	28.361
14	70	2.216	2.216	35.451	14.18	24.8155	35.451	38.996	37.22	56.278	55.835	56.0565	65.584	64.357	64.9705	27.918
17	85	3.988	3.988	35.451	15.51	25.4805	35.451	39.439	37.45	66.027	56.278	61.1525	64.698	65.243	64.9705	28.361
36	180	2.659	2.659	30.133	18.612	24.3725	29.69	40.769	35.23	63.812	49.188	56.5	65.584	64.812	65.198	23.043
39	195	0.443	0.443	30.133	17.725	23.929	36.337	33.235	34.79	67.357	46.529	56.943	65.243	65.357	65.3	26.588
			2.127			24.993			35.81			57.253			65.2047	

Data : 4", -60, 60

NO	WAKTU	SENSOR1	Tw1-in	SENSOR2	SENSOR3	Tw1-out	SENSOR4	SENSOR5	T~	SENSOR6	SENSOR7	Tw2-in	SENSOR8	SENSOR9	Tw2-out	SENSOR10
1	20	4.875	4.875	7.976	3.102	5.539	6.204	11.965	9.085	14.18	16.396	15.288	21.271	20.384	20.8275	27.031
2	30	3.102	3.102	7.976	3.102	5.539	6.204	12.408	9.306	16.396	14.624	15.51	17.725	17.725	17.725	27.031
3	60	4.875	4.875	14.18	3.102	8.641	7.533	10.192	8.863	14.18	15.51	14.845	17.282	17.725	17.5035	27.475
4	75	3.102	3.102	9.749	5.318	7.5335	7.533	12.408	9.971	15.51	13.737	14.6235	21.714	17.725	19.7195	27.475
5	105	3.102	3.102	5.761	3.988	4.8745	7.533	11.965	9.749	16.839	13.737	15.288	19.498	21.271	20.3845	27.475
			3.811			6.4254			9.395			15.111			19.232	

Data : 4", -60, 90, 35 C

NO	WAKTU	SENSOR1	Tw1-in	SENSOR2	SENSOR3	Tw1-out	SENSOR4	SENSOR5	T~	SENSOR6	SENSOR7	Tw2-in	SENSOR8	SENSOR9	Tw2-out	SENSOR10
1	55	1.773	1.773	13.737	8.42	11.0785	15.067	17.725	16.4	35.451	27.082	31.2665	35.451	35.463	35.457	28.361
2	95	0.443	0.443	17.725	3.102	10.4135	13.737	17.282	15.51	36.78	17.776	27.278	35.463	35.008	35.2355	28.361
3	135	0.886	0.886	17.282	9.749	13.5155	15.953	15.953	15.95	29.69	27.082	28.386	35.008	35.463	35.2355	26.588
4	215	0.886	0.886	15.51	17.725	16.6175	19.498	21.271	20.38	35.894	19.549	27.7215	35.008	35.463	35.2355	21.714
5	235	0.886	0.886	17.282	7.976	12.629	18.612	16.839	17.73	31.906	34.173	33.0395	35.451	35.451	35.451	22.6
			0.975			12.851			17.19			29.538			35.3229	

Data : 4", -60, 90, 45 C

NO	WAKTU	SENSOR1	Tw1-in	SENSOR2	SENSOR3	Tw1-out	SENSOR4	SENSOR5	T~	SENSOR6	SENSOR7	Tw2-in	SENSOR8	SENSOR9	Tw2-out	SENSOR10
1	205	4.09	4.09	17.282	16.396	16.839	24.816	24.816	24.82	50.075	27.082	38.5785	46.086	44.008	45.047	24.373
2	230	5.42	5.42	22.157	17.725	19.941	23.486	22.6	23.04	49.631	19.549	34.59	44.859	45.2	45.0295	23.043
3	240	4.442	4.442	18.169	16.839	17.504	19.498	24.373	21.94	42.098	36.831	39.4645	44.631	45.598	45.1145	27.918
4	245	4.763	4.763	23.043	17.725	20.384	19.941	27.031	23.49	50.075	27.082	38.5785	44.541	46.086	45.3135	28.361
5	250	5.42	5.42	22.157	14.18	18.1685	24.373	22.157	23.27	38.996	27.082	33.039	45.518	44.541	45.0295	27.918
			4.827			18.567			23.31			36.85			45.1068	

Data : 4", -60, 90, 55 C

NO	WAKTU	SENSOR1	Tw1-in	SENSOR2	SENSOR3	Tw1-out	SENSOR4	SENSOR5	T~	SENSOR6	SENSOR7	Tw2-in	SENSOR8	SENSOR9	Tw2-out	SENSOR10
1	10	3.09	3.09	24.373	15.067	19.72	31.906	31.906	31.91	49.188	17.776	33.482	56.278	54.494	55.386	23.486

2	25	4.42	4.42	27.918	12.408	20.163	31.02	27.918	29.47	56.278	19.549	37.9135	56.278	54.722	55.5	23.043
3	30	4.42	4.42	23.929	14.624	19.2765	27.918	31.906	29.91	45.643	26.639	36.141	54.722	56.078	55.4	24.373
4	100	4.863	4.863	27.918	14.18	21.049	28.361	32.792	30.58	46.086	34.173	40.1295	54.722	56.022	55.372	22.157
5	115	4.42	4.42	28.361	14.18	21.2705	31.02	34.122	32.57	45.643	26.639	36.141	54.722	56.022	55.372	22.6
			4.243			20.296			30.89			36.761			55.406	

Data : 4", -60, 90, 65 C

NO	WAKTU	SENSOR1	Tw1-in	SENSOR2	SENSOR3	Tw1-out	SENSOR4	SENSOR5	T~	SENSOR6	SENSOR7	Tw2-in	SENSOR8	SENSOR9	Tw2-out	SENSOR10
1	25	3.545	3.545	35.008	21.271	28.1395	31.906	38.996	35.45	58.051	56.722	57.3865	64.278	65.584	54.931	22.157
2	30	1.773	1.773	35.451	20.827	28.139	35.451	31.463	33.46	70.902	46.086	58.494	64.357	65.686	65.0215	24.816
3	40	2.659	2.659	35.008	18.169	26.5885	35.451	31.463	33.46	70.902	56.722	63.812	65.243	64.878	65.0605	24.816
4	55	2.659	2.659	31.463	18.612	25.0375	41.212	31.463	36.34	56.278	56.722	56.5	64.278	65.857	65.0675	28.361
5	65	2.216	2.216	31.906	22.6	27.253	35.008	37.224	36.12	67.357	45.643	56.5	64.278	65.584	64.931	28.361
			2.57			27.032			34.96			53.539			65.0023	

Data : 4", -60, 90

NO	WAKTU	SENSOR1	Tw1-in	SENSOR2	SENSOR3	Tw1-out	SENSOR4	SENSOR5	T~	SENSOR6	SENSOR7	Tw2-in	SENSOR8	SENSOR9	Tw2-out	SENSOR10
1	225	5.318	5.318	7.533	5.318	6.4255	7.533	9.749	8.641	12.408	13.737	13.0725	21.271	17.282	19.2765	27.031
2	230	6.09	6.09	7.976	7.09	7.533	14.18	10.635	12.41	13.737	16.396	15.0665	21.271	21.271	21.271	27.475
3	240	5.102	5.102	11.078	3.102	7.09	7.533	11.965	9.749	13.737	17.725	15.731	20.827	18.169	19.498	27.031
4	245	5.204	5.204	6.204	6.204	6.204	5.318	12.408	8.863	14.18	13.737	13.9585	20.827	17.282	19.0545	26.588
5	250	4.875	4.875	8.863	4.875	6.869	6.204	11.078	8.641	13.737	16.839	15.288	17.282	19.498	18.39	27.031
			5.318			6.8243			9.66			14.623			19.498	

SAMPLING DATA SUHU

Data : 3.5", -20, 30, 35 C

NO	WAKTU	SENSOR1	Tw1-in	SENSOR2	SENSOR3	Tw1-out	SENSOR4	SENSOR5	T~	SENSOR6	SENSOR7	Tw2-in	SENSOR8	SENSOR9	Tw2-out	SENSOR10
1	65	2.659	2.659	3.545	3.102	3.3235	14.18	17.725	15.9525	28.996	31.906	30.451	35.451	35.451	35.451	24.373
2	75	1.329	1.329	3.102	3.545	3.3235	13.737	15.953	14.845	28.996	31.02	30.008	35.451	35.451	35.451	22.6
3	90	2.659	2.659	3.102	2.216	2.659	17.725	19.498	18.6115	33.427	31.906	32.667	35.235	35.008	35.1215	24.816
4	95	3.545	3.545	7.09	4.431	5.7605	15.51	15.953	15.7315	25.008	31.02	28.014	35.678	35.008	35.343	23.043
5	140	1.773	1.773	0	10.635	5.3175	16.839	19.498	18.1685	32.541	30.133	31.337	34.678	35.451	35.0645	28.361
			2.393			4.0768			16.6618			30.495			35.2862	

Data : 3.5", -20, 30, 45 C

NO	WAKTU	SENSOR1	Tw1-in	SENSOR2	SENSOR3	Tw1-out	SENSOR4	SENSOR5	T~	SENSOR6	SENSOR7	Tw2-in	SENSOR8	SENSOR9	Tw2-out	SENSOR10
1	25	4.431	4.431	5.318	3.102	4.21	21.714	19.498	20.606	39.631	40.325	39.978	46.973	44.314	45.6435	27.475
2	40	3.988	3.988	3.102	3.988	3.545	20.827	20.384	20.6055	33.871	39.439	36.655	46.086	45.2	45.643	21.714
3	225	4.875	4.875	3.102	10.635	6.8685	19.498	19.941	19.7195	42.733	33.235	37.984	46.086	44.314	45.2	24.816
4	230	1.329	1.329	7.09	4.875	5.9825	19.498	19.498	19.498	32.541	41.212	36.877	45.859	44.541	45.2	22.6
5	235	7.09	7.09	6.647	6.204	6.4255	19.498	19.498	19.498	35.643	33.235	34.439	44.086	46.073	45.0795	21.714
			4.343			5.4063			19.9854			37.187			45.3532	

Data : 3.5", -20, 30, 55 C

NO	WAKTU	SENSOR1	Tw1-in	SENSOR2	SENSOR3	Tw1-out	SENSOR4	SENSOR5	T~	SENSOR6	SENSOR7	Tw2-in	SENSOR8	SENSOR9	Tw2-out	SENSOR10
1	25	1.773	1.773	10.635	5.318	7.9765	23.929	27.031	25.48	46.278	49.631	47.955	56.278	53.176	54.727	27.918
2	35	0.886	0.886	3.988	7.533	5.7605	23.043	26.588	24.8155	42.733	49.631	46.182	56.278	54.063	55.1705	21.714
3	60	3.545	3.545	1.329	4.875	3.102	25.259	24.816	25.0375	46.722	42.541	44.632	56.722	53.176	54.949	26.145
4	80	0.886	0.886	6.204	8.42	7.312	22.157	28.361	25.259	46.278	41.212	43.745	56.722	54.949	55.8355	26.588
5	100	2.216	2.216	6.647	5.318	5.9825	20.827	24.373	22.6	46.278	49.631	47.955	56.722	54.506	55.614	24.816
			1.861			6.0267			24.6384			46.094			55.2592	

Data : 3.5", -20, 30, 65 C

NO	WAKTU	SENSOR1	Tw1-in	SENSOR2	SENSOR3	Tw1-out	SENSOR4	SENSOR5	T~	SENSOR6	SENSOR7	Tw2-in	SENSOR8	SENSOR9	Tw2-out	SENSOR10
1	35	3.102	3.102	12.851	7.533	10.192	28.361	30.133	29.247	65.082	51.847	58.465	65.812	64.812	65.312	22.6
2	65	3.102	3.102	17.725	7.976	12.851	24.373	38.996	31.6845	48.686	56.278	52.482	65.812	64.698	65.255	27.031
3	155	3.545	3.545	18.612	7.533	13.073	30.576	38.553	34.5645	65.082	56.722	60.902	65.812	65.584	65.698	22.6
4	185	7.09	7.09	9.306	7.533	8.4195	28.361	38.996	33.6785	65.082	63.812	64.447	64.722	65.584	65.153	24.816
5	205	4.875	4.875	17.725	6.204	11.965	28.361	35.008	31.6845	64.639	56.722	60.681	64.722	65.357	65.0395	27.918
			4.343			11.3			32.1718			59.395			65.2915	

Data : 3.5", -20, 30

NO	WAKTU	SENSOR1	Tw1-in	SENSOR2	SENSOR3	Tw1-out	SENSOR4	SENSOR5	T~	SENSOR6	SENSOR7	Tw2-in	SENSOR8	SENSOR9	Tw2-out	SENSOR10
1	10	1.329	1.329	5.318	5.318	5.318	7.09	9.306	8.198	15.067	18.169	16.618	19.055	21.271	20.163	27.918
2	35	2.659	2.659	3.102	2.659	2.8805	6.204	10.635	8.4195	19.498	17.725	18.612	20.827	21.271	21.049	27.475
3	40	3.102	3.102	5.318	5.318	5.318	6.204	8.863	7.5335	18.612	18.169	18.391	21.271	23.043	22.157	27.475
4	45	0.886	0.886	4.875	3.545	4.21	4.875	8.42	6.6475	14.624	14.624	14.624	23.043	23.043	23.043	27.918
5	55	1.329	1.329	5.761	4.875	5.318	5.318	9.306	7.312	14.624	13.737	14.181	23.043	21.271	22.157	27.918
			1.861			4.6089			7.6221			16.485			21.7138	

Data : 3.5", -20, 60, 35 C

NO	WAKTU	SENSOR1	Tw1-in	SENSOR2	SENSOR3	Tw1-out	SENSOR4	SENSOR5	T~	SENSOR6	SENSOR7	Tw2-in	SENSOR8	SENSOR9	Tw2-out	SENSOR10
1	30	2.659	2.659	3.545	5.318	4.4315	13.737	17.725	15.731	35.894	31.463	33.679	34.522	35.508	35.015	22.6
2	90	3.545	3.545	1.773	3.545	2.659	11.965	14.18	13.0725	33.235	29.69	31.463	36.996	33.906	35.451	24.816
3	100	2.659	2.659	3.545	3.102	3.3235	15.953	16.839	16.396	40.769	35.451	28.11	34.349	36.439	35.394	27.031
4	115	2.659	2.659	2.443	3.102	2.7725	14.18	15.953	15.0665	41.655	27.918	34.787	35.451	35.008	35.2295	26.588
5	120	1.329	1.329	4.875	1.773	3.324	11.965	14.624	13.2945	41.655	31.463	36.559	34.349	35.996	35.1725	27.918
			2.57			3.3021			14.7121			34.919			35.2524	

Data : 3.5", -20, 60, 45 C

NO	WAKTU	SENSOR1	Tw1-in	SENSOR2	SENSOR3	Tw1-out	SENSOR4	SENSOR5	T~	SENSOR6	SENSOR7	Tw2-in	SENSOR8	SENSOR9	Tw2-out	SENSOR10
1	5	3.545	3.545	7.09	2.216	4.653	19.498	17.282	18.39	39.631	33.235	36.433	45.086	44.098	44.592	24.816
2	15	3.102	3.102	7.09	3.102	5.096	18.612	19.498	19.055	32.541	35.451	33.996	43.541	46.973	45.257	22.6
3	25	3.545	3.545	6.647	7.09	6.8685	16.396	15.953	16.1745	43.176	40.325	41.751	45.314	44.314	44.814	24.373
4	30	3.102	3.102	7.09	4.875	5.9825	19.941	19.055	19.498	39.631	35.451	37.541	45.643	45.098	45.3705	27.475
5	45	1.329	1.329	7.09	3.102	5.096	15.953	19.055	17.504	39.631	38.996	39.314	46.086	43.541	44.8135	27.918
			2.925			5.5392			18.1243			37.807			44.9694	

Data : 3.5", -20, 60, 55 C

NO	WAKTU	SENSOR1	Tw1-in	SENSOR2	SENSOR3	Tw1-out	SENSOR4	SENSOR5	T~	SENSOR6	SENSOR7	Tw2-in	SENSOR8	SENSOR9	Tw2-out	SENSOR10
1	10	1.773	1.773	6.647	7.533	7.09	26.145	21.271	23.708	57.357	40.325	48.841	55.722	54.278	55	27.918
2	65	2.216	2.216	7.533	6.204	6.8685	23.929	26.145	25.037	46.722	42.098	44.41	56.278	54.949	55.6135	24.373
3	165	5.318	5.318	4.875	10.635	7.755	19.941	27.475	23.708	44.506	42.541	43.524	55.722	54.506	55.114	28.361
4	215	1.329	1.329	3.102	3.102	3.102	23.043	26.588	24.8155	53.812	42.098	47.955	55.722	54.506	55.114	24.816
5	220	1.773	1.773	6.204	7.09	6.647	19.941	26.588	23.2645	53.812	46.086	49.949	55.722	54.063	54.8925	22.6
			2.482			6.2925			24.1066			46.936			55.1468	

Data : 3.5", -20, 60, 65 C

NO	WAKTU	SENSOR1	Tw1-in	SENSOR2	SENSOR3	Tw1-out	SENSOR4	SENSOR5	T-	SENSOR6	SENSOR7	Tw2-in	SENSOR8	SENSOR9	Tw2-out	SENSOR10
1	15	3.102	3.102	17.725	8.42	13.073	24.816	32.792	28.804	50.459	60.267	55.363	63.812	66.278	65.045	24.373
2	30	3.102	3.102	17.725	5.761	11.743	24.816	31.906	28.361	50.459	56.722	53.591	64.698	66.357	65.5275	28.361
3	155	3.102	3.102	17.725	7.976	12.851	30.576	28.804	29.69	50.902	56.278	53.59	64.357	65.722	65.0395	27.918
4	160	1.329	1.329	17.725	7.976	12.851	25.259	37.224	31.2415	48.686	60.267	54.477	64.357	65.722	65.0395	24.373
5	230	1.329	1.329	18.612	8.42	13.516	30.576	37.224	33.9	50.902	56.722	53.812	64.357	65.584	64.9705	24.373
			2.393			12.807			30.3993			54.166			65.1244	

Data : 3.5", -20, 60

NO	WAKTU	SENSOR1	Tw1-in	SENSOR2	SENSOR3	Tw1-out	SENSOR4	SENSOR5	T-	SENSOR6	SENSOR7	Tw2-in	SENSOR8	SENSOR9	Tw2-out	SENSOR10
1	5	2.659	2.659	1.773	5.318	3.5455	10.635	9.306	9.9705	19.498	15.51	17.504	22.6	25.259	23.9295	27.918
2	25	1.329	1.329	1.773	5.318	3.5455	3.102	8.863	5.9825	19.498	13.737	16.618	24.816	21.271	23.0435	27.918
3	40	3.545	3.545	2.659	1.773	2.216	7.09	8.863	7.9765	19.055	14.624	16.84	22.157	24.373	23.265	27.918
4	90	2.659	2.659	1.329	1.329	1.329	6.204	9.306	7.755	17.725	17.282	17.504	23.043	23.043	23.043	27.918
5	105	1.329	1.329	1.329	6.204	3.7665	6.204	9.306	7.755	17.725	17.282	17.504	22.157	24.816	23.4865	27.918
			2.304			2.8805			7.8879			17.194			23.3535	

Data : 3.5", -20, 90, 35 C

NO	WAKTU	SENSOR1	Tw1-in	SENSOR2	SENSOR3	Tw1-out	SENSOR4	SENSOR5	T-	SENSOR6	SENSOR7	Tw2-in	SENSOR8	SENSOR9	Tw2-out	SENSOR10
1	40	6.647	6.647	3.102	3.988	3.545	17.725	14.18	15.9525	27.918	34.565	31.242	35.008	35.008	35.008	27.918
2	70	3.102	3.102	3.102	3.102	3.102	18.612	13.737	16.1745	28.361	35.451	31.906	35.451	35.451	35.451	27.031
3	105	2.216	2.216	3.545	7.09	5.3175	14.18	11.965	13.0725	27.918	27.918	27.918	35.008	35.451	35.2295	27.475
4	135	2.216	2.216	10.635	1.329	5.982	14.624	13.294	13.959	27.918	31.906	29.912	35.008	34.996	35.002	24.373
5	150	3.102	3.102	1.773	5.318	3.5455	18.612	15.51	17.061	31.906	27.918	29.912	34.882	35.451	35.1665	21.714
			3.457			4.2984			15.2439			30.178			35.1714	

Data : 3.5", -20, 90, 45 C

NO	WAKTU	SENSOR1	Tw1-in	SENSOR2	SENSOR3	Tw1-out	SENSOR4	SENSOR5	T-	SENSOR6	SENSOR7	Tw2-in	SENSOR8	SENSOR9	Tw2-out	SENSOR10
1	10	3.545	3.545	7.09	6.204	6.647	15.51	15.953	15.7315	34.757	35.008	34.883	44.598	46.086	45.342	24.816
2	60	4.431	4.431	10.635	7.09	8.8625	17.725	19.941	18.833	32.541	40.769	36.655	46.529	44.086	45.3075	23.043
3	80	2.216	2.216	10.635	3.102	6.8685	15.51	15.51	15.51	41.404	41.212	41.308	46.086	44.086	45.086	27.918
4	215	4.431	4.431	6.204	7.09	6.647	17.725	19.498	18.6115	43.176	35.451	39.314	44.973	45.2	45.0865	26.588
5	245	7.09	7.09	10.635	3.988	7.3115	17.282	17.282	17.282	32.984	38.996	35.99	44.086	46.973	45.5295	22.6
			4.343			7.2673			17.1936			37.63			45.2703	

Data : 3.5", -20, 90, 55 C

NO	WAKTU	SENSOR1	Tw1-in	SENSOR2	SENSOR3	Tw1-out	SENSOR4	SENSOR5	T~	SENSOR6	SENSOR7	Tw2-in	SENSOR8	SENSOR9	Tw2-out	SENSOR10
1	5	1.329	1.329	3.102	7.533	5.3175	22.6	26.588	24.594	53.812	40.769	47.291	54.008	56.322	55.165	22.157
2	70	1.773	1.773	1.329	14.18	7.7545	21.271	26.588	23.9295	59.129	49.631	54.38	54.278	56.278	55.278	28.361
3	90	2.659	2.659	6.647	10.635	8.641	19.055	21.271	20.163	46.722	40.325	43.524	56.722	54.278	55.5	27.918
4	110	2.216	2.216	6.647	4.875	5.761	23.043	21.271	22.157	46.278	42.098	44.188	56.722	54.278	55.5	27.918
5	160	0.886	0.886	3.102	7.976	5.539	23.929	21.271	22.6	46.722	42.098	44.41	56.278	54.722	55.5	24.373
			1.773			6.6026			22.6887			46.758			55.3886	

Data : 3.5", -20, 90, 65 C

NO	WAKTU	SENSOR1	Tw1-in	SENSOR2	SENSOR3	Tw1-out	SENSOR4	SENSOR5	T~	SENSOR6	SENSOR7	Tw2-in	SENSOR8	SENSOR9	Tw2-out	SENSOR10
1	20	0.886	0.886	6.204	14.18	10.192	21.714	23.486	22.6	50.459	45.643	48.051	64.925	65.584	65.2545	28.361
2	65	4.875	4.875	8.42	7.976	8.198	27.918	28.361	28.1395	65.082	56.278	60.68	64.812	65.584	65.198	24.816
3	80	3.988	3.988	8.42	7.533	7.9765	21.714	27.918	24.816	50.902	56.722	53.812	64.812	65.584	65.198	22.6
4	175	6.204	6.204	9.749	7.976	8.8625	27.475	30.133	28.804	50.459	49.188	49.824	64.812	65.357	65.0845	27.475
5	185	7.09	7.09	5.318	7.533	6.4255	26.588	26.145	26.3665	50.459	49.188	49.824	64.812	65.8	65.306	22.6
			4.609			8.3309			26.1452			52.438			65.2082	

Data : 3.5", -20, 90

NO	WAKTU	SENSOR1	Tw1-in	SENSOR2	SENSOR3	Tw1-out	SENSOR4	SENSOR5	T~	SENSOR6	SENSOR7	Tw2-in	SENSOR8	SENSOR9	Tw2-out	SENSOR10
1	10	3.102	3.102	5.318	7.09	6.204	7.09	10.635	8.8625	20.384	19.498	19.941	23.043	24.373	23.708	27.918
2	40	3.545	3.545	3.988	3.102	3.545	4.875	7.09	5.9825	19.498	17.725	18.612	24.816	21.271	23.0435	27.918
3	70	2.216	2.216	3.988	3.102	3.545	5.318	8.42	6.869	17.725	18.612	18.169	24.816	20.827	22.8215	27.031
4	220	0.443	0.443	1.329	1.329	1.329	4.875	5.761	5.318	17.725	15.51	16.618	23.043	23.929	23.486	27.918
5	235	2.659	2.659	2.659	6.204	4.4315	7.533	5.761	6.647	17.725	15.51	16.618	23.486	24.816	24.151	27.918
			2.393			3.8109			6.7358			17.991			23.442	

SAMPLING DATA SUHU

Data : 3.5", -40, 30, 35 C

NO	WAKTU	SENSOR1	Tw1-in	SENSOR2	SENSOR3	Tw1-out	SENSOR4	SENSOR5	T~	SENSOR6	SENSOR7	Tw2-in	SENSOR8	SENSOR9	Tw2-out	SENSOR10
1	40	6.204	6.204	7.09	6.647	6.8685	17.725	15.51	16.6175	37.859	29.69	33.7745	35.008	35.451	35.2295	22.6
2	160	3.102	3.102	10.635	3.988	7.3115	15.51	17.282	16.396	32.098	35.894	33.996	34.996	35.008	35.002	27.475
3	185	5.761	5.761	7.09	7.09	7.09	17.725	14.624	16.1745	32.541	35.008	33.7745	35.008	35.008	35.008	22.6
4	230	1.329	1.329	7.09	7.09	7.09	18.612	15.067	16.8395	32.098	37.224	34.661	35.008	35.325	35.1665	27.918
5	240	5.761	5.761	7.533	4.875	6.204	18.612	17.282	17.947	26.337	35.894	31.1155	35.678	34.996	35.337	24.373
			4.4314			6.9128			16.795			33.464			35.1486	

Data : 3.5", -40, 30, 45 C

NO	WAKTU	SENSOR1	Tw1-in	SENSOR2	SENSOR	Tw1-out	SENSOR4	SENSOR5	T~	SENSOR6	SENSOR7	Tw2-in	SENSOR8	SENSOR9	Tw2-out	SENSOR10
1	65	1.773	1.773	3.102	10.635	6.8685	17.725	17.282	17.5035	39.188	37.224	38.206	44.541	45.541	45.041	28.804
2	85	8.863	8.863	7.09	6.204	6.647	21.271	17.282	19.2765	46.722	35.008	40.865	45.798	44.314	45.056	28.361
3	100	0.443	0.443	7.09	6.647	6.8685	19.055	18.612	18.8335	50.267	31.906	41.0865	45.098	45.2	45.149	22.6
4	180	2.216	2.216	3.102	2.659	2.8805	24.816	21.271	23.0435	52.039	42.541	47.29	45.086	46.086	45.586	22.6
5	230	1.329	1.329	6.204	5.318	5.761	23.929	27.918	25.9235	42.541	17.776	30.1585	45.098	45.2	45.149	26.588
			2.9248			5.8051			20.916			39.521			45.1962	

Data : 3.5", -40, 30, 55 C

NO	WAKTU	SENSOR1	Tw1-in	SENSOR2	SENSOR	Tw1-out	SENSOR4	SENSOR5	T~	SENSOR6	SENSOR7	Tw2-in	SENSOR8	SENSOR9	Tw2-out	SENSOR10
1	20	0.443	0.443	6.647	3.545	5.096	18.612	21.271	19.9415	46.722	49.631	48.1765	56.278	54.349	55.3135	27.475
2	25	1.329	1.329	4.875	3.102	3.9885	23.486	21.271	22.3785	46.278	42.098	44.188	56.722	54.349	55.5355	24.373
3	45	0.443	0.443	7.09	7.533	7.3115	24.816	21.271	23.0435	46.278	40.769	43.5235	56.722	54.063	55.3925	22.6
4	80	2.216	2.216	3.988	7.533	5.7605	22.6	21.714	22.157	46.722	46.086	46.404	56.722	53.62	55.171	22.6
5	110	0.443	0.443	5.318	10.635	7.9765	19.498	27.031	23.2645	53.812	42.098	47.955	56.278	54.506	55.392	27.918
			0.9748			6.0266			22.157			46.049			55.3609	

Data : 3.5", -40, 30, 65 C

NO	WAKTU	SENSOR1	Tw1-in	SENSOR2	SENSOR	Tw1-out	SENSOR4	SENSOR5	T~	SENSOR6	SENSOR7	Tw2-in	SENSOR8	SENSOR9	Tw2-out	SENSOR10
1	20	3.102	3.102	6.647	7.976	7.3115	29.69	31.02	30.355	56.914	56.722	56.818	63.812	67.357	65.5845	22.6
2	45	4.875	4.875	8.42	14.18	11.3	35.451	31.906	33.6785	74.639	48.302	61.4705	65.584	64.722	65.153	22.6
3	120	1.329	1.329	11.522	15.953	13.7375	31.906	27.918	29.912	67.992	49.188	58.59	65.357	65.357	65.357	27.475
4	200	1.773	1.773	5.761	8.863	7.312	28.361	28.361	28.361	60.459	56.722	58.5905	65.584	65.129	65.3565	22.6
5	245	2.659	2.659	5.761	7.976	6.8685	27.918	27.918	27.918	60.902	49.188	55.045	64.471	65.357	64.914	24.373
			2.7476			9.3059			30.045			58.103			65.273	

Data : 3.5", -40, 30

NO	WAKTU	SENSOR1	Tw1-in	SENSOR2	SENSOR	Tw1-out	SENSOR4	SENSOR5	T~	SENSOR6	SENSOR7	Tw2-in	SENSOR8	SENSOR9	Tw2-out	SENSOR10
1	5	1.773	1.773	6.647	3.545	5.096	7.533	7.09	7.3115	19.941	18.169	19.055	23.043	20.827	21.935	27.475
2	30	2.659	2.659	3.102	0.886	1.994	14.18	7.09	10.635	15.51	14.624	15.067	19.498	24.373	21.9355	27.918
3	50	2.659	2.659	3.102	0.886	1.994	4.875	6.647	5.761	18.612	15.067	16.8395	21.271	20.827	21.049	27.918
4	85	1.329	1.329	2.659	2.659	2.659	15.067	10.635	12.851	16.839	15.067	15.953	19.498	20.827	20.1625	27.918
5	95	3.102	3.102	8.863	0.886	4.8745	6.204	7.976	7.09	17.282	18.169	17.7255	24.816	21.271	23.0435	27.475
			2.3044			3.3235			8.7297			16.928			21.6251	

Data : 3.5", -40, 60, 35 C

NO	WAKTU	SENSOR1	Tw1-in	SENSOR2	SENSOR	Tw1-out	SENSOR4	SENSOR5	T~	SENSOR6	SENSOR7	Tw2-in	SENSOR8	SENSOR9	Tw2-out	SENSOR10
1	35	5.318	5.318	7.09	4.102	5.596	15.067	15.51	15.2885	32.541	28.361	30.451	35.451	35.008	35.2295	28.361
2	125	3.545	3.545	4.431	6.204	5.3175	18.612	14.624	16.618	32.541	31.463	32.002	35.008	35.008	35.008	25.702
3	150	3.102	3.102	7.09	1.329	4.2095	15.953	17.282	16.6175	28.553	35.451	32.002	35.098	35.451	35.2745	24.816
4	170	3.545	3.545	10.635	6.204	8.4195	17.725	18.612	18.1685	32.541	35.451	33.996	35.008	35.008	35.008	24.373
5	205	3.102	3.102	4.875	3.545	4.21	17.725	17.725	17.725	36.973	31.463	34.218	34.965	35.008	34.9865	24.816
			3.7224			5.5505			16.884			32.534			35.1013	

Data : 3.5", -40, 60, 45 C

NO	WAKTU	SENSOR1	Tw1-in	SENSOR2	SENSOR	Tw1-out	SENSOR4	SENSOR5	T~	SENSOR6	SENSOR7	Tw2-in	SENSOR8	SENSOR9	Tw2-out	SENSOR10
1	65	6.204	6.204	11.078	3.102	7.09	22.157	18.612	20.3845	34.757	46.086	40.4215	48.745	42.541	45.643	27.918
2	50	7.09	7.09	3.102	6.204	4.653	21.271	19.055	20.163	46.722	38.553	42.6375	46.973	43.541	45.257	28.361
3	70	7.09	7.09	15.067	7.976	11.5215	23.486	21.271	22.3785	35.643	42.541	39.092	43.859	46.086	44.9725	22.6
4	85	3.988	3.988	11.078	6.204	8.641	22.157	23.043	22.6	43.176	36.337	39.7565	45.098	45.098	45.098	22.6
5	125	3.545	3.545	8.42	7.533	7.9765	20.827	18.169	19.498	34.757	42.541	38.649	46.086	44.541	45.3135	23.043
			5.5834			7.9764			21.005			40.111			45.2568	

Data : 3.5", -40, 60, 55 C

NO	WAKTU	SENSOR1	Tw1-in	SENSOR2	SENSOR	Tw1-out	SENSOR4	SENSOR5	T~	SENSOR6	SENSOR7	Tw2-in	SENSOR8	SENSOR9	Tw2-out	SENSOR10
1	15	0.886	0.886	7.09	5.761	6.4255	21.271	20.384	20.8275	46.278	42.541	44.4095	54.722	55.835	55.2785	27.918
2	25	1.773	1.773	4.875	3.102	3.9885	21.271	20.827	21.049	46.278	49.188	47.733	55.835	54.949	55.392	22.6
3	110	1.329	1.329	6.204	3.102	4.653	19.498	24.816	22.157	46.722	39.882	43.302	55.835	54.188	55.0115	27.918
4	120	2.659	2.659	6.204	5.313	5.761	24.373	21.271	22.822	46.722	42.541	44.6315	54.643	55.392	55.0175	24.816
5	185	0.886	0.886	7.09	4.875	5.9825	24.816	20.827	22.8215	46.278	39.882	43.08	56.278	54.206	55.242	24.816
			1.5066			5.3621			21.935			44.631			55.1883	

Data : 3.5" -40, 60, 65 C

NO	WAKTU	SENSOR1	Tw1-in	SENSOR2	SENSOR	Tw1-out	SENSOR4	SENSOR5	T~	SENSOR6	SENSOR7	Tw2-in	SENSOR8	SENSOR9	Tw2-out	SENSOR10
1	120	5.318	5.318	8.42	7.976	8.198	33.235	27.918	30.5765	57.992	67.357	62.6745	65.584	64.357	64.9705	28.361
2	175	5.318	5.318	7.976	5.761	6.8685	28.361	24.373	26.367	64.196	67.357	65.7765	65.584	64.357	64.9705	23.043
3	195	3.545	3.545	11.078	7.533	9.3055	27.918	29.69	28.804	57.992	63.812	60.902	64.812	65.912	65.362	24.816
4	205	7.09	7.09	11.078	5.761	8.4195	27.918	27.918	46.914	63.812	55.363	64.812	65.912	65.362	24.373	
5	245	1.773	1.773	15.067	8.42	11.7435	33.678	30.133	31.9055	46.914	63.812	55.363	65.971	63.812	64.8915	22.6
			4.6088			8.907			29.114			60.016			65.1113	

Data : 3.5" -40, 60

NO	WAKTU	SENSOR1	Tw1-in	SENSOR2	SENSOR	Tw1-out	SENSOR4	SENSCR5	T~	SENSOR6	SENSOR7	Tw2-in	SENSOR8	SENSOR9	Tw2-out	SENSOR10
1	50	1.329	1.329	5.318	0.886	3.102	5.761	7.09	6.4255	18.169	17.725	17.947	21.271	21.271	21.271	27.918
2	85	2.659	2.659	6.204	1.329	3.7665	6.204	8.863	7.5335	17.725	17.725	17.725	24.373	19.055	21.714	27.918
3	95	1.329	1.329	3.102	3.102	3.102	4.875	8.42	6.6475	19.498	17.282	18.39	21.271	22.157	21.714	27.918
4	170	2.659	2.659	3.102	1.773	2.4375	7.976	7.976	15.51	14.18	14.845	19.055	19.498	19.2765	27.918	
5	175	0.443	0.443	3.102	1.329	2.2155	6.204	6.204	6.204	15.51	18.612	17.061	24.373	21.271	22.822	27.918
			1.6838			2.9247			6.9573			17.194			21.3595	

Data : 3.5" -40, 90, 35 C

NO	WAKTU	SENSOR1	Tw1-in	SENSOR2	SENSOR	Tw1-out	SENSOR4	SENSCR5	T~	SENSOR6	SENSOR7	Tw2-in	SENSOR8	SENSOR9	Tw2-out	SENSOR10
1	60	6.204	6.204	7.09	7.09	7.09	14.624	19.055	16.8395	26.78	35.008	30.894	35.008	35.678	35.343	23.486
2	80	3.545	3.545	10.635	6.204	8.4195	17.725	19.498	18.6115	28.553	35.451	32.002	35.008	35.235	35.1215	27.475
3	160	0.443	0.443	4.875	7.09	5.9825	17.725	17.282	17.5035	24.565	31.463	28.014	34.996	35.451	35.2235	23.043
4	190	4.875	4.875	6.647	5.318	5.9825	15.51	17.725	16.6175	31.655	35.451	33.553	35.008	35.02	35.014	27.918
5	220	5.318	5.318	10.635	6.204	8.4195	13.294	17.282	15.288	32.541	35.008	33.7745	35.451	34.906	35.1785	24.373
			4.077			7.1788			16.972			31.648			35.1761	

Data : 3.5" -40, 90, 45 C

NO	WAKTU	SENSOR1	Tw1-in	SENSOR2	SENSOR	Tw1-out	SENSOR4	SENSCR5	T~	SENSOR6	SENSOR7	Tw2-in	SENSOR8	SENSOR9	Tw2-out	SENSOR10
1	35	3.545	3.545	6.647	6.204	6.4255	23.043	21.271	22.157	46.722	33.678	40.2	46.086	44.541	45.3135	26.588
2	15	3.545	3.545	4.875	6.204	5.5395	21.271	18.169	19.72	35.643	35.008	35.3255	45.541	44.541	45.041	23.043
3	50	1.773	1.773	7.09	7.533	7.3115	23.486	20.827	22.1565	46.722	34.122	40.422	45.541	44.541	45.041	24.816
4	55	4.875	4.875	6.647	5.318	5.9825	18.169	23.043	20.606	46.722	38.996	42.859	45.541	44.541	45.041	22.157
5	70	7.09	7.09	12.408	7.09	9.749	23.486	21.271	22.3785	35.643	42.541	39.092	45.541	44.655	45.098	22.6
			4.1656			7.0016			21.404			39.58			45.1069	

Data : 3.5", -40, 90, 55 C

NO	WAKTU	SENSOR1	Tw1-in	SENSCR2	SENSOR	Tw1-out	SENSOR4	SENSOR5	T~	SENSOR6	SENSOR7	Tw2-in	SENSOR8	SENSOR9	Tw2-out	SENSOR10
1	60	1.773	1.773	3.545	5.761	4.653	20.827	21.271	21.049	60.902	42.541	51.7215	55.835	54.278	55.0565	24.373
2	70	0.443	0.443	7.09	10.635	8.8625	21.714	24.816	23.265	47.165	48.745	47.955	55.835	54.278	55.0565	22.6
3	90	0.886	0.886	3.102	6.204	4.653	21.271	21.271	21.271	57.357	42.541	49.949	54.949	54.278	54.6135	27.475
4	125	3.545	3.545	4.431	7.533	5.982	20.827	21.271	21.049	47.165	40.325	43.745	56.278	54.278	55.278	27.918
5	140	2.659	2.659	7.09	8.42	7.755	18.169	19.055	18.612	60.902	42.098	51.5	53.722	56.722	55.222	22.6
			1.8612			6.3811			21.049			48.974			55.0453	

Data : 3.5", -40, 90, 65 C

NO	WAKTU	SENSOR1	Tw1-in	SENSCR2	SENSOR	Tw1-out	SENSOR4	SENSOR5	T~	SENSOR6	SENSOR7	Tw2-in	SENSOR8	SENSOR9	Tw2-out	SENSOR10
1	60	2.659	2.659	9.749	3.988	6.8685	27.918	28.361	28.1395	65.082	49.188	57.135	64.812	65.357	65.0845	28.361
2	110	2.659	2.659	5.761	3.988	4.8745	28.361	29.247	28.804	65.082	56.722	60.902	64.812	65.8	65.306	28.361
3	180	0.443	0.443	6.647	14.18	10.4135	26.145	24.373	25.259	49.573	59.38	54.4765	64.812	65.357	65.0845	23.043
4	190	1.773	1.773	9.749	7.533	8.641	28.361	28.361	28.361	65.082	56.722	60.902	64.812	65.129	64.9705	27.918
5	190	1.773	1.773	9.749	7.533	8.641	28.361	28.361	28.361	65.082	56.722	60.902	64.812	65.129	64.9705	27.918
			1.8614			7.8877			27.785			58.864			65.0832	

Data : 3.5", -40, 90

NO	WAKTU	SENSOR1	Tw1-in	SENSCR2	SENSOR	Tw1-out	SENSOR4	SENSOR5	T~	SENSOR6	SENSOR7	Tw2-in	SENSOR8	SENSOR9	Tw2-out	SENSOR10
1	10	1.329	1.329	3.102	2.216	2.659	6.204	8.863	7.5335	19.498	18.612	19.055	23.486	20.827	22.1565	27.918
2	15	2.216	2.216	4.875	1.329	3.102	4.875	6.647	5.761	18.169	18.612	18.3905	23.486	19.055	21.2705	27.918
3	20	2.216	2.216	6.204	1.329	3.7665	5.318	5.318	5.318	18.169	15.953	17.061	23.929	23.043	23.486	27.918
4	55	1.329	1.329	5.318	0.443	2.8805	7.09	6.204	6.647	18.612	15.067	16.8395	19.055	23.043	21.049	27.918
5	110	1.329	1.329	0.443	5.318	2.8805	14.18	8.42	11.3	17.282	17.725	17.5035	20.827	23.486	22.1565	27.918
			1.6838			3.0577			7.3119			17.77			22.0237	

SAMPLING DATA SUHU

Data : 3.5", -60, 30, 35 C

NO	WAKTU	SENSOR1	Tw1-in	SENSOR2	SENSOR3	Tw1-out	SENSOR4	SENSOR5	T-	SENSOR6	SENSOR7	Tw2-in	SENSOR8	SENSOR9	Tw2-out	SENSOR10
1	45	1.773	1.773	5.318	2.659	3.9885	15.51	14.624	15.067	28.553	31.463	30.008	34.906	35.678	35.292	22.6
2	95	1.773	1.773	7.09	3.545	5.3175	15.067	18.169	16.618	27.224	29.247	28.236	35.235	35.008	35.1215	24.816
3	105	1.773	1.773	4.875	3.545	4.21	13.737	18.169	15.953	28.553	30.133	29.343	34.906	35.451	35.1785	24.816
4	160	1.329	1.329	7.533	2.216	4.8745	12.851	14.624	13.738	25.894	29.69	27.792	35.224	35.008	35.116	27.918
5	200	3.545	3.545	3.102	5.318	4.21	14.18	17.725	15.953	25.451	35.451	30.451	35.451	34.996	35.2235	24.816
			2.0386			4.5201			15.466			29.166			35.1863	

Data : 3.5", -60, 30, 45 C

NO	WAKTU	SENSOR1	Tw1-in	SENSOR2	SENSOR3	Tw1-out	SENSOR4	SENSOR5	T-	SENSOR6	SENSOR7	Tw2-in	SENSOR8	SENSOR9	Tw2-out	SENSOR10
1	10	4.09	4.09	7.533	2.659	5.096	23.043	21.271	22.157	46.722	33.678	40.2	43.541	46.973	45.257	27.918
2	125	3.545	3.545	5.318	6.647	5.9825	23.043	23.043	23.043	46.278	36.337	41.308	46.086	44.098	45.092	27.031
3	135	1.773	1.773	5.761	2.216	3.9885	23.043	20.827	21.935	42.733	44.314	43.524	46.973	43.541	45.257	26.588
4	215	5.635	5.635	5.761	8.863	7.312	22.157	18.169	20.163	39.188	46.086	42.637	46.086	43.541	44.8135	24.373
5	235	3.102	3.102	5.761	4.875	5.318	18.612	21.271	19.942	42.733	42.541	42.637	44.541	45.439	44.99	27.918
			3.629			5.5394			21.448			42.061			45.0819	

Data : 3.5", -60, 30, 55 C

NO	WAKTU	SENSOR1	Tw1-in	SENSOR2	SENSOR3	Tw1-out	SENSOR4	SENSOR5	T-	SENSOR6	SENSOR7	Tw2-in	SENSOR8	SENSOR9	Tw2-out	SENSOR10
1	15	1.773	1.773	3.102	2.659	2.8805	19.498	17.725	18.612	46.278	50.518	48.398	56.722	53.278	55	23.486
2	20	1.329	1.329	5.318	3.988	4.653	24.373	17.282	20.828	48.051	49.631	48.841	56.278	54.278	55.278	23.486
3	50	3.545	3.545	7.09	3.545	5.3175	21.271	21.271	21.271	46.722	49.631	48.177	54.722	55.722	55.222	24.373
4	110	1.329	1.329	3.988	4.431	4.2095	20.827	22.6	21.714	57.357	39.882	48.62	53.722	56.722	55.222	27.918
5	215	1.329	1.329	3.102	5.761	4.4315	20.827	19.498	20.163	46.722	42.541	44.632	53.278	56.722	55	22.6
			1.861			4.2984			20.517			47.733			55.1444	

Data : 3.5", -60, 30, 65 C

NO	WAKTU	SENSOR1	Tw1-in	SENSOR2	SENSOR3	Tw1-out	SENSOR4	SENSOR5	T-	SENSOR6	SENSOR7	Tw2-in	SENSOR8	SENSOR9	Tw2-out	SENSOR10
1	65	2.216	2.216	6.647	3.102	4.8745	30.576	27.918	29.247	67.992	47.416	57.704	65.584	64.722	65.153	28.361
2	95	0.443	0.443	7.533	4.875	6.204	27.918	27.918	27.918	67.992	49.188	58.59	65.584	64.722	65.153	29.247
3	195	0.886	0.886	6.204	6.647	6.4255	28.361	27.918	28.14	56.914	56.722	56.818	65.812	64.812	65.312	24.373
4	215	2.216	2.216	6.204	6.647	6.4255	28.361	22.6	25.481	56.914	46.529	51.722	65.698	64.698	65.198	28.361
5	250	3.102	3.102	6.204	4.875	5.5395	26.145	27.918	27.032	60.902	56.722	58.812	64.255	66.471	65.363	28.804
			1.7726			5.8938			27.563			56.729			65.2358	

Data : 3.5", -60, 30

NO	WAKTU	SENSOR1	Tw1-in	SENSOR2	SENSOR3	Tw1-out	SENSOR4	SENSOR5	T~	SENSOR6	SENSOR7	Tw2-in	SENSOR8	SENSOR9	Tw2-out	SENSOR10
1	10	2.659	2.659	2.659	3.545	3.102	14.18	7.976	11.078	15.953	14.624	15.289	21.271	19.941	20.606	27.918
2	45	0.443	0.443	6.647	1.773	4.21	6.204	8.42	7.312	17.725	18.169	17.947	21.271	23.929	22.6	27.918
3	80	1.773	1.773	5.318	3.545	4.4315	6.647	7.533	7.09	19.498	14.624	17.061	23.929	21.271	22.6	27.918
4	165	1.329	1.329	3.988	2.216	3.102	6.204	10.635	8.4195	15.51	18.169	16.84	23.043	19.055	21.049	27.918
5	170	3.545	3.545	7.533	1.773	4.653	10.635	5.761	8.198	19.055	15.067	17.061	24.816	19.055	21.9355	23.043
			1.9498			3.8997			8.4195			16.839			21.7581	

Data : 3.5", -60, 60, 35 C

NO	WAKTU	SENSOR1	Tw1-in	SENSOR2	SENSOR3	Tw1-out	SENSOR4	SENSOR5	T~	SENSOR6	SENSOR7	Tw1-in	SENSOR8	SENSOR9	Tw2-out	SENSOR10
1	95	1.329	1.329	7.533	1.329	4.431	17.725	17.725	17.725	32.098	29.69	30.894	34.349	35.451	34.9	27.918
2	120	2.659	2.659	5.318	6.647	5.9825	15.067	16.839	15.953	32.098	29.69	30.894	35.349	35.008	35.1785	27.918
3	140	2.216	2.216	5.318	2.216	3.767	17.725	17.725	17.725	28.553	29.69	29.122	34.906	35.451	35.1785	24.373
4	195	0.886	0.886	6.204	4.875	5.5395	15.953	18.169	17.061	30.325	31.463	30.894	35.451	35.451	35.451	28.361
5	215	2.659	2.659	5.318	5.318	5.318	17.282	18.612	17.947	30.325	29.247	29.786	35.008	35.349	35.1785	24.373
			1.9498			5.0076			17.282			30.318			35.1773	

Data : 3.5", -60, 60, 45 C

NO	WAKTU	SENSOR1	Tw1-in	SENSOR2	SENSOR3	Tw1-out	SENSOR4	SENSOR5	T~	SENSOR6	SENSOR7	Tw2-in	SENSOR8	SENSOR9	Tw2-out	SENSOR10
1	20	1.329	1.329	7.533	1.329	4.431	19.055	21.271	20.163	42.733	42.541	42.637	46.086	44.541	45.3135	27.918
2	90	1.329	1.329	15.067	6.647	10.857	19.055	19.055	19.055	39.188	42.541	40.865	46.973	43.882	45.4275	24.816
3	180	1.329	1.329	7.533	5.761	6.647	23.929	22.6	23.265	40.961	45.2	43.081	44.098	46.086	45.092	23.486
4	240	1.329	1.329	8.42	5.318	6.869	22.157	19.055	20.606	46.278	36.78	41.529	44.098	46.086	45.092	27.918
5	245	3.545	3.545	6.204	5.318	5.761	23.043	21.271	22.157	40.075	42.541	41.308	44.745	46.086	45.4155	27.918
			1.7722			6.913			21.049			41.884			45.2681	

Data : 3.5", -60, 60, 55 C

NO	WAKTU	SENSOR1	Tw1-in	SENSOR2	SENSOR3	Tw1-out	SENSOR4	SENSOR5	T~	SENSOR6	SENSOR7	Tw2-in	SENSOR8	SENSOR9	Tw2-out	SENSOR10
1	30	5.318	5.318	6.204	5.318	5.761	24.816	26.588	25.702	47.165	42.541	44.853	55.278	54.722	55	23.486
2	35	5.318	5.318	8.42	5.318	6.869	21.271	20.827	21.049	49.824	50.075	49.95	54.949	55.722	55.3355	23.043
3	75	7.533	7.533	14.18	7.09	10.635	20.384	21.714	21.049	48.051	42.098	45.075	54.278	55.722	55	28.361
4	120	5.318	5.318	5.318	5.318	5.318	25.702	22.6	24.151	46.722	49.631	48.177	54.722	56.278	55.5	27.918
5	125	5.318	5.318	6.647	5.318	5.9825	26.588	24.373	25.481	46.722	40.769	43.746	54.722	55.722	55.222	23.043
			5.761			6.9131			23.486			46.36			55.2115	

Data : 3.5", -60, 60, 65 C

NO	WAKTU	SENSOR1	Tw1-in	SENSOR2	SENSOR3	Tw1-out	SENSOR4	SENSOR5	T-	SENSOR6	SENSOR7	Tw2-in	SENSOR8	SENSOR9	Tw2-out	SENSOR10
1	15	6.204	6.204	5.761	7.533	6.647	28.361	28.361	28.361	63.812	56.722	60.267	65.812	64.698	65.255	24.816
2	85	6.204	6.204	7.533	6.204	6.8685	28.361	27.918	28.14	64.698	56.722	60.71	64.698	65.812	65.255	24.373
3	180	1.329	1.329	3.988	3.102	3.545	25.259	24.816	25.038	64.698	56.722	60.71	64.698	65.812	65.255	28.361
4	235	6.204	6.204	5.318	7.09	6.204	26.145	27.918	27.032	63.812	56.278	60.045	64.812	65.812	65.312	27.918
5	250	0.443	0.443	11.078	3.545	7.3115	26.145	27.918	27.032	63.812	56.278	60.045	64.812	65.584	65.198	28.361
			4.0768			6.1152			27.12			60.355			65.255	

Data : 3.5", -60, 60

NO	WAKTU	SENSOR1	Tw1-in	SENSOR2	SENSOR3	Tw1-out	SENSOR4	SENSOR5	T-	SENSOR6	SENSOR7	Tw2-in	SENSOR8	SENSOR9	Tw2-out	SENSOR10
1	55	0.886	0.886	2.659	2.659	2.659	14.18	3.988	9.084	19.498	17.725	18.612	20.827	19.941	20.384	27.031
2	80	0	0	3.545	0.443	1.994	7.09	8.863	7.9765	20.384	19.055	19.72	20.827	21.271	21.049	27.475
3	90	1.329	1.329	3.102	3.988	3.545	4.875	7.976	6.4255	17.282	17.282	17.282	23.929	19.941	21.935	27.475
4	130	0.886	0.886	1.329	1.329	1.329	6.204	9.306	7.755	15.51	17.282	16.396	21.271	23.043	22.157	27.918
5	135	1.329	1.329	7.09	3.545	5.3175	1.329	7.976	4.6525	19.498	15.953	17.726	23.043	21.271	22.157	27.475
			0.886			2.9689			7.1787			17.947			21.5364	

Data : 3.5", -60, 90, 35 C

NO	WAKTU	SENSOR1	Tw1-in	SENSOR2	SENSOR3	Tw1-out	SENSOR4	SENSOR5	T-	SENSOR6	SENSOR7	Tw2-in	SENSOR8	SENSOR9	Tw2-out	SENSOR10
1	30	2.659	2.659	1.329	1.329	1.329	14.624	16.839	15.732	27.541	27.918	27.73	35.451	34.349	34.9	23.043
2	35	1.773	1.773	5.318	5.318	5.318	17.725	16.839	17.282	27.098	28.804	27.951	34.463	35.008	34.7355	24.373
3	140	0.886	0.886	6.647	6.647	6.647	16.839	14.18	15.51	27.098	29.247	28.173	34.576	35.451	35.0135	27.918
4	155	0.443	0.443	4.875	4.875	4.875	17.725	15.953	16.839	27.098	28.361	27.73	35.02	35.008	35.014	28.361
5	200	1.773	1.773	0.886	0.886	0.886	15.067	16.839	15.953	27.541	36.337	31.939	35.451	35.349	35.4	23.043
			1.5068			3.811			16.263			28.704			35.0126	

Data : 3.5", -60, 90, 45 C

NO	WAKTU	SENSOR1	Tw1-in	SENSOR2	SENSOR3	Tw1-out	SENSOR4	SENSOR5	T-	SENSOR6	SENSOR7	Tw2-in	SENSOR8	SENSOR9	Tw2-out	SENSOR10
1	90	3.102	3.102	3.102	0.443	1.7725	21.271	18.169	19.72	51.153	38.553	44.853	44.314	46.086	45.2	23.043
2	195	2.216	2.216	5.318	7.09	6.204	22.6	23.043	22.822	46.722	42.098	44.41	44.314	46.859	45.5865	27.475
3	200	1.329	1.329	3.102	3.988	3.545	21.271	20.827	21.049	42.733	38.553	40.643	46.086	44.098	45.092	24.816
4	205	1.773	1.773	14.18	3.102	8.641	21.271	18.612	19.942	40.961	42.541	41.751	46.086	44.325	45.2055	26.588
5	245	3.102	3.102	3.102	2.659	2.8805	18.169	18.169	18.169	40.961	46.973	43.967	46.086	44.859	45.4725	27.475
			2.3044			4.6086			20.34			43.125			45.3113	

Data : 3.5", -60, 90, 55 C

NO	WAKTU	SENSOR1	Tw1-in	SENSOR2	SENSOR3	Tw1-out	SENSOR4	SENSOR5	T-	SENSOR6	SENSOR7	Tw2-in	SENSOR8	SENSOR9	Tw2-out	SENSOR10
1	15	1.329	1.329	5.318	6.204	5.761	19.941	20.827	20.384	57.357	50.518	53.938	53.176	56.722	54.949	24.373
2	25	3.102	3.102	7.533	6.204	6.8685	20.384	21.714	21.049	60.902	41.212	51.057	56.722	53.722	55.222	23.486
3	45	6.647	6.647	8.42	5.318	6.869	21.271	26.588	23.93	46.722	51.404	49.063	55.835	53.722	54.7785	28.361
4	65	5.318	5.318	14.18	1.329	7.7545	21.271	26.588	23.93	60.902	42.541	51.722	54.278	56.722	55.5	23.486
5	115	5.318	5.318	7.976	4.875	6.4255	24.816	21.714	23.265	53.369	50.518	51.944	56.722	54.278	55.5	24.816
			4.3428			6.7357			22.511			51.545			55.1899	

Data : 3.5", -60, 90, 65 C

NO	WAKTU	SENSOR1	Tw1-in	SENSOR2	SENSOR3	Tw1-out	SENSOR4	SENSOR5	T-	SENSOR6	SENSOR7	Tw2-in	SENSOR8	SENSOR9	Tw2-out	SENSOR10
1	25	0	0	7.533	5.318	6.4255	29.247	31.906	30.577	54.004	56.278	55.141	65.584	64.902	65.243	28.361
2	75	1.329	1.329	6.204	7.09	6.647	28.361	30.133	29.247	64.196	56.722	60.459	65.584	64.278	64.931	22.6
3	135	1.773	1.773	6.204	5.318	5.761	32.792	27.918	30.355	62.867	58.494	60.681	64.722	65.584	65.153	23.043
4	230	1.773	1.773	6.204	5.318	5.761	31.906	27.918	29.912	64.639	58.494	61.567	64.267	66.357	65.312	28.804
5	245	2.216	2.216	5.318	5.318	5.318	27.918	28.361	28.14	65.082	56.722	60.902	63.847	67.357	65.602	23.486
			1.4182			5.9825			29.646			59.75			65.2482	

Data : 3.5", -60, 90

NO	WAKTU	SENSOR1	Tw1-in	SENSOR2	SENSOR3	Tw1-out	SENSOR4	SENSOR5	T-	SENSOR6	SENSOR7	Tw2-in	SENSOR8	SENSOR9	Tw2-out	SENSOR10
1	25	2.659	2.659	3.102	3.545	3.3235	7.976	7.533	7.7545	19.498	15.51	17.504	24.816	25.259	25.0375	27.475
2	85	1.329	1.329	3.545	3.102	3.3235	11.078	14.18	12.629	20.384	17.282	18.833	25.259	20.827	23.043	27.031
3	90	2.659	2.659	3.988	2.216	3.102	5.318	8.42	6.869	20.384	17.725	19.055	21.271	21.271	21.271	27.918
4	130	0.443	0.443	5.761	1.329	3.545	7.533	6.647	7.09	20.827	19.498	20.163	24.816	21.271	23.0435	27.475
5	160	0.886	0.886	1.773	1.329	1.551	7.533	15.953	11.743	19.941	17.725	18.833	20.827	19.941	20.384	27.475
			1.5952			2.969			9.2171			18.877			22.5558	

DATA SUHU

Data : 3", -20, 30, 35 C

NO	WAKTU	SENSOR1	Tw1-in	SENSOR2	SENSOR3	Tw1-out	SENSOR4	SENSOR5	T-	SENSOR6	SENSOR7	Tw2-in	SENSOR8	SENSOR9	Tw2-out	SENSOR10
1	5	1.329	1.329	3.102	7.09	5.096	14.18	7.976	11.078	36.337	31.463	33.9	35.008	35.451	35.2295	27.918
2	70	0.886	0.886	2.216	1.329	1.7725	13.737	7.976	10.857	29.69	37.224	33.457	35.008	35.451	35.2295	27.918
3	80	1.773	1.773	3.545	7.09	5.3175	15.953	10.635	13.294	28.804	35.451	32.1275	35.451	34.224	34.8375	28.361
4	95	0.886	0.886	3.102	3.545	3.3235	14.18	11.522	12.851	36.337	31.02	33.6785	35.008	35.451	35.2295	28.361
5	115	1.773	1.773	2.216	1.329	1.7725	16.396	9.749	13.073	31.906	30.576	31.241	34.996	35.451	35.2235	27.918
			1.3294			3.4564			12.23			32.8808			35.1499	

Data : 3", -20, 30, 45 C

NO	WAKTU	SENSOR1	Tw1-in	SENSOR2	SENSOR3	Tw1-out	SENSOR4	SENSOR5	T-	SENSOR6	SENSOR7	Tw2-in	SENSOR8	SENSOR9	Tw2-out	SENSOR10
1	10	1.773	1.773	7.09	7.09	7.09	21.271	12.851	17.061	38.553	37.224	37.8885	43.541	46.973	45.257	27.918
2	20	1.329	1.329	3.102	7.09	5.096	21.271	13.737	17.504	47.859	42.098	44.9785	46.416	44.098	45.257	28.361
3	50	0.443	0.443	6.204	6.647	6.4255	22.157	13.737	17.947	46.086	42.098	44.092	45.631	44.098	44.8645	28.361
4	70	1.329	1.329	1.329	3.102	2.2155	17.725	11.078	14.402	46.086	41.212	43.649	44.325	45.631	44.978	24.373
5	95	1.329	1.329	3.988	6.647	5.3175	17.725	11.078	14.402	42.541	42.541	42.541	45.098	45.404	45.251	27.918
			1.2406			5.2289			16.263			42.6298			45.1215	

Data : 3", -20, 30, 55 C

NO	WAKTU	SENSOR1	Tw1-in	SENSOR2	SENSOR3	Tw1-out	SENSOR4	SENSOR5	T-	SENSOR6	SENSOR7	Tw2-in	SENSOR8	SENSOR9	Tw2-out	SENSOR10
1	10	2.659	2.659	14.624	7.976	11.3	24.373	32.349	28.361	53.722	52.722	53.222	54.949	56.278	55.6135	29.247
2	110	1.329	1.329	9.749	5.318	7.5335	27.031	33.235	30.133	53.722	52.278	53	54.949	56.278	55.6135	24.373
3	135	1.773	1.773	14.624	7.976	11.3	22.6	32.792	27.696	53.722	52.722	53.222	55.835	54.812	55.3235	24.373
4	215	1.329	1.329	14.18	5.761	9.9705	23.043	27.918	25.481	55.937	46.961	51.449	54.063	56.722	55.3925	27.918
5	230	0.443	0.443	17.725	7.976	12.851	27.918	27.918	27.918	44.416	52.278	48.347	53.176	56.722	54.949	29.247
			1.5066			10.591			27.918			51.848			55.3784	

Data : 3", -20, 30, 65 C

NO	WAKTU	SENSOR1	Tw1-in	SENSOR2	SENSOR3	Tw1-out	SENSOR4	SENSOR5	T-	SENSOR6	SENSOR7	Tw2-in	SENSOR8	SENSOR9	Tw2-out	SENSOR10
1	15	3.863	3.863	17.725	7.976	12.851	28.361	31.906	30.134	58.278	65.584	61.931	66.608	64.278	65.443	27.918
2	25	3.863	3.863	9.749	5.761	7.755	24.816	31.906	28.361	58.278	63.812	61.045	65.722	64.278	65	24.373
3	40	3.863	3.863	14.624	7.976	11.3	27.918	35.894	31.906	62.267	56.722	59.4945	65.722	64.278	65	23.486
4	140	3.863	3.863	6.647	14.18	10.414	27.918	33.678	30.798	58.722	56.722	57.722	65.722	64.812	65.267	24.373
5	150	2.09	2.09	9.306	7.976	8.641	22.157	28.804	25.481	62.267	56.722	59.4945	65.722	64.812	65.267	28.361
			3.5084			10.192			29.336			59.9374			65.1954	

Data : 3", -20, 30

NO	WAKTU	SENSOR1	Tw1-in	SENSOR2	SENSOR3	Tw1-out	SENSOR4	SENSOR5	T~	SENSOR6	SENSOR7	Tw2-in	SENSOR8	SENSOR9	Tw2-out	SENSOR10
1	20	1.773	1.773	3.102	2.659	2.8805	5.761	3.102	4.4315	20.384	18.612	19.498	23.043	19.055	21.049	27.918
2	25	0.886	0.886	1.329	1.773	1.551	8.42	8.42	8.42	15.953	20.827	18.39	19.055	23.929	21.492	27.918
3	35	1.329	1.329	7.09	2.659	4.8745	7.976	2.659	5.3175	19.941	17.725	18.833	19.055	22.157	20.606	27.918
4	75	0.886	0.886	3.545	1.329	2.437	5.318	5.318	5.318	19.941	20.384	20.1625	19.498	23.929	21.7135	27.918
5	115	1.773	1.773	3.545	1.329	2.437	7.976	7.533	7.7545	19.941	16.396	18.1685	19.055	21.271	20.163	27.918
			1.3294			2.836			6.2483			19.0104			21.0047	

Data : 3", -20, 60, 35 C

NO	WAKTU	SENSOR1	Tw1-in	SENSOR2	SENSOR3	Tw1-out	SENSOR4	SENSOR5	T~	SENSOR6	SENSOR7	Tw2-in	SENSOR8	SENSOR9	Tw2-out	SENSOR10
1	10	1.329	1.329	3.545	0.443	1.994	11.522	8.863	10.193	31.463	30.576	31.0195	35.451	35.224	35.3375	24.373
2	25	0.443	0.443	1.329	7.533	4.431	11.522	10.192	10.857	29.247	35.451	32.349	35.008	35.224	35.116	28.361
3	105	1.329	1.329	3.102	5.318	4.21	14.18	10.635	12.408	29.69	35.451	32.5705	35.008	35.008	35.008	28.361
4	145	0.886	0.886	8.863	3.102	5.9825	13.737	9.749	11.743	35.451	30.576	33.0135	35.224	35.451	35.3375	28.361
5	165	1.329	1.329	3.102	3.102	3.102	15.953	10.635	13.294	28.804	31.463	30.1335	34.667	35.008	34.8375	28.361
			1.0632			3.9439			11.699			31.8172			35.1273	

Data : 3", -20, 60, 45 C

NO	WAKTU	SENSOR1	Tw1-in	SENSOR2	SENSOR3	Tw1-out	SENSOR4	SENSOR5	T~	SENSOR6	SENSOR7	Tw2-in	SENSOR8	SENSOR9	Tw2-out	SENSOR10
1	15	2.659	2.659	7.09	7.09	7.09	15.51	10.192	12.851	40.325	42.541	41.433	43.973	46.973	45.473	27.918
2	25	0.443	0.443	3.102	3.102	3.102	15.51	13.737	14.624	38.553	42.098	40.3255	44.086	45.973	45.0295	28.361
3	145	1.773	1.773	4.431	3.988	4.2095	18.612	10.192	14.402	42.098	42.541	42.3195	46.529	43.541	45.035	27.918
4	200	1.329	1.329	6.204	3.545	4.8745	17.282	10.192	13.737	40.325	39.439	39.882	42.541	47.416	44.9785	28.361
5	225	0.886	0.886	3.545	7.09	5.3175	17.282	11.078	14.18	38.553	42.541	40.547	45.086	45.302	45.194	27.918
			1.418			4.9187			13.959			40.9014			45.142	

Data : 3", -20, 60, 55 C

NO	WAKTU	SENSOR1	Tw1-in	SENSOR2	SENSOR3	Tw1-out	SENSOR4	SENSOR5	T~	SENSOR6	SENSOR7	Tw2-in	SENSOR8	SENSOR9	Tw2-out	SENSOR10
1	25	1.329	1.329	9.306	14.18	11.743	22.157	28.361	25.259	53.722	53.722	53.722	55.835	54.176	55.0055	27.918
2	45	0.443	0.443	15.067	6.204	10.636	24.373	33.678	29.026	46.188	59.039	52.6135	53.176	56.278	54.727	28.361
3	70	0.886	0.886	4.875	14.18	9.5275	21.714	28.361	25.038	43.086	53.722	48.404	55.835	55.278	55.5565	29.247
4	110	0.886	0.886	9.306	5.761	7.5335	20.827	34.122	27.475	53.722	53.278	53.5	55.835	54.176	55.0055	28.361
5	125	0.886	0.886	14.624	5.761	10.193	24.816	27.918	26.367	53.722	53.722	53.722	55.835	54.176	55.0055	28.361
			0.886			9.9264			26.633			52.3923			55.06	

Data : 3", -20, 60, 65 C

NO	WAKTU	SENSOR1	Tw1-in	SENSOR2	SENSOR3	Tw1-out	SENSOR4	SENSOR5	T~	SENSOR6	SENSOR7	Tw2-in	SENSOR8	SENSOR9	Tw2-out	SENSOR10
1	35	4.306	4.306	14.18	8.863	11.522	27.031	35.894	31.463	58.722	63.812	61.267	65.278	64.812	65.045	27.918
2	145	9.18	0.443	14.624	7.976	11.3	24.816	28.804	26.81	58.278	63.812	61.045	65.278	65.278	65.278	27.918
3	180	1.647	1.647	9.306	9.749	9.5275	25.702	28.804	27.253	58.722	56.722	57.722	65.722	64.812	65.267	24.373
4	215	1.204	1.204	9.306	5.761	7.5335	26.588	35.451	31.02	58.722	63.812	61.267	65.722	65.278	65.5	28.361
5	220	9.18	9.18	10.192	15.953	13.073	27.031	28.804	27.918	62.267	56.278	59.2725	65.722	65.278	65.5	24.373
			3.356			10.591			28.893			60.1147			65.318	

Data : 3", -20, 60

NO	WAKTU	SENSOR1	Tw1-in	SENSOR2	SENSOR3	Tw1-out	SENSOR4	SENSOR5	T~	SENSOR6	SENSOR7	Tw2-in	SENSOR8	SENSOR9	Tw2-out	SENSOR10
1	35	1.329	1.329	5.318	3.545	4.4315	8.42	6.647	7.5335	15.51	15.953	15.7315	19.498	21.271	20.3845	27.918
2	60	0.886	0.443	3.545	2.659	3.102	5.761	2.216	3.9885	15.51	16.396	15.953	20.827	19.498	20.1625	27.918
3	75	0.443	0.443	1.329	2.659	1.994	7.976	4.431	6.2035	17.282	19.498	18.39	18.612	20.827	19.7195	27.918
4	95	0.886	0.886	3.545	0.886	2.2155	14.18	2.659	8.4195	18.612	19.941	19.2765	23.929	23.929	23.929	27.918
5	150	1.773	1.773	3.545	0.443	1.994	11.522	7.09	9.306	14.624	17.282	15.953	20.827	23.043	21.935	27.918
			0.9748			2.7474			7.0902			17.0608			21.2261	

Data : 3", -20, 90, 35 C

NO	WAKTU	SENSOR1	Tw1-in	SENSOR2	SENSOR3	Tw1-out	SENSOR4	SENSOR5	T~	SENSOR6	SENSOR7	Tw2-in	SENSCR8	SENSOR9	Tw2-out	SENSOR10
1	5	0.886	0.886	3.545	3.545	3.545	15.953	10.192	13.073	32.098	33.678	32.888	35.008	35.008	35.008	24.373
2	65	1.773	0.443	3.545	6.204	4.8745	12.408	10.192	11.3	34.314	31.906	33.11	35.008	35.008	35.008	23.486
3	80	1.773	1.773	4.875	3.102	3.9885	15.067	10.635	12.851	28.553	32.541	30.547	34.922	35.008	34.965	24.373
4	190	0.443	0.443	6.204	3.102	4.653	11.522	11.522	11.522	31.655	35.451	33.553	35.451	35.008	35.2295	28.804
5	235	2.659	2.659	7.09	3.102	5.096	9.306	11.522	10.414	25.894	34.314	30.104	35.008	35.008	35.0437	28.804
			1.2408			4.4314			11.832			32.0404			35.0437	

Data : 3", -20, 90, 45 C

NO	WAKTU	SENSOR1	Tw1-in	SENSOR2	SENSOR3	Tw1-out	SENSOR4	SENSOR5	T~	SENSOR6	SENSOR7	Tw2-in	SENSOR8	SENSOR9	Tw2-out	SENSOR10
1	35	1.773	1.773	3.102	3.102	3.102	14.18	11.522	12.851	45.2	42.098	43.649	44.086	45.016	44.551	24.816
2	60	0.886	0.443	3.102	3.102	3.102	13.737	13.737	13.737	38.553	42.541	40.547	45.929	44.086	45.0075	28.361
3	95	1.773	1.773	7.09	5.318	6.204	13.737	13.737	13.737	36.78	45.541	41.1605	44.086	45.859	44.9725	27.918
4	100	2.659	2.659	4.875	6.204	5.5395	15.953	13.737	14.845	42.541	42.541	42.541	44.086	46.086	45.086	22.6
5	200	1.329	1.329	3.545	3.102	3.3235	14.18	11.522	12.851	42.098	42.541	42.3195	45.2	45.073	45.1365	22.6
			1.5954			4.2542			13.604			42.0434			44.9507	

Data : 3", -20, 90, 55 C

NO	WAKTU	SENSOR1	Tw1-out	SENSOR2	SENSOR3	Tw1-out	SENSOR4	SENSOR5	T-	SENSOR6	SENSOR7	Tw2-in	SENSOR8	SENSOR9	Tw2-out	SENSOR10
1	15	0.886	0.886	14.624	9.306	11.965	24.816	27.918	26.367	53.278	53.722	53.5	55.835	54.278	55.0565	28.361
2	20	1.773	0.443	8.863	14.18	11.522	26.145	34.122	30.134	46.188	53.278	49.733	56.278	54.722	55.5	24.816
3	45	3.545	3.545	7.976	7.976	7.976	24.816	33.235	29.026	43.086	53.278	48.182	54.949	56.278	55.6135	22.6
4	50	0.886	0.886	5.761	9.749	7.755	26.588	28.361	27.475	42.643	53.722	48.1825	55.835	54.722	55.2785	24.373
5	165	2.659	2.659	15.953	14.18	15.067	20.827	32.792	26.81	53.278	47.961	50.6195	54.506	56.722	55.614	28.361
			1.6838			10.857			27.962			50.0434			55.4125	

Data : 3", -20, 90, 65 C

NO	WAKTU	SENSOR1	Tw1-in	SENSOR2	SENSOR3	Tw1-out	SENSOR4	SENSOR5	T-	SENSOR6	SENSOR7	Tw2-in	SENSOR8	SENSOR9	Tw2-out	SENSOR10
1	80	2.725	2.725	14.624	6.647	10.636	22.157	35.008	28.583	58.278	63.812	61.045	66.608	64.267	65.4375	27.918
2	90	6.522	0.443	15.953	14.18	15.067	24.816	35.451	30.134	58.722	56.722	57.722	65.722	64.812	65.267	28.361
3	105	3.612	3.612	9.306	16.396	12.851	25.702	28.804	27.253	58.722	56.722	57.722	63.722	66.439	65.0805	27.918
4	150	2.976	2.976	9.749	14.624	12.187	21.714	28.361	25.038	48.529	65.584	57.0565	65.722	64.812	65.267	28.361
5	185	9.18	9.18	7.976	9.306	8.641	24.373	28.361	26.367	59.608	63.812	61.71	65.278	65.596	65.437	28.804
			3.7872			11.876			27.475			59.0511			65.2978	

Data : 3", -20, 90

NO	WAKTU	SENSOR1	Tw1-in	SENSOR2	SENSOR3	Tw1-out	SENSOR4	SENSOR5	T-	SENSOR6	SENSOR7	Tw2-in	SENSOR8	SENSOR9	Tw2-out	SENSOR10
1	10	1.773	1.773	2.216	1.329	1.7725	15.067	3.102	9.0845	15.51	21.271	18.3905	23.043	23.486	23.2645	27.918
2	30	0.886	0.443	2.216	3.102	2.659	7.976	3.102	5.539	17.725	21.714	19.7195	21.271	24.373	22.822	27.918
3	150	0.886	0.886	1.329	1.329	1.329	8.42	4.431	6.4255	15.953	16.396	16.1745	23.486	22.6	23.043	27.918
4	190	0.886	0.886	3.545	0.443	1.994	9.749	3.545	6.647	19.941	19.941	19.941	19.055	24.373	21.714	27.918
5	215	1.773	1.773	2.659	4.431	3.545	5.318	2.216	3.767	15.51	16.396	15.953	19.498	19.055	19.2765	27.918
			1.1522			2.2599			6.2926			18.0357			22.024	

DATA SUHU

Data : 3", -40, 30, 35 C

NO	WAKTU	SENSOR1	Tw1-in	SENSOR2	SENSOR3	Tw1-out	SENSOR4	SENSOR5	T-	SENSOR6	SENSOR7	Tw2-in	SENSOR8	SENSOR9	Tw2-out	SENSOR10
1	180	1.329	1.329	2.659	7.09	4.8745	14.18	10.635	12.408	31.008	31.008	31.01	35.894	34.098	34.996	22.157
2	185	2.216	2.216	2.659	8.863	5.761	16.839	8.863	12.851	35.882	29.235	32.56	35.451	35.098	35.2745	27.475
3	190	2.226	2.226	3.545	3.102	3.3235	13.737	8.863	11.3	29.235	31.451	30.34	34.008	36.541	35.2745	28.361
4	215	2.416	2.416	3.102	7.09	5.096	14.18	9.749	11.965	31.451	35.439	33.45	34.098	36.098	35.098	27.918
5	240	2.216	2.216	7.09	5.318	6.204	16.839	11.965	14.402	31.008	28.792	29.9	35.098	34.996	35.047	24.373
			2.081			5.0518			12.585			31.45			35.138	

Data : 3", -40, 30, 45 C

NO	WAKTU	SENSOR1	Tw1-in	SENSOR2	SENSOR3	Tw1-out	SENSOR4	SENSOR5	T-	SENSOR6	SENSOR7	Tw2-in	SENSOR8	SENSOR9	Tw2-out	SENSOR10
1	60	0.886	0.886	3.102	3.545	3.3235	14.624	10.635	12.63	42.098	40.325	41.21	44.098	46.086	45.092	28.361
2	75	1.773	1.773	7.09	7.09	7.09	14.624	14.18	14.402	36.78	44.314	40.55	44.302	45.541	44.9215	22.6
3	90	3.102	3.102	10.635	7.09	8.8625	17.725	13.294	15.51	42.541	42.098	42.32	43.302	46.086	44.694	28.361
4	125	0.886	0.886	3.988	2.216	3.102	14.624	10.635	12.63	42.098	41.212	41.66	46.586	43.541	45.0635	27.918
5	140	1.329	1.329	6.204	2.216	4.21	19.498	11.078	15.288	44.314	41.655	42.98	45.973	44.541	45.257	26.588
			1.595			5.3176			14.092			41.74			45.0056	

Data : 3", -40, 30, 55 C

NO	WAKTU	SENSOR1	Tw1-in	SENSOR2	SENSOR3	Tw1-out	SENSOR4	SENSOR5	T-	SENSOR6	SENSOR7	Tw2-in	SENSOR8	SENSOR9	Tw2-out	SENSOR10
1	15	1.773	1.773	16.396	7.533	11.9645	24.816	33.678	29.247	47.188	52.278	49.73	54.949	55.733	55.341	28.361
2	20	1.329	1.329	16.396	8.42	12.408	24.816	27.918	26.367	54.722	52.722	53.72	54.176	56.722	55.449	27.918
3	85	0.443	0.443	14.624	5.318	9.971	26.588	28.361	27.475	54.722	46.961	50.84	53.176	56.722	54.949	24.373
4	145	0.443	0.443	14.624	5.318	9.971	25.702	33.235	29.469	47.188	52.278	49.73	54.063	56.278	55.1705	27.918
5	155	0.443	0.443	9.749	7.533	8.641	27.475	34.122	30.799	45.416	52.278	48.85	54.176	56.722	55.449	23.486
			0.886			10.5911			28.671			50.58			55.2717	

Data : 3", -40, 30, 65 C

NO	WAKTU	SENSOR1	Tw1-in	SENSOR2	SENSOR3	Tw1-out	SENSOR4	SENSOR5	T-	SENSOR6	SENSOR7	Tw2-in	SENSOR8	SENSOR9	Tw2-out	SENSOR10
1	5	0.761	0.761	9.749	7.976	8.8625	20.827	28.804	24.816	56.278	56.278	56.28	65.722	64.812	65.267	24.816
2	10	2.976	2.976	11.522	15.067	13.2945	26.588	27.918	27.253	56.722	65.584	61.15	65.722	65.278	65.5	23.486
3	30	0.761	0.761	5.761	11.522	8.6415	27.475	29.69	28.583	49.188	63.812	56.5	65.722	64.812	65.267	24.373
4	130	1.647	1.647	14.624	5.761	10.1925	24.816	28.804	26.81	60.267	60.267	60.27	64.278	65.812	65.045	27.918
5	245	3.863	3.863	16.396	15.953	16.1745	21.714	31.463	26.589	56.278	63.812	60.05	65.278	65.278	65.278	27.918
			2.002			11.4331			26.81			58.85			65.2714	

Data : 3", -40, 30

NO	WAKTU	SENSOR1	Tw1-in	SENSOR2	SENSOR3	Tw1-out	SENSOR4	SENSOR5	T-	SENSOR6	SENSOR7	Tw2-in	SENSOR8	SENSOR9	Tw2-out	SENSOR10
1	20	1.773	1.773	5.318	0.886	3.102	7.533	3.988	5.7605	19.941	20.384	20.16	18.169	20.827	19.498	27.918
2	30	0.886	0.886	4.431	1.329	2.88	9.749	7.09	8.4195	19.055	20.827	19.94	23.043	23.043	23.043	27.918
3	35	0.443	0.443	3.102	2.216	2.659	7.976	6.204	7.09	19.498	20.827	20.16	19.055	21.271	20.163	27.918
4	50	1.773	1.773	6.204	0.886	3.545	11.078	2.659	6.8685	19.498	16.839	18.17	21.271	20.827	21.049	27.918
5	90	1.773	1.773	3.102	2.659	2.8805	8.42	3.102	5.761	18.169	20.827	19.5	18.612	19.055	18.8335	27.475
			1.33			3.0133			6.7799			19.59			20.5173	

Data : 3", -40, 60, 35 C

NO	WAKTU	SENSOR1	Tw1-in	SENSOR2	SENSOR3	Tw1-out	SENSOR4	SENSOR5	T-	SENSOR6	SENSOR7	Tw2-in	SENSOR8	SENSOR9	Tw2-out	SENSOR10
1	25	0.443	0.443	6.647	3.102	4.8745	12.851	9.749	11.3	29.235	28.349	28.79	34.098	36.427	35.2625	27.918
2	30	0.443	0.443	2.216	6.647	4.4315	10.192	10.192	10.192	35.882	28.349	32.12	35.008	35.427	35.2175	27.918
3	135	0.886	0.886	10.192	6.647	8.4195	16.396	10.635	13.516	35.439	27.463	31.45	35.541	34.451	34.996	28.361
4	210	0.886	0.886	1.329	5.318	3.3235	9.306	11.522	10.414	31.451	35.882	33.67	34.541	35.541	35.041	24.373
5	240	0.886	0.886	3.102	3.102	3.102	13.737	10.635	12.186	28.349	33.224	30.79	35.996	34.541	35.2685	24.373
			0.709			4.8302			11.522			31.36			35.1571	

Data : 3", -40, 60, 45 C

NO	WAKTU	SENSOR1	Tw1-in	SENSOR2	SENSOR3	Tw1-out	SENSOR4	SENSOR5	T-	SENSOR6	SENSOR7	Tw2-in	SENSOR8	SENSOR9	Tw2-out	SENSOR10
1	50	1.329	1.329	14.624	3.102	8.863	19.055	29.69	24.373	39.541	46.631	43.09	45.643	45.231	45.437	28.361
2	60	2.216	2.216	6.204	6.647	6.4255	19.055	27.918	23.487	43.086	39.541	41.31	45.2	45.221	45.2105	23.929
3	125	3.545	3.545	9.306	6.204	7.755	19.498	24.373	21.936	46.188	38.655	42.42	44.314	45.241	44.7775	28.361
4	140	5.761	5.761	15.953	3.988	9.9705	21.271	24.373	22.822	45.745	39.541	42.64	46.086	45.232	45.659	23.486
5	180	2.216	2.216	18.612	6.647	12.6295	23.486	23.486	23.486	44.859	39.098	41.98	44.098	45.2	44.649	28.361
			3.013			9.1287			23.221			42.29			45.1466	

Data : 3", -40, 60, 55 C

NO	WAKTU	SENSOR1	Tw1-in	SENSOR2	SENSOR3	Tw1-out	SENSOR4	SENSOR5	T-	SENSOR6	SENSOR7	Tw2-in	SENSOR8	SENSOR9	Tw2-out	SENSOR10
1	35	2.659	2.659	5.761	3.102	4.4315	21.271	27.918	24.595	43.2	52.278	47.74	54.506	56.278	55.392	27.918
2	40	1.329	1.329	7.976	10.635	9.3055	24.816	33.678	29.247	43.643	48.733	46.19	53.176	56.722	54.949	28.804
3	45	2.216	2.216	7.976	6.204	7.09	20.827	27.918	24.373	42.757	57.153	49.96	53.176	56.722	54.949	28.804
4	185	0.886	0.886	14.624	3.102	8.863	19.941	27.031	23.486	54.722	52.278	53.5	53.176	56.722	54.949	24.373
5	190	1.329	1.329	7.976	5.318	6.647	20.827	34.565	27.696	43.643	58.039	50.84	53.176	56.722	54.949	27.918
			1.684			7.2674			25.879			49.64			55.0376	

Data : 3", -40, 60, 65 C

NO	WAKTU	SENSOR1	Tw1-in	SENSOR2	SENSOR3	Tw1-out	SENSOR4	SENSOR5	T~	SENSOR6	SENSOR7	Tw2-in	SENSOR8	SENSOR9	Tw2-out	SENSOR10
1	20	0.443	0.443	16.396	14.624	15.51	27.918	39.439	33.679	60.267	56.278	58.27	65.494	64.722	65.108	22.157
2	30	0.443	0.443	18.612	8.863	13.7375	22.6	31.463	27.032	63.722	56.278	60	65.494	64.278	64.886	28.361
3	60	0.443	0.443	17.725	14.18	15.9525	23.043	35.451	29.247	60.267	56.278	58.27	65.494	64.278	64.886	27.475
4	90	0.443	0.443	15.067	9.749	12.408	27.918	35.451	31.685	56.278	63.722	60	65.937	65.278	65.6075	27.918
5	225	0.443	0.443	17.725	8.42	13.0725	24.373	35.451	29.912	56.278	63.369	59.82	64.278	65.812	65.045	26.588
			0.443			14.1361			30.311			59.27			65.1065	

Data : 3", -40, 60

NO	WAKTU	SENSOR1	Tw1-in	SENSOR2	SENSOR3	Tw1-out	SENSOR4	SENSOR5	T~	SENSOR6	SENSOR7	Tw2-in	SENSOR8	SENSOR9	Tw2-out	SENSOR10
1	20	0.886	0.886	2.216	1.773	1.9945	3.102	4.875	3.9885	19.498	17.282	18.39	18.169	20.827	19.498	27.918
2	60	1.773	1.773	6.204	1.329	3.7665	6.204	4.875	5.5395	18.612	20.384	19.5	18.612	20.827	19.7195	27.475
3	75	1.773	1.773	3.102	1.773	2.4375	7.976	3.102	5.539	15.51	20.827	18.17	19.055	23.043	21.049	27.918
4	90	0.443	0.443	3.102	1.773	2.4375	7.533	4.875	6.204	19.498	17.282	18.39	18.612	21.714	20.163	27.918
5	95	3.102	3.102	5.318	1.773	3.5455	8.42	1.773	5.0965	15.953	20.827	18.39	21.271	20.827	21.049	27.918
			1.595			2.8363			5.2735			18.57			20.2957	

Data : 3", -40, 90, 35 C

NO	WAKTU	SENSOR1	Tw1-in	SENSOR2	SENSOR3	Tw1-out	SENSOR4	SENSOR5	T~	SENSOR6	SENSOR7	Tw2-in	SENSOR8	SENSOR9	Tw2-out	SENSOR10
1	70	0.886	0.886	7.09	1.773	4.4315	17.725	11.522	14.624	36.325	29.451	32.89	35.769	34.655	35.212	28.361
2	75	0.886	0.886	2.216	6.204	4.21	14.18	10.192	12.186	27.463	36.541	32	36.212	34.541	35.3765	23.043
3	220	1.773	1.773	1.329	2.216	1.7725	17.725	9.749	13.737	31.451	30.78	31.12	34.427	36.541	35.484	23.486
4	240	0.886	0.886	2.216	1.329	1.7725	12.851	12.851	12.851	29.235	30.78	30.01	34.451	36.541	35.496	26.588
5	245	2.216	2.216	6.647	2.659	4.653	9.306	10.635	9.9705	28.792	36.541	32.67	36.098	34.427	35.2625	22.6
			1.329			3.3679			12.674			31.74			35.3662	

Data : 3", -40, 90, 45 C

NO	WAKTU	SENSOR1	Tw1-in	SENSOR2	SENSOR3	Tw1-out	SENSOR4	SENSOR5	T~	SENSOR6	SENSOR7	Tw2-in	SENSOR8	SENSOR9	Tw2-out	SENSOR10
1	45	3.102	3.102	16.396	7.09	11.743	19.498	29.247	24.373	35.553	39.098	37.33	45.2	44.631	44.9155	28.361
2	80	3.102	3.102	9.749	4.875	7.312	23.929	24.373	24.151	43.086	51.063	47.07	44.314	45.631	44.9725	23.486
3	90	3.102	3.102	9.306	7.09	8.198	19.055	27.918	23.487	43.086	39.984	41.54	45.2	49.631	47.4155	24.373
4	175	3.102	3.102	9.749	7.09	8.4195	23.043	28.361	25.702	35.553	48.404	41.98	46.086	44.098	45.092	28.361
5	220	2.216	2.216	6.647	5.318	5.9825	18.169	26.145	22.157	39.098	38.655	38.88	45.2	44.631	44.9155	27.918
			2.925			8.331			23.974			41.36			45.4622	

Data : 3", -40, 90, 55 C

NO	WAKTU	SENSOR1	Tw1-in	SENSOR2	SENSOR3	Tw1-out	SENSOR4	SENSOR5	T-	SENSOR6	SENSOR7	Tw2-in	SENSOR8	SENSOR9	Tw2-out	SENSOR10
1	80	2.216	2.216	7.976	7.976	7.976	19.498	34.122	26.81	51.176	52.278	51.73	53.176	56.722	54.949	23.929
2	85	0.886	0.886	14.18	5.761	9.9705	19.941	27.918	23.93	41.871	52.278	47.07	54.176	56.278	55.227	28.361
3	160	5.318	5.318	14.18	7.976	11.078	20.827	34.565	27.696	41.871	52.278	47.07	53.176	57.608	55.392	27.918
4	215	2.659	2.659	8.863	5.761	7.312	23.043	27.918	25.481	52.949	48.733	50.84	54.404	56.722	55.563	27.918
5	230	1.329	1.329	3.102	5.318	4.21	23.929	34.122	29.026	51.176	52.278	51.73	53.176	56.722	54.949	23.486
			2.482			8.1093			26.588			49.69			55.216	

Data : 3", -40, 90, 65 C

NO	WAKTU	SENSOR1	Tw1-in	SENSOR2	SENSOR3	Tw1-out	SENSOR4	SEIORS5	T-	SENSOR6	SENSOR7	Tw2-in	SENSOR8	SENSOR9	Tw2-out	SENSOR10
1	35	2.216	2.216	6.647	8.863	7.755	26.588	35.008	30.798	56.278	66.345	61.31	64.608	66.039	65.3235	27.918
2	50	0.886	0.886	14.624	11.522	13.073	24.816	40.769	32.793	61.596	51.278	56.44	64.608	65.267	64.9375	27.918
3	135	1.773	1.773	14.624	14.18	14.402	24.816	41.212	33.014	56.722	58.369	57.55	65.051	65.267	65.159	23.486
4	200	0.443	0.443	18.612	8.863	13.7375	27.918	32.349	30.134	56.278	65.459	60.87	65.937	64.722	65.3295	27.918
5	245	1.773	1.773	14.624	15.953	15.2885	22.6	31.463	27.032	49.188	65.459	57.32	65.278	65.267	65.2725	22.6
			1.418			12.8512			30.754			58.7			65.2044	

Data : 3", -40, 90

NO	WAKTU	SENSOR1	Tw1-in	SENSOR2	SENSOR3	Tw1-out	SENSOR4	SENSOR5	T-	SENSOR6	SENSOR7	Tw2-in	SENSOR8	SENSOR9	Tw2-out	SENSOR10
1	35	0.886	0.886	1.329	1.773	1.551	7.533	6.647	7.09	17.725	19.498	18.61	23.043	21.271	22.157	27.918
2	80	2.216	2.216	1.329	3.545	2.437	5.761	6.204	5.9825	17.725	15.953	16.84	23.043	20.827	21.935	27.918
3	170	0.886	0.886	3.545	0.443	1.994	8.42	3.102	5.761	17.282	20.384	18.83	23.043	23.043	23.043	27.804
4	125	0.886	0.886	3.545	2.659	3.102	6.204	3.545	4.8745	15.51	16.396	15.95	19.055	23.043	21.049	27.247
5	220	1.773	1.773	0.886	3.102	1.994	3.988	2.659	3.3235	15.067	16.839	15.95	23.043	19.055	21.049	27.918
			1.329			2.2156			5.4063			17.24			21.8466	

DATA SUHU

Data : 3", -60, 30, 35 C

NO	WAKTU	SENSOR1	Tw1-in	SENSOR2	SENSOR3	Tw1-out	SENSOR4	SENSOR5	T~	SENSOR6	SENSOR7	Tw2-in	SENSOR8	SENSOR9	Tw2-out	SENSOR10
1	50	3.102	3.102	4.431	1.329	2.88	17.725	12.408	15.067	27.463	34.757	31.11	37.098	33.996	35.547	27.918
2	100	3.102	3.102	7.09	2.216	4.653	9.306	12.408	10.857	27.906	34.314	31.11	34.098	36.212	35.155	22.6
3	110	3.102	3.102	3.545	2.216	2.8805	13.737	10.192	11.965	28.349	26.337	27.343	34.541	36.655	35.598	24.373
4	115	3.102	3.102	2.216	5.318	3.767	12.851	10.635	11.743	31.008	34.314	32.661	35.541	35.069	35.305	28.361
5	120	1.773	1.773	7.09	1.329	4.2095	14.18	12.408	13.294	31.008	32.541	31.775	34.541	35.769	35.155	28.361
			2.8362			3.678			12.585			30.8			35.352	

Data : 3", -60, 30, 45 C

NO	WAKTU	SENSOR1	Tw1-in	SENSOR2	SENSOR3	Tw1-out	SENSOR4	SENSOR5	T~	SENSOR6	SENSOR7	Tw2-in	SENSOR8	SENSOR9	Tw2-out	SENSOR10
1	25	0.886	0.886	4.875	3.102	3.9885	14.624	11.965	13.295	36.78	40.769	38.775	44.541	45.745	45.143	26.588
2	30	1.329	1.329	6.647	4.875	5.761	15.51	10.635	13.073	37.667	42.541	40.104	45.859	45.098	45.479	22.157
3	55	0.443	0.443	3.102	3.102	3.102	17.725	11.522	14.624	36.78	42.541	39.661	45.086	44.998	45.042	24.816
4	160	1.329	1.329	7.09	1.329	4.2095	14.624	11.078	12.851	37.667	41.655	39.661	44.098	46.086	45.092	27.918
5	215	1.773	1.773	7.09	2.216	4.653	17.282	10.192	13.737	36.78	40.325	38.553	46.086	44.541	45.314	23.043
			1.152			4.3428			13.516			39.351			45.214	

Data : 3", -60, 30, 55 C

NO	WAKTU	SENSOR1	Tw1-in	SENSOR2	SENSOR3	Tw1-out	SENSOR4	SENSOR5	T~	SENSOR6	SENSOR7	Tw2-in	SENSOR8	SENSOR9	Tw2-out	SENSOR10
1	25	1.773	1.773	5.761	9.306	7.5335	28.361	37.224	32.793	43.529	59.039	51.284	54.176	56.278	55.227	28.804
2	80	1.329	1.329	7.976	6.647	7.3115	27.918	29.69	28.804	42.643	53.278	47.961	54.063	56.722	55.393	28.361
3	100	0.886	0.886	6.647	15.067	10.857	24.816	37.224	31.02	53.278	53.278	53.278	54.176	56.278	55.227	28.804
4	115	1.329	1.329	8.42	9.306	8.863	28.361	29.69	29.026	53.722	49.733	51.728	55.392	56.722	56.057	28.361
5	145	0.886	0.886	9.306	14.624	11.965	27.918	38.11	33.014	43.529	53.722	48.626	54.949	55.722	55.336	22.6
			1.2406			9.306			30.931			50.575			55.448	

Data : 3", -60, 30, 65 C

NO	WAKTU	SENSOR1	Tw1-in	SENSOR2	SENSOR3	Tw1-out	SENSOR4	SENSOP5	T~	SENSOR6	SENSOR7	Tw2-in	SENSOR8	SENSOR9	Tw2-out	SENSOR10
1	20	0.443	0.443	7.976	15.067	11.5215	28.361	46.973	37.667	60.812	53.278	57.045	65.494	64.659	65.077	27.918
2	5	1.329	1.329	16.396	9.306	12.851	30.133	42.098	36.116	53.278	58.369	55.824	65.267	65.494	65.381	23.486
3	55	7.09	7.09	8.863	10.635	9.749	31.906	44.314	38.11	53.278	67.675	60.477	65.567	64.459	65.013	28.804
4	90	2.659	2.659	9.749	18.612	14.1805	25.259	35.451	30.355	53.722	53.051	53.387	64.267	66.357	65.312	23.486
5	65	8.863	8.863	15.953	12.851	14.402	25.259	36.78	31.02	60.357	61.675	61.016	65.267	64.829	65.048	28.361
			4.0768			12.5408			34.653			57.55			65.166	

Data : 3", -60, 30

NO	WAKTU	SENSOR1	Tw1-in	SENSOR2	SENSOR3	Tw1-out	SENSOR4	SENSOR5	T~	SENSOR6	SENSOR7	Tw2-in	SENSOR8	SENSOR9	Tw2-out	SENSOR10	
1	5	1.329	1.329	1.329	1.773	1.551	7.533	3.102	5.3175	14.624	17.282	15.953	19.498	23.486	21.492	27.475	
2	45	1.773	1.773	3.545	1.329	2.437	10.635	3.545	7.09	18.612	17.282	17.947	20.827	19.055	19.941	27.918	
3	50	1.773	1.773	0.443	2.216	1.3295	6.204	5.318	5.761	15.51	16.396	15.953	23.043	19.055	21.049	27.918	
4	60	1.329	1.329	1.773	1.773	1.773	6.647	3.545	5.096	18.612	20.384	19.498	22.6	19.055	20.828	27.918	
5	125	0.886	0.886	1.329	2.216	1.7725	6.204	4.875	5.5395	15.51	16.839	16.175	21.271	20.827	21.049	27.475	
						1.418			1.7726			5.7608			17.105		20.872

Data : 3", -60, 60, 35 C

NO	WAKTU	SENSOR1	Tw1-in	SENSOR2	SENSOR3	Tw1-out	SENSOR4	SENSOR5	T~	SENSOR6	SENSOR7	Tw2-in	SENSOR8	SENSOR9	Tw2-out	SENSOR10	
1	10	0.886	0.886	1.329	1.773	1.551	14.624	13.294	13.959	27.02	25.894	26.457	35.541	34.655	35.098	22.157	
2	25	0.443	0.443	7.09	2.659	4.8745	6.647	11.965	9.306	34.996	25.451	30.224	35.098	34.996	35.047	28.804	
3	70	0.443	0.443	3.988	4.431	4.2095	9.306	12.408	10.857	27.463	24.565	26.014	35.098	34.882	34.99	28.361	
4	75	2.659	2.659	4.875	3.102	3.9885	4.875	8.863	6.869	31.451	34.314	32.883	34.655	35.769	35.212	27.475	
5	205	2.659	2.659	6.647	6.647	6.647	9.306	10.192	9.749	27.463	32.541	30.002	35.098	34.769	34.934	28.361	
						1.418			4.2541			10.148			29.116		35.056

Data : 3", -60, 60, 45 C

NO	WAKTU	SENSOR1	Tw1-in	SENSOR2	SENSOR3	Tw1-out	SENSOR4	SENSOR5	T~	SENSOR6	SENSOR7	Tw2-in	SENSOR8	SENSOR9	Tw2-out	SENSOR10	
1	35	0.443	0.443	7.09	5.318	6.204	14.18	11.078	12.629	42.098	41.212	41.555	46.086	44.314	45.2	22.6	
2	60	3.545	3.545	3.545	1.329	2.437	15.51	13.737	14.624	38.553	42.098	40.326	44.086	46.973	45.53	24.373	
3	165	0.443	0.443	7.09	6.204	6.647	14.18	10.192	12.186	35.894	42.098	38.996	45.541	44.314	44.928	24.373	
4	220	0.443	0.443	3.102	3.102	3.102	15.953	11.522	13.738	36.78	42.541	39.661	44.973	45.098	45.036	27.918	
5	250	1.773	1.773	10.635	2.659	6.647	17.282	11.078	14.18	42.098	42.541	42.32	43.098	46.973	45.036	28.361	
						1.3294			5.0074			13.471			40.591		45.146

Data : 3", -60, 60, 55 C

NO	WAKTU	SENSOR1	Tw1-in	SENSOR2	SENSOR3	Tw1-out	SENSOR4	SENSOR5	T~	SENSOR6	SENSOR7	Tw2-in	SENSOR8	SENSOR9	Tw2-out	SENSOR10	
1	25	0.443	0.443	9.749	4.875	7.312	24.373	37.224	30.799	42.643	60.812	51.728	54.176	56.38	55.278	23.043	
2	50	1.329	1.329	11.522	14.624	13.073	28.361	29.69	29.026	53.722	53.722	53.722	54.631	55.267	54.949	28.804	
3	60	1.329	1.329	9.749	8.863	9.306	27.475	30.576	29.026	53.722	53.722	53.722	55.631	54.38	55.006	23.486	
4	90	0.886	0.886	15.953	6.204	11.0785	24.816	38.996	31.906	53.722	49.733	51.728	54.863	55.267	55.065	27.918	
5	115	0.443	0.443	7.976	9.306	8.641	27.475	35.451	31.463	53.278	49.733	51.506	54.506	56.722	55.614	28.804	
						0.886			9.8821			30.444			52.481		55.182

Data : 3", -60, 60, 65 C

NO	WAKTU	SENSOR1	Tw1-in	SENSOR2	SENSOR3	Tw1-out	SENSOR4	SENSOR5	T-	SENSOR6	SENSOR7	Tw2-in	SENSOR8	SENSOR9	Tw2-out	SENSOR10
1	15	2.659	2.659	7.976	8.863	8.4195	27.475	32.349	29.912	50.961	51.278	51.12	65.494	64.8	65.147	22.6
2	25	1.329	1.329	15.953	7.976	11.9645	24.816	42.541	33.679	56.722	51.722	54.222	64.494	65.657	65.076	28.804
3	75	1.329	1.329	9.749	5.761	7.755	27.475	41.655	34.565	56.722	58.369	57.546	65.278	65.243	65.261	24.816
4	95	3.545	3.545	9.749	9.749	9.749	27.475	35.008	31.242	61.153	51.722	56.438	64.722	65.243	64.983	23.361
5	140	0.886	0.886	15.953	9.749	12.851	22.157	34.122	28.14	62.039	65.902	63.971	65.722	64.357	65.04	27.918
			1.9496			10.1478			31.507			56.659			65.101	

Data : 3", -60, 60

NO	WAKTU	SENSOR1	Tw1-in	SENSOR2	SENSOR3	Tw1-out	SENSOR4	SENSOR5	T-	SENSOR6	SENSOR7	Tw2-in	SENSOR8	SENSOR9	Tw2-out	SENSOR10
1	35	0.886	0.886	0.443	1.773	1.108	4.875	3.102	3.9885	17.282	20.827	19.055	24.816	24.816	24.816	27.918
2	45	1.773	1.773	3.102	1.329	2.2155	7.533	2.659	5.096	17.282	15.953	16.618	19.498	21.271	20.385	27.918
3	95	1.329	1.329	2.659	2.659	2.659	6.647	7.09	6.8685	17.725	17.282	17.504	22.157	18.612	20.385	27.918
4	115	0.443	0.443	1.773	3.545	2.659	7.533	7.976	7.7545	17.282	19.498	18.39	23.043	21.271	22.157	27.918
5	120	1.773	1.773	3.102	1.329	2.2155	7.09	3.102	5.096	19.498	20.384	19.941	23.929	19.055	21.492	27.031
			1.2408			2.1714			5.7607			18.301			21.847	

Data : 3", -60, 90, 35 C

NO	WAKTU	SENSOR1	Tw1-in	SENSOR2	SENSOR3	Tw1-out	SENSOR4	SENSOR5	T-	SENSOR6	SENSOR7	Tw2-in	SENSOR8	SENSOR9	Tw2-out	SENSOR10
1	5	0.886	0.886	2.216	0.443	1.3295	15.067	10.192	12.63	27.02	32.541	29.781	35.098	34.769	34.934	28.361
2	45	3.545	3.545	3.988	6.647	5.3175	9.306	13.294	11.3	35.882	25.008	30.445	35.541	34.655	35.098	27.918
3	70	2.659	2.659	1.329	1.329	1.329	16.396	11.078	13.737	28.792	26.337	27.565	35.098	35.541	35.32	28.361
4	100	1.773	1.773	6.647	3.102	4.8745	9.306	13.737	11.522	28.792	34.314	31.553	35.541	34.655	35.098	24.816
5	250	2.216	2.216	10.192	7.09	8.641	14.624	14.18	14.402	29.235	25.894	27.565	34.655	35.769	35.212	24.816
			2.2158			4.2983			12.718			29.382			35.132	

Data : 3", -60, 90, 45 C

NO	WAKTU	SENSOR1	Tw1-in	SENSOR2	SENSOR3	Tw1-out	SENSOR4	SENSOR5	T-	SENSOR6	SENSOR7	Tw2-in	SENSOR8	SENSOR9	Tw2-out	SENSOR10
1	10	0.886	0.886	4.875	3.102	3.9885	16.839	13.737	15.288	44.314	42.541	43.428	46.086	44.314	45.2	28.361
2	30	1.773	1.773	1.329	4.431	2.88	14.18	14.18	14.18	36.337	42.541	39.439	44.314	46.086	45.2	28.361
3	155	0.443	0.443	3.545	7.09	5.3175	13.737	12.408	13.073	42.098	42.541	42.32	44.314	46.416	45.365	28.361
4	175	2.659	2.659	3.102	4.875	3.9885	14.18	12.408	13.294	38.553	42.541	40.547	44.529	46.086	45.308	28.361
5	200	0.443	0.443	3.102	3.102	3.102	16.839	15.067	15.953	38.553	42.541	40.547	46.086	44.529	45.308	22.6
			1.2408			3.8553			14.358			41.256			45.276	

Data : 3", -60, 90, 55 C

NO	WAKTU	SENSOR1	Tw1-in	SENSOR2	SENSOR3	Tw1-out	SENSOR4	SENSOR5	T~	SENSOR6	SENSOR7	Tw2-in	SENSOR8	SENSOR9	Tw2-out	SENSOR10
1	40	1.773	1.773	8.863	6.647	7.755	24.373	36.337	30.355	53.278	53.278	53.278	54.949	55.722	55.336	28.804
2	50	0.443	0.443	14.624	17.725	16.1745	21.714	35.451	28.563	42.643	53.722	48.183	54.276	55.722	54.999	22.6
3	60	0.443	0.443	14.624	11.522	13.073	21.271	35.451	28.361	46.188	60.812	53.5	53.176	56.722	54.949	27.918
4	170	0.443	0.443	9.749	14.624	12.1365	24.816	35.451	30.134	42.2	59.039	50.62	54.62	55.608	55.114	24.373
5	190	1.773	1.773	15.953	9.306	12.6295	22.6	37.224	29.912	42.2	53.722	47.961	55.176	55.051	55.114	27.475
			0.975			12.3637			29.469			50.708			55.102	

Data : 3", -60, 90, 65 C

NO	WAKTU	SENSOR1	Tw1-in	SENSOR2	SENSOR3	Tw1-out	SENSOR4	SENSOR5	T~	SENSOR6	SENSOR7	Tw2-in	SENSOR8	SENSOR9	Tw2-out	SENSOR10
1	30	0.886	0.886	9.749	7.976	8.8625	24.373	43.427	33.9	56.278	51.278	53.778	65.494	64.812	65.153	22.6
2	45	1.773	1.773	7.976	8.42	8.198	21.714	38.996	30.355	56.722	51.722	54.222	65.722	64.698	65.21	28.361
3	60	0.886	0.886	8.863	9.306	9.0845	27.918	35.008	31.463	56.278	65.902	61.09	65.494	64.278	64.886	22.6
4	80	2.216	2.216	7.976	8.863	8.4195	28.361	42.541	35.451	61.596	65.902	63.749	65.494	65.022	65.258	27.918
5	165	1.329	1.329	8.863	14.624	11.7435	23.043	35.451	29.247	56.722	58.812	57.767	65.537	64.961	65.249	27.475
			1.418			9.2616			32.083			58.121			65.151	

Data : 3", -60, 90

NO	WAKTU	SENSOR1	Tw1-in	SENSOR2	SENSOR3	Tw1-out	SENSOR4	SENSOR5	T~	SENSOR6	SENSOR7	Tw2-in	SENSOR8	SENSOR9	Tw2-out	SENSOR10
1	60	1.773	1.773	2.659	0.443	1.551	5.318	3.102	4.21	19.941	16.839	18.39	21.271	19.498	20.385	27.918
2	65	0.886	0.886	1.773	3.102	2.4375	6.204	3.102	4.653	15.51	17.725	16.618	24.816	18.612	21.714	27.918
3	95	0.886	0.886	0.886	3.988	2.437	6.647	3.545	5.096	19.055	19.498	19.277	23.929	19.055	21.492	23.043
4	130	1.329	1.329	2.216	1.329	1.7725	6.204	5.318	5.761	17.725	17.725	17.725	19.498	20.827	20.163	27.475
5	235	1.329	1.329	0.886	3.102	1.994	10.635	3.102	6.8685	17.282	16.396	16.839	23.486	23.486	23.486	27.918
			1.2406			2.0384			5.3177			17.77			21.448	

LAMPIRAN – II

REKAPITULASI HASIL PERHITUNGAN

DATA : KONDISI STANDARD / PEMBEBANAN PANAS*

Tabung : 4" atau (L/dha) = 5.9*

D2	Pvac	Tenta	Heater	Tw2-out	Tw2-in	T~	Tw1-out	Tw1-in	dha(m)	L/dha	Tf(C)	Tf (K)	rho	Cp	Miu(x10^-5)	Viskin(x10^-6)	Kf	Alfa(x10^-4)
4"	20	30	35	35.1261	29.8133	19.4981	13.7816	2.0532	0.0508	5.9055	21.79745	294.797	1.22698	1.007	1.812235862	15.54335903	0.025746	0.22016079
		30	45	45.2	40.3253	24.6827	18.6176	3.9882	0.0508	5.9055	29.47145	302.471	1.19515	1.0072	1.848764102	16.26855203	0.025342	0.231023337
		30	55	55.4705	46.352	28.5825	22.3845	5.495	0.0508	5.9055	34.36825	307.368	1.17484	1.0074	1.87207287	16.73129963	0.026722	0.237954758
		30	65	65.3857	56.6328	34.7863	24.3283	6.0266	0.0508	5.9055	40.48055	313.481	1.14948	1.0076	1.901167418	17.30891198	0.027196	0.246606719
		30	stand	18.4787	14.0655	8.6857	6.6914	5.345	0.0508	5.9055	10.37845	283.378	1.27435	1.0065	1.757881422	14.46426353	0.02486	0.203997196
		60	35	35.8055	28.918	20.5615	15.0937	2.5968	0.0508	5.9055	22.00585	295.006	1.22612	1.007	1.813227846	15.56305283	0.025762	0.220455781
		60	45	45.4658	39.0404	24.9044	16.0802	3.7474	0.0508	5.9055	27.5603	300.56	1.20308	1.0072	1.839667028	16.08794835	0.026193	0.228318105
		60	55	55.1343	47.4157	28.0508	21.4477	6.6468	0.0508	5.9055	34.4317	307.432	1.17457	1.0074	1.872374892	16.73729565	0.026727	0.238044571
		60	65	65.217	56.7215	33.4569	24.6384	6.2926	0.0508	5.9055	40.67995	313.68	1.14866	1.0077	1.902116562	17.32775528	0.027212	0.246888969
		60	stand	19.1434	13.9819	9.5276	7.1344	5.2996	0.0508	5.9055	10.55815	283.558	1.2736	1.0065	1.758736794	14.48124518	0.024874	0.204251561
		90	35	35.301	32.3932	20.5171	15.9974	3.6838	0.0508	5.9055	24.1953	297.195	1.21703	1.007	1.823649628	15.76995585	0.025932	0.223554947
		90	45	45.1463	35.4764	28.0508	17.8102	5.8376	0.0508	5.9055	26.6433	299.643	1.20688	1.0071	1.835302108	16.00129185	0.026122	0.227020091
		90	55	55.4118	40.4573	28.9369	21.9353	9.7372	0.0508	5.9055	31.1963	304.196	1.18799	1.0073	1.856974388	16.43155035	0.026476	0.233464863
		90	65	64.97	55.7133	33.2353	24.3726	5.3178	0.0508	5.9055	40.04295	313.043	1.1513	1.0076	1.899084442	17.26755878	0.027162	0.245987296
		90	Stand	18.7002	15.2881	8.5969	7.7106	5.4994	0.0508	5.9055	11.49935	284.499	1.2697	1.0066	1.763216906	14.57018858	0.024947	0.20558383
4"	40	30	35	35.281	26.9681	19.5425	13.6042	2.393	0.0508	5.9055	20.28615	293.286	1.23325	1.0069	1.805042074	15.40054118	0.025629	0.218021545
		30	45	45.307	32.1527	25.6576	17.2823	3.4964	0.0508	5.9055	24.7175	297.718	1.21487	1.0071	1.8261353	15.81930375	0.025973	0.224294121
		30	55	55.275	41.6361	29.5131	21.6252	4.8744	0.0508	5.9055	31.63065	304.631	1.18619	1.0073	1.859041894	16.47259643	0.026509	0.234079685
		30	65	65.1163	57.2602	35.6283	25.6576	2.6586	0.0508	5.9055	41.4589	314.459	1.14542	1.0077	1.905824364	17.40136605	0.027272	0.247991573
		30	Stand	20.5172	15.5096	9.4388	5.8492	3.8994	0.0508	5.9055	10.6794	283.679	1.2731	1.0065	1.759313944	14.4927033	0.024884	0.204423191
		60	35	35.3334	32.4291	20.0741	12.8951	1.5954	0.0508	5.9055	22.6621	295.662	1.22339	1.007	1.816351596	15.62506845	0.025813	0.221384703
		60	45	45.0963	35.6752	24.4169	17.4154	2.4178	0.0508	5.9055	26.5453	299.545	1.20729	1.0071	1.834835628	15.99203085	0.026115	0.226881372
		60	55	55.3896	40.5281	30.621	22.1569	3.4814	0.0508	5.9055	31.3425	304.343	1.18739	1.0073	1.8576703	16.44536625	0.026487	0.233671809
		60	65	65.2121	58.6269	39.0403	27.6518	4.7472	0.0508	5.9055	43.13935	316.139	1.13845	1.0077	1.913823306	17.56016858	0.027402	0.25037025
		60	Stand	19.0989	14.9779	8.9073	7.4004	5.135	0.0508	5.9055	11.18915	284.189	1.27098	1.0066	1.761740354	14.54087468	0.024923	0.205144742
		90	35	35.1403	29.5826	20.2513	15.5097	4.2542	0.0508	5.9055	22.54615	295.546	1.22387	1.007	1.815799674	15.61411118	0.025804	0.221220575
		90	45	45.0366	32.8486	20.1184	16.1745	5.5788	0.0508	5.9055	24.51155	297.512	1.21572	1.0071	1.825154978	15.79984148	0.025957	0.224002599
		90	55	55.2	42.7438	27.5634	21.0933	6.9882	0.0508	5.9055	31.91855	304.919	1.185	1.0073	1.860412298	16.49980298	0.026532	0.234487208
		90	65	65.306	58.2313	34.5204	24.4168	7.7992	0.0508	5.9055	41.32405	314.324	1.14598	1.0077	1.905182478	17.38862273	0.027262	0.247800693
		90	stand	19.8524	13.9144	11.653	6.6912	5.735	0.0508	5.9055	10.3028	283.303	1.27466	1.0065	1.757521328	14.4571146	0.024854	0.203890113

Tabung : 4" atau $(L/dha) = 5.9$

Pr	g'	Beta(1/k)	Gr	dha(lt)-m	Ra	Nu	h	qkonv	rw2-out	rw2-in	rw1-out	rw1-in	Rthermal	q total(W)	dq(%)
0.7108	8.496	0.003392	31338.75587	0.001909032	22275.60765	1.834307	1.8593142	2.0244864	0.052	0.0508	0.0266	0.0254	17.00790517	1.944560465	0.0411
0.70888	8.496	0.003306	37752.63553	0.001822204	26762.16897	1.920414	1.9916196	2.9724608	0.052	0.0508	0.0266	0.0254	15.92393026	2.58804198	0.14854
0.70766	8.496	0.003253	38781.09183	0.001810001	27443.74746	1.932526	2.0330921	3.3612173	0.052	0.0508	0.0266	0.0254	15.61319012	3.200851306	0.0501
0.70613	8.496	0.00319	47888.20277	0.001717025	33815.29004	2.036071	2.1800459	4.808175	0.052	0.0508	0.0266	0.0254	14.60728052	4.063665369	0.18321
0.71366	8.496	0.003529	17316.70285	0.002214203	12358.15828	1.583081	1.549435	0.7866661	0.052	0.0508	0.0266	0.0254	20.27128099	0.647896895	0.21418
0.71075	4.905	0.00339	15551.17112	0.002274537	11052.97213	1.539517	1.5614852	1.4569924	0.052	0.0508	0.0266	0.0254	20.12017449	1.650517495	-0.11725
0.70936	4.905	0.003327	23723.72528	0.002046624	16828.65998	1.710122	1.7635446	2.7379026	0.052	0.0508	0.0266	0.0254	17.89401857	2.331415933	0.17435
0.70764	4.905	0.003253	24235.9162	0.002035724	17150.35403	1.718236	1.8079836	3.240742	0.052	0.0508	0.0266	0.0254	17.47117078	2.775286248	0.16771
0.70608	4.905	0.003188	27380.73583	0.00197457	19332.9903	1.770473	1.8967459	4.18689	0.052	0.0508	0.0266	0.0254	16.68588909	3.531391086	0.18562
0.71361	4.905	0.003527	9255.891507	0.002589579	6605.101019	1.353582	1.3255568	0.617167	0.052	0.0508	0.0266	0.0254	23.57833298	0.587140745	0.05114
0.7102	9.81	0.003365	35661.52223	0.001848348	25326.85499	1.894131	1.9338294	2.1812342	0.052	0.0508	0.0266	0.0254	16.37916013	1.930330966	0.12998
0.70959	9.81	0.003337	37016.77983	0.001831193	26266.70626	1.911463	1.9658213	2.274751	0.052	0.0508	0.0266	0.0254	16.12384396	2.437923618	-0.06693
0.70845	9.81	0.003287	36253.25668	0.001840759	25683.65323	1.900767	1.9812598	2.4838425	0.052	0.0508	0.0266	0.0254	16.00358389	2.854023218	-0.1297
0.70624	9.81	0.003194	53977.53356	0.001666405	38121.0535	2.098002	2.2435511	4.8317978	0.052	0.0508	0.0266	0.0254	14.2133599	4.196910542	0.15127
0.71338	9.81	0.003515	20169.00522	0.002131388	14388.06738	1.644429	1.6151112	0.8629776	0.052	0.0508	0.0266	0.0254	19.4750616	0.677830975	0.27315
0.71118	8.496	0.00341	26747.63276	0.001986152	19022.34034	1.763318	1.7792158	1.751846	0.052	0.0508	0.0266	0.0254	17.74249289	1.853629036	-0.14099
0.71007	8.496	0.003359	27788.12288	0.001967292	19731.52978	1.779528	1.8196638	2.2192637	0.052	0.0508	0.0266	0.0254	17.36345896	2.407964916	-0.26194
0.70834	8.496	0.003283	33704.24175	0.001874617	23874.14139	1.866365	1.9478778	2.8358501	0.052	0.0508	0.0266	0.0254	16.26601182	3.098522279	-0.15073
0.70589	8.496	0.00318	46207.01261	0.001732434	32616.84981	2.017786	2.1664992	5.3812802	0.052	0.0508	0.0266	0.0254	14.69429855	4.250471691	0.10119
0.71358	8.496	0.003525	22572.73383	0.002072229	16107.4548	1.691497	1.6571028	0.8681062	0.052	0.0508	0.0266	0.0254	18.99905667	0.874664479	0.24007
0.71058	4.905	0.003382	21751.63117	0.002091514	15456.37142	1.674139	1.7013851	2.2267915	0.052	0.0508	0.0266	0.0254	18.52253913	1.821456538	0.23708
0.70961	4.905	0.003338	19158.71736	0.002158948	13595.28783	1.621294	1.6669143	2.5664521	0.052	0.0508	0.0266	0.0254	18.8912925	2.259162522	-0.08887
0.70841	4.905	0.003286	17940.22903	0.002194708	12709.11613	1.594202	1.6624253	2.824369	0.052	0.0508	0.0266	0.0254	18.94043996	2.740601596	-0.25571
0.70547	4.905	0.0031G3	25539.76878	0.002009229	18017.41713	1.739553	1.8766913	4.174385	0.052	0.0508	0.0266	0.0254	16.85681698	3.586970189	0.09873
0.71345	4.905	0.003519	10136.25554	0.002531421	7231.73901	1.384603	1.3586051	0.8315898	0.052	0.0508	0.0266	0.0254	23.02158505	0.606556845	0.18173
0.71061	9.81	0.003384	31397.41678	0.00190814	22311.42705	1.835044	1.8642587	2.2416499	0.052	0.0508	0.0266	0.0254	16.96462819	1.820617561	-0.01822
0.71012	9.81	0.003361	36091.36181	0.00184282	25629.27409	1.89976	1.941412	2.4978187	0.052	0.0508	0.0266	0.0254	16.31788487	2.421134867	-0.07453
0.70827	9.81	0.00328	41927.28352	0.001775046	29695.85229	1.971009	2.0588257	3.1134798	0.052	0.0508	0.0266	0.0254	15.42667086	3.12522387	-0.02238
0.70592	9.81	0.003181	57195.93254	0.001642451	40375.69486	2.128358	2.2843433	4.8775632	0.052	0.0508	0.0266	0.0254	13.97188057	4.115895473	0.28637
0.71367	9.81	0.00353	19610.36527	0.002146408	13995.41371	1.633093	1.5980375	0.861459	0.052	0.0508	0.0266	0.0254	19.6761145	0.717489218	0.03506

2

Tabung : 4" atau (L/dha) = 5.9

D2	Pvac	Tenta	Heater	Tw2-out	Tw2-in	T~	Tw1-out	Tw1-in	dha(m)	L/dha	Tf(C)	Tf (K)	rho	Cp	Miu($\times 10^{-5}$)	Viskin($\times 10^{-6}$)	Kf	Alfa($\times 10^{-4}$)
4"	60	30	35	35.1399	27.3568	15.0224	13.5288	2.3058	0.0508	5.9055	20.4428	293.443	1.2326	1.0069	1.805787728	15.4153446	0.025641	0.218243283
		30	45	45.1089	35.1298	24.6386	17.7255	3.483	0.0508	5.9055	26.42765	299.428	1.20777	1.0071	1.834275614	15.98091293	0.026106	0.226714839
		30	55	55.3556	41.158	28.8485	19.8527	4.8626	0.0508	5.9055	30.50535	303.505	1.19086	1.0073	1.853685466	16.36625558	0.026422	0.232486823
		30	65	64.9715	59.423	33.7672	24.2838	5.7474	0.0508	5.9055	41.8534	314.853	1.14379	1.0077	1.907702184	17.4386463	0.027303	0.248549988
		30	Stand	20.7389	13.8256	9.616	5.6278	0.8454	0.0508	5.9055	9.7267	282.727	1.27705	1.0065	1.754779092	14.40267315	0.02481	0.203074644
		60	35	35.1781	33.4876	20.1626	14.2692	2.1034	0.0508	5.9055	23.8784	296.878	1.21835	1.007	1.822141184	15.7400088	0.025908	0.223106375
		60	45	45.1806	38.2607	21.4479	16.9278	4.3056	0.0508	5.9055	27.59425	300.594	1.20294	1.0072	1.83982863	16.09115663	0.026196	0.228366161
		60	55	55.4232	44.428	29.7346	20.8276	5.8878	0.0508	5.9055	32.6278	305.628	1.18206	1.0074	1.863788328	16.5668271	0.026587	0.235491151
		60	65	65.2047	57.2531	35.8054	24.9928	6.127	0.0508	5.9055	41.12295	314.123	1.14682	1.0077	1.904225242	17.36961878	0.027246	0.247516036
		60	Stand	19.232	15.1109	9.3945	6.4254	3.8112	0.0508	5.9055	10.76815	283.768	1.27273	1.0065	1.759736394	14.50109018	0.02489	0.204548816
		90	35	35.3229	29.5383	17.1937	12.8508	2.9748	0.0508	5.9055	21.19455	294.195	1.22948	1.0069	1.809366058	15.48638498	0.025699	0.219307386
		90	45	45.1068	36.8501	23.3091	18.5673	3.827	0.0508	5.9055	27.7087	300.709	1.20246	1.0072	1.840373412	16.10197215	0.026205	0.228528165
		90	55	55.406	42.7614	30.8869	20.2958	4.2426	0.0508	5.9055	31.5286	304.529	1.18662	1.0073	1.858556136	16.4629527	0.026501	0.233935233
		90	65	65.0023	58.5385	34.9637	27.0315	5.5704	0.0508	5.9055	42.785	315.785	1.13992	1.0077	1.9121366	17.5266825	0.027375	0.249868668
		90	Stand	19.498	14.6233	9.6603	6.8243	5.3178	0.0508	5.9055	10.7238	283.724	1.27291	1.0065	1.759525288	14.4968991	0.024887	0.204486039



Tabung : 4" atau $(L/dha) = 5.9$

Pr	g'	Beta(1/k)	Gr	dha(lt)-m	Ra	Nu	h	qkonv	rw2-out	rw2-in	rw1-out	rw1-in	Rthermal	q total(W)	dq(%)
0.71114	8.496	0.003408	27608.64493	0.001970482	19633.59243	1.777316	1.7941903	1.5922851	0.052	0.0508	0.0266	0.0254	17.60017541	1.865555271	-0.06095
0.70964	8.496	0.00334	31686.70948	0.00190377	22486.25435	1.838628	1.8897032	1.7772176	0.052	0.0508	0.0266	0.0254	16.74550115	2.485796013	-0.10722
0.70862	8.496	0.003295	36487.01195	0.001837804	25855.56004	1.903939	1.9805477	2.6314676	0.052	0.0508	0.0266	0.0254	16.00908976	3.154020669	-0.10088
0.70579	8.496	0.003176	51094.43459	0.00168943	36061.76983	2.069076	2.2240627	4.6805801	0.052	0.0508	0.0266	0.0254	14.33185356	4.132340575	0.30224
0.71382	8.496	0.003537	19460.76633	0.002150521	13891.45163	1.630052	1.5921626	1.0846421	0.052	0.0508	0.0266	0.0254	19.74581112	1.007479504	-0.13834
0.71028	4.905	0.003368	21002.39622	0.002109923	14917.59039	1.659355	1.6925265	2.2532944	0.052	0.0508	0.0266	0.0254	18.61587039	1.776693719	0.25333
0.70935	4.905	0.003327	22031.03326	0.002084851	15627.74511	1.67876	1.7313777	2.0583866	0.052	0.0508	0.0266	0.0254	18.21363686	2.244197593	0.14359
0.70809	4.905	0.003272	22614.5521	0.00207127	16013.20717	1.689018	1.7679305	2.0397966	0.052	0.0508	0.0266	0.0254	17.85134083	2.774883997	0.01783
0.70597	4.905	0.003183	27360.77045	0.00197493	19315.86294	1.770081	1.8987213	3.9411144	0.052	0.0508	0.0266	0.0254	16.6692476	3.544113173	0.17784
0.71356	4.905	0.003524	11699.57352	0.002442256	8348.323844	1.435207	1.4064125	0.7167888	0.052	0.0508	0.0266	0.0254	22.25250054	0.6926805	0.20054
0.71095	9.81	0.003399	38021.27799	0.001818976	27031.27939	1.925224	1.9479247	1.7874375	0.052	0.0508	0.0266	0.0254	16.26563723	1.988738562	0.12717
0.70932	9.81	0.003325	37697.16845	0.001822874	26739.46202	1.920007	1.980857	2.2406793	0.052	0.0508	0.0266	0.0254	16.00669762	2.578907965	-0.03144
0.70837	9.81	0.003284	43756.70717	0.001756194	30995.84458	1.992235	2.0786237	3.0552787	0.052	0.0508	0.0266	0.0254	15.28631561	3.347006649	-0.06977
0.70555	9.81	0.003167	52213.91701	0.001680301	36839.72495	2.080145	2.2418821	5.2945733	0.052	0.0508	0.0266	0.0254	14.22342733	4.178451413	0.16731
0.71357	9.81	0.003525	21026.31069	0.002109322	15003.72454	1.661745	1.6281806	0.7426451	0.052	0.0508	0.0266	0.0254	19.3242769	0.73380236	0.17397

Tabung : 3.5 " atau $(L/dha) = 7.87$

D2	Pvac	Tenta	Heater	Tw2-out	Tw2-in	T~	Tw1-out	Tw1-in	dha(m)	L/dha	Tf(C)	Tf (K)	rho	Cp	Miu($\times 10^{-5}$)	Viskin($\times 10^{-6}$)	Kf	Alfa($\times 10^{-4}$)
3.5"	20	30	35	35.2862	30.4953	16.6618	4.0768	2.393	0.0381	7.87402	17.28605	290.286	1.24569	1.0068	1.790761598	15.11703173	0.025396	0.213774904
		30	45	45.3532	37.1865	19.9854	5.4063	3.3426	0.0381	7.87402	21.2964	294.296	1.22906	1.0069	1.809850864	15.4960098	0.025707	0.219451554
		30	55	55.2592	46.0935	24.6384	6.0267	3.8612	0.0381	7.87402	26.0601	299.06	1.2093	1.0071	1.832526076	15.94617945	0.026077	0.226194572
		30	65	65.2915	59.3952	32.1718	11.2998	4.3428	0.0381	7.87402	35.3475	308.348	1.17077	1.0075	1.8767341	16.82383875	0.026798	0.239340886
		30	stand	21.7138	16.4849	7.6221	4.6089	1.861	0.0381	7.87402	10.5469	283.547	1.27365	1.0065	1.758683244	14.48018205	0.024873	0.204235637
		60	35	35.2524	34.9193	14.7121	3.3021	2.5702	0.0381	7.87402	19.1107	292.111	1.23812	1.0069	1.799446932	15.28946115	0.025538	0.216357696
		60	45	44.9694	37.8068	18.1243	5.5392	2.9246	0.0381	7.87402	21.673	294.673	1.2275	1.007	1.81164348	15.5315985	0.025737	0.219984632
		60	55	55.1468	46.9357	24.1066	6.2925	2.4818	0.0381	7.87402	26.6141	299.614	1.207	1.0071	1.835163116	15.99853245	0.02612	0.226978759
		60	65	65.1244	54.1664	30.3993	12.8065	2.3928	0.0381	7.87402	33.48645	306.486	1.17849	1.0074	1.867875502	16.64796953	0.026653	0.23670657
		60	stand	23.3535	17.1936	7.8879	2.8805	2.3042	0.0381	7.87402	10.03705	283.037	1.27576	1.0065	1.756256358	14.43200123	0.024834	0.203513944
		90	35	35.1714	30.1779	15.2439	4.2984	3.4566	0.0381	7.87402	17.23815	290.238	1.24589	1.0068	1.790533594	15.11250518	0.025392	0.213707101
		90	45	45.2703	37.6298	17.1936	7.2673	4.3426	0.0381	7.87402	22.44855	295.449	1.22428	1.007	1.815335098	15.60488798	0.025797	0.221082423
		90	55	55.3886	46.7584	22.6887	6.6026	4.7726	0.0381	7.87402	26.6805	299.681	1.20673	1.0071	1.83547918	16.00480725	0.026125	0.227072748
		90	65	65.2082	56.438	26.1452	8.3309	4.6086	0.0381	7.87402	32.38445	305.384	1.18307	1.0073	1.862629982	16.54383053	0.026568	0.235146689
		90	Stand	23.442	17.9912	6.7358	3.8109	2.393	0.0381	7.87402	10.90105	283.901	1.27218	1.0066	1.760368998	14.51364923	0.024901	0.204736936
3.5"	40	30	35	35.1486	33.4643	16.7949	6.9128	2.4314	0.0381	7.87402	20.18855	293.189	1.23365	1.0069	1.804577498	15.39131798	0.025621	0.217883393
		30	45	45.1962	39.5212	20.9161	5.8051	2.9248	0.0381	7.87402	22.66315	295.663	1.22339	1.007	1.816356594	15.62516768	0.025813	0.221386189
		30	55	55.3609	46.0494	22.157	6.0266	3.9748	0.0381	7.87402	26.038	299.038	1.20939	1.0071	1.83242088	15.944091	0.026075	0.226163289
		30	65	65.273	58.1028	30.0449	9.3059	4.7476	0.0381	7.87402	33.70435	306.704	1.17759	1.0074	1.868912706	16.66856108	0.02667	0.237015007
		30	Stand	21.6251	16.928	8.7297	3.3235	2.3044	0.0381	7.87402	10.12575	283.126	1.27539	1.0065	1.75667857	14.44038338	0.024841	0.203639499
		60	35	35.1013	32.5338	16.8835	5.5505	2.7224	0.0381	7.87402	19.04215	292.042	1.23841	1.0069	1.799120634	15.28298318	0.025532	0.216260663
		60	45	45.2568	40.1113	21.0048	7.9764	3.5834	0.0381	7.87402	24.04385	297.044	1.21766	1.007	1.822928726	15.75564383	0.025921	0.22334057
		60	55	55.1883	44.6312	21.9354	5.3621	4.5066	0.0381	7.87402	24.99665	297.997	1.21371	1.0071	1.827464054	15.84568343	0.025995	0.224689258
		60	65	65.1113	59.0158	29.1142	8.907	4.6088	0.0381	7.87402	33.9614	306.961	1.17652	1.0074	1.870136264	16.6928523	0.02669	0.237378862
		60	Stand	21.3595	17.1936	6.9573	2.9247	1.6838	0.0381	7.87402	10.05915	283.059	1.27567	1.0065	1.756361554	14.43408968	0.024835	0.203545227
		90	35	35.1761	31.6475	16.972	7.1788	2.077	0.0381	7.87402	19.41315	292.413	1.23687	1.0069	1.800886594	15.31804268	0.025561	0.216785814
		90	45	45.1069	39.5797	21.4036	7.0016	3.1656	0.0381	7.87402	23.29065	296.291	1.22079	1.007	1.819343494	15.68446643	0.025862	0.222274415
		90	55	55.0453	48.9741	21.0492	6.3811	31.8612	0.0381	7.87402	27.6776	300.678	1.20259	1.0072	1.840225376	16.0990332	0.026203	0.228484143
		90	65	65.0832	58.8635	27.7849	7.8877	4.8614	0.0381	7.87402	33.3756	306.376	1.17895	1.0074	1.867347856	16.6374942	0.026645	0.226489632
		90	stand	22.0237	17.7699	7.3119	3.0577	1.6838	0.0381	7.87402	10.4138	283.414	1.2742	1.0065	1.758049688	14.4676041	0.024863	0.204047234

Tabung : 3.5 " atau (L/dha) = 7.87

Pr	g'	Beta	Gr	dha(lt)-m	Ra	Nu	h	qkonv	rw2-out	rw2-in	rw1-out	rw1-in	Rthermal	q total(W)	dq(%)
0.71193	8.496	0.003445	187127.8257	0.001831852	133221.6299	2.999358	1.9992727	3.3679857	0.04565	0.04445	0.0266	0.0254	14.09756612	2.33325382	0.44347
0.71093	8.496	0.003398	211310.6288	0.00177703	150226.199	3.090801	2.0854714	4.0698644	0.04565	0.04445	0.0266	0.0254	13.54180011	3.102290659	0.31189
0.70973	8.496	0.003344	247572.4534	0.001708045	175710.8291	3.214284	2.1999762	5.4808637	0.04565	0.04445	0.0266	0.0254	12.87088311	3.993354579	0.3725
0.70741	8.496	0.003243	258941.9093	0.00168898	183178.9052	3.247906	2.2844261	6.3824315	0.04565	0.04445	0.0266	0.0254	12.4191607	4.907634378	0.30051
0.71361	8.496	0.003527	93861.32316	0.002176724	66980.68622	2.525643	1.6488434	0.665047	0.04565	0.04445	0.0266	0.0254	16.95526522	1.17089292	-0.43202
0.71147	4.905	0.003423	125604.5929	0.002023828	89364.19174	2.71441	1.8194238	2.778846	0.04565	0.04445	0.0266	0.0254	15.42670255	2.118547362	0.31168
0.71083	4.905	0.003394	123142.4949	0.002033869	87533.59515	2.700401	1.8241265	3.0729578	0.04565	0.04445	0.0266	0.0254	15.38861117	2.732202375	0.12472
0.7096	4.905	0.003338	143773.648	0.001956614	102021.2738	2.805804	1.923563	4.5868579	0.04565	0.04445	0.0266	0.0254	14.62679144	3.600584601	0.27392
0.70788	4.905	0.003263	132086.8537	0.001998527	93501.42904	2.745296	1.9205075	4.5226809	0.04565	0.04445	0.0266	0.0254	14.64902629	4.282305101	0.05613
0.71374	4.905	0.003533	65864.476	0.002378276	47010.15968	2.311706	1.5067756	1.0099639	0.04565	0.04445	0.0266	0.0254	18.49248181	1.138262577	-0.11271
0.71194	9.81	0.003445	211822.6483	0.001775955	150805.1142	3.093774	2.0619057	3.0209907	0.04565	0.04445	0.0266	0.0254	13.68912463	2.316788024	0.30396
0.71064	9.81	0.003385	228969.8443	0.001741728	162714.6407	3.153126	2.1349233	2.8367082	0.04565	0.04445	0.0266	0.0254	13.243218	3.090464871	-0.08211
0.70958	9.81	0.003337	283813.3604	0.001650695	201388.2488	3.325777	2.2804887	4.9104769	0.04565	0.04445	0.0266	0.0254	12.43947823	4.068980954	0.20681
0.70815	9.81	0.003275	312272.721	0.001611727	221137.1414	3.404474	2.3740028	5.6610236	0.04565	0.04445	0.0266	0.0254	11.97513919	5.060450576	0.11868
0.71352	9.81	0.003522	128649.7982	0.002011744	91794.81352	2.732682	1.7859781	0.6992494	0.04565	0.04445	0.0266	0.0254	15.703395	1.340410784	-0.47833
0.7112	8.496	0.003411	179630.4117	0.001850674	127753.663	2.968096	1.9959809	2.8801026	0.04565	0.04445	0.0266	0.0254	14.11974145	2.317124582	0.13947
0.71058	8.496	0.003382	219472.5408	0.001760273	155953.7226	3.119849	2.1137559	4.587127	0.04565	0.04445	0.0266	0.0254	13.36931335	3.161822817	0.35225
0.70974	8.496	0.003344	247383.649	0.001708371	175578.1947	3.213677	2.1994163	4.8737443	0.04565	0.04445	0.0266	0.0254	12.87399395	3.991465291	0.18978
0.70782	8.496	0.00326	269070.1411	0.001672856	190454.28	3.279686	2.2958027	6.7713597	0.04565	0.04445	0.0266	0.0254	12.36084758	4.896541245	0.3016
0.71372	8.496	0.003532	108276.7469	0.002100348	77279.12414	2.617581	1.7066189	1.0193959	0.04565	0.04445	0.0266	0.0254	16.40332059	1.177852978	0.04853
0.71149	4.905	0.003424	107311.7293	0.002105054	76351.16462	2.609688	1.7488655	2.8317928	0.04565	0.04445	0.0266	0.0254	16.02281029	2.02080031	0.31287
0.71024	4.905	0.003367	118221.9225	0.00205471	83965.82442	2.672454	1.8181529	3.5127199	0.04565	0.04445	0.0266	0.0254	15.43703037	2.699573623	0.17455
0.71	4.905	0.003356	142374.2845	0.001961404	101085.8612	2.79935	1.9099166	4.2355	0.04565	0.04445	0.0266	0.0254	14.72664547	3.441496578	0.23118
0.70776	4.905	0.003258	158921.6527	0.001908223	112478.3333	2.875093	2.0140896	5.7305315	0.04565	0.04445	0.0266	0.0254	13.99864874	4.322024297	0.2605
0.71374	4.905	0.003533	65636.95672	0.002380334	46847.40725	2.309702	1.5055738	0.8583826	0.04565	0.04445	0.0266	0.0254	18.50672395	1.063164937	-0.23558
0.7114	9.81	0.00342	193486.8175	0.001816612	137645.8859	3.023956	2.0287696	3.4069951	0.04565	0.04445	0.0266	0.0254	13.90206956	2.380875729	0.11703
0.71043	9.81	0.003375	242500.2786	0.001716908	172278.8273	3.198472	2.1711125	4.7647969	0.04565	0.04445	0.0266	0.0254	13.0333259	3.218002742	0.30066
0.70933	9.81	0.003326	296538.7808	0.001632693	210344.0313	3.362151	2.312258	4.9387172	0.04565	0.04445	0.0266	0.0254	12.27751709	1.888337832	1.40423
0.70791	9.81	0.003264	326120.407	0.001594338	230862.6255	3.441304	2.4066319	7.0029245	0.04565	0.04445	0.0266	0.0254	11.82161331	5.094211629	0.25826
0.71365	9.81	0.003528	134557.3203	0.00198929	96026.36739	2.763645	1.8034714	1.5372472	0.04565	0.04445	0.0266	0.0254	15.55739462	1.307410431	-0.21447

Tabung : 3.5 " atau (L/dha) = 7.87

D2	Pvac	Tenta	Heater	Tw2-out	Tw2-in	T~	Tw1-out	Tw1-in	dha(m)	L/dha	Tf(C)	Tf (K)	rho	Cp	Miu(x10^-5)	Viskin(x10^-6)	Kf	Alfa(x10^-4)
3.5"	60	30	35	35.1863	29.1659	15.4656	4.5201	2.0386	0.0381	7.87402	16.843	289.843	1.24753	1.0068	1.78865268	15.0751635	0.025362	0.213147767
		30	45	45.0819	42.061	21.4479	5.5394	3.629	0.0381	7.87402	23.8002	296.8	1.21867	1.007	1.821768952	15.7326189	0.025902	0.222995683
		30	55	55.1444	47.7333	20.5172	4.2984	3.861	0.0381	7.87402	26.01585	299.016	1.20948	1.0071	1.832315446	15.94199783	0.026074	0.226131936
		30	65	65.2358	57.7291	27.5633	5.8938	4.7726	0.0381	7.87402	31.81145	304.811	1.18544	1.0073	1.859902502	16.48968203	0.026523	0.234335607
		30	Stand	21.7581	16.8394	8.4195	3.8997	1.9498	0.0381	7.87402	10.36955	283.37	1.27438	1.0065	1.757839058	14.46342248	0.024859	0.203984598
3.5"	60	60	35	35.1773	30.3179	17.2822	5.0076	1.9498	0.0381	7.87402	17.66275	290.663	1.24413	1.0068	1.79255469	15.15262988	0.025425	0.214308123
		60	45	45.2681	41.8838	21.0491	6.913	2.7722	0.0381	7.87402	24.3984	297.398	1.21619	1.0071	1.824616384	15.7891488	0.025948	0.223842435
		60	55	55.2115	46.3598	23.4863	6.9131	4.761	0.0381	7.87402	26.63645	299.636	1.20691	1.0071	1.835269502	16.00064453	0.026122	0.227010395
		60	65	65.255	58.3554	27.1202	6.1152	5.0768	0.0381	7.87402	32.2353	305.235	1.18368	1.0073	1.861920028	16.52973585	0.026556	0.234935567
		60	Stand	21.5364	17.9469	7.1787	2.9689	0.886	0.0381	7.87402	10.4579	283.458	1.27402	1.0065	1.758259604	14.47177155	0.024866	0.204109657
		90	35	35.0126	28.7043	16.263	3.811	1.5068	0.0381	7.87402	16.25765	289.258	1.24996	1.0068	1.785866414	15.01984793	0.025316	0.212319204
		90	45	45.3113	43.1248	20.3402	4.6086	2.3044	0.0381	7.87402	23.8667	296.867	1.2184	1.007	1.822085492	15.73890315	0.025907	0.223089814
		90	55	55.1899	51.5445	22.5114	6.7357	4.3428	0.0381	7.87402	29.1401	302.14	1.19652	1.0072	1.847186876	16.23723945	0.026316	0.230554312
		90	65	65.2482	59.7498	29.646	7.9825	4.4182	0.0381	7.87402	33.86615	306.866	1.17692	1.0074	1.869682874	16.68385118	0.026683	0.237244035
		90	Stand	22.5558	18.8774	9.2171	2.969	1.5952	0.0381	7.87402	10.9232	283.923	1.27209	1.0066	1.760474432	14.5157424	0.024902	0.20476829

Tabung : 3.5 " atau (L/dha) = 7.87

Pr	g'	Beta	Gr	dha(lt)-m	Ra	Nu	h	qkonv	rw2-out	rw2-in	rw1-out	rw1-in	Rthermal	q total(W)	dq(%)
0.71204	8.496	0.00345	175810.7685	0.001860645	125184.1678	2.953058	1.9657459	2.6402838	0.04565	0.04445	0.0266	0.0254	14.32689611	2.313669321	0.24482
0.7103	8.496	0.003369	233600.0825	0.001733033	165926.1269	3.16857	2.1541034	4.2755601	0.04565	0.04445	0.0266	0.0254	13.13110155	3.156848636	0.45307
0.70975	8.496	0.003344	268564.4695	0.001673643	190612.5681	3.280368	2.2449105	4.7489495	0.04565	0.04445	0.0266	0.0254	12.62629856	4.06163372	0.19995
0.7083	8.496	0.003281	293872.6762	0.001636384	208149.1754	3.353346	2.3344362	6.3733438	0.04565	0.04445	0.0266	0.0254	12.16706456	4.969415564	0.36261
0.71366	8.496	0.003529	102569.5178	0.002128974	73199.51716	2.58233	1.6849177	1.235019	0.04565	0.04445	0.0266	0.0254	16.60619897	1.192825645	-0.14539
0.71183	4.905	0.00344	102883.5221	0.002127348	73236.02119	2.582652	1.7234915	2.6530552	0.04565	0.04445	0.0266	0.0254	16.24911411	2.04488071	0.38482
0.71015	4.905	0.003362	127956.8214	0.002014462	90868.58792	2.725763	1.8563888	3.1707826	0.04565	0.04445	0.0266	0.0254	15.13249375	2.808254918	0.25086
0.70959	4.905	0.003337	139493.8366	0.001971452	98983.5553	2.784681	1.9092084	4.2370967	0.04565	0.04445	0.0266	0.0254	14.731866659	3.424583008	0.23679
0.70819	4.905	0.003276	169923.0071	0.001876558	120337.974	2.924053	2.0381082	5.4479097	0.04565	0.04445	0.0266	0.0254	13.84135573	4.347709947	0.31806
0.71364	4.905	0.003528	68444.0663	0.002355543	48844.11719	2.333929	1.5232615	0.8127036	0.04565	0.04445	0.0266	0.0254	18.29939303	1.128474587	-0.23934
0.71219	9.81	0.003457	206971.4694	0.001786271	147402.0975	3.076172	2.0440307	2.6595144	0.04565	0.04445	0.0266	0.0254	13.80313851	2.427404461	0.40355
0.71028	9.81	0.003369	284169.1687	0.001650178	201840.622	3.327643	2.2626976	4.1855268	0.04565	0.04445	0.0266	0.0254	12.53216476	3.431721559	0.38846
0.70896	9.81	0.00331	305192.9441	0.001620994	216371.108	3.385981	2.3387324	4.5399925	0.04565	0.04445	0.0266	0.0254	12.14591063	4.186355519	0.17972
0.70778	9.81	0.003259	328819.7159	0.001591056	232733.1571	3.448254	2.4149372	6.4098314	0.04565	0.04445	0.0266	0.0254	11.78319753	5.162435733	0.35652
0.71352	9.81	0.003522	144274.9892	0.001954912	102942.9749	2.81212	1.8380222	1.027004	0.04565	0.04445	0.0266	0.0254	15.27719641	1.372018755	0.12043

Tabung : 3" atau (L/dha) = 11.8

D2	Pvac	Tenta	Heater	Tw2-out	Tw2-in	T~	Tw1-out	Tw1-in	dha(m)	L/dha	Tf(C)	Tf (K)	rho	Cp	Miu(x10^-5)	Viskin(x10^-6)	Kf	Alfa(x10^-4)
3"	20	30	35	35.1499	32.8808	12.2304	3.4564	1.3294	0.0254	11.811	18.1686	291.169	1.24203	1.0068	1.794962536	15.2004327	0.025465	0.215024153
		30	45	45.1215	42.6298	16.263	5.2289	2.2406	0.0254	11.811	23.92935	296.929	1.21814	1.007	1.822383706	15.74482353	0.025912	0.223178495
		30	55	55.3784	51.848	27.9177	8.5909	2.5066	0.0254	11.811	30.21945	303.219	1.19205	1.0073	1.852324582	16.33923803	0.0264	0.232082131
		30	65	65.1954	59.9374	29.3358	9.192	3.5084	0.0254	11.811	34.5647	307.565	1.17402	1.0074	1.873007972	16.74986415	0.026737	0.238232833
		30	stand	21.0047	19.0104	6.2483	2.836	1.3294	0.0254	11.811	10.9232	283.923	1.27209	1.0066	1.760474432	14.5157424	0.024902	0.20476829
		60	35	35.1273	31.8172	11.6988	3.9439	1.0632	0.0254	11.811	17.88055	290.881	1.24323	1.0068	1.793591418	15.17321193	0.025442	0.214616419
		60	45	45.142	40.9014	13.9587	4.9187	1.418	0.0254	11.811	22.91005	295.91	1.22237	1.007	1.817531838	15.64849973	0.025833	0.221735676
		60	55	55.06	52.3923	26.6327	9.9264	2.886	0.0254	11.811	31.15935	304.159	1.18815	1.0073	1.856798506	16.42805858	0.026473	0.23341256
		60	65	65.318	59.1147	28.8925	10.591	3.356	0.0254	11.811	34.85285	307.853	1.17283	1.0074	1.874379566	16.77709433	0.026759	0.238640709
		60	stand	21.2261	17.0608	7.0902	2.7474	0.9748	0.0254	11.811	9.9041	282.904	1.27631	1.0065	1.755623516	14.41943745	0.024823	0.203325754
		90	35	35.0437	32.0404	11.8319	4.4314	1.2408	0.0254	11.811	18.2359	291.236	1.24175	1.0068	1.795282884	15.20679255	0.02547	0.215119416
		90	45	44.9507	42.0434	13.6042	5.2542	1.5954	0.0254	11.811	23.6488	296.649	1.2193	1.007	1.821048288	15.7183116	0.02589	0.222781376
		90	55	55.4125	50.0434	20.962	7.8568	2.6838	0.0254	11.811	28.9501	301.95	1.19731	1.0072	1.846282476	16.21928445	0.026301	0.230285367
		90	65	65.2978	59.0511	27.4747	11.8761	3.7872	0.0254	11.811	35.4636	308.464	1.17029	1.0075	1.877286736	16.8348102	0.026807	0.239505226
		90	Stand	22.024	18.0357	6.2926	2.2599	1.1522	0.0254	11.811	10.1478	283.148	1.2753	1.0065	1.756783528	14.4424671	0.024842	0.203670711
3"	40	30	35	35.138	31.4509	12.585	5.0518	2.0806	0.0254	11.811	18.25135	291.251	1.24169	1.0068	1.795356426	15.20825258	0.025471	0.215141286
		30	45	45.0056	41.7435	14.0917	6.3176	2.5952	0.0254	11.811	24.03055	297.031	1.21772	1.007	1.822865418	15.75438698	0.02592	0.223321744
		30	55	55.2717	50.5753	24.6711	9.5911	3.8862	0.0254	11.811	30.0832	303.083	1.19261	1.0073	1.851676032	16.3263624	0.026389	0.23188927
		30	65	65.2714	58.8486	26.8099	11.4331	4.0016	0.0254	11.811	35.14085	308.141	1.17163	1.0075	1.875750446	16.80431033	0.026782	0.239048373
		30	Stand	20.5173	19.5865	6.7799	3.0133	1.3296	0.0254	11.811	11.2999	284.3	1.27052	1.0066	1.762267524	14.55134055	0.024932	0.205301508
		60	35	35.1571	31.3623	11.5215	4.8302	1.7088	0.0254	11.811	18.09625	291.096	1.24233	1.0068	1.79461815	15.19359563	0.025459	0.214921742
		60	45	45.1466	42.2885	23.2205	5.1287	3.0134	0.0254	11.811	23.7086	296.709	1.21905	1.007	1.821332936	15.7239627	0.025895	0.222866023
		60	55	55.0376	49.6446	25.8792	9.2674	3.6838	0.0254	11.811	29.456	302.456	1.19521	1.0072	1.84869056	16.267092	0.026341	0.231001468
		60	65	65.1065	59.2737	30.3107	10.1361	4.443	0.0254	11.811	34.7049	307.705	1.17344	1.0074	1.873675324	16.76311305	0.026748	0.238431286
		60	Stand	20.2957	18.5673	5.2735	2.8363	1.5954	0.0254	11.811	10.7018	283.702	1.273	1.0065	1.759420568	14.4948201	0.024885	0.204454898
		90	35	35.3662	31.7359	12.6736	3.3679	1.3294	0.0254	11.811	17.5519	290.552	1.24459	1.0068	1.792027044	15.14215455	0.025417	0.214151214
		90	45	45.4622	41.358	23.9738	7.331	2.9248	0.0254	11.811	24.3445	297.345	1.21642	1.0071	1.82435982	15.78405525	0.025944	0.22376614
		90	55	55.216	49.6888	26.5883	8.1093	3.4816	0.0254	11.811	28.89905	301.899	1.19752	1.0072	1.846039478	16.21446023	0.026297	0.230213105
		90	65	65.2044	58.6972	30.7539	12.8512	4.4182	0.0254	11.811	35.7742	308.774	1.169	1.0075	1.878765192	16.8641619	0.026831	0.23994488
		90	stand	21.8466	17.2379	5.4063	2.2156	1.3294	0.0254	11.811	9.72675	282.727	1.27705	1.0065	1.75477933	14.40267788	0.02481	0.203074715

Tabung : 3" atau (L/dha) = 11.8

Pr	g'	Beta	Gr	dha(lt)-m	Ra	Nu	h	qkonv	rw2-out	rw2-in	rw1-out	rw1-in	Rthermal	q total(W)	dq(%)
0.71171	8.496	0.003434	487143.3926	0.001922868	346703.7766	4.042694	2.0264945	2.5927755	0.0393	0.0381	0.0266	0.0254	12.54604145	2.695710845	-0.03818
0.71027	8.496	0.003368	565925.1163	0.001852141	401958.3095	4.244869	2.1651937	3.4838186	0.0393	0.0381	0.0266	0.0254	11.78220701	3.639462451	-0.04277
0.7087	8.496	0.003298	595171.856	0.001828955	421795.4004	4.312888	2.2413287	6.3166579	0.0393	0.0381	0.0266	0.0254	11.4031109	4.636611927	0.36234
0.70761	8.496	0.003251	655002.9467	0.001785677	463485.8655	4.449145	2.341671	6.878427	0.0393	0.0381	0.0266	0.0254	10.94113408	5.638080986	0.21999
0.71352	8.496	0.003522	301130.2839	0.002168578	214862.2393	3.488735	1.7101969	0.8509718	0.0393	0.0381	0.0266	0.0254	14.75136234	1.333795452	-0.36199
0.71178	4.905	0.003438	267638.6341	0.002233451	190499.7902	3.385334	1.6954879	1.9173119	0.0393	0.0381	0.0266	0.0254	14.87393936	2.290186827	-0.16281
0.71052	4.905	0.003379	319314.594	0.002137022	226880.1996	3.536528	1.7983813	2.3706753	0.0393	0.0381	0.0266	0.0254	14.05852471	3.110141419	-0.23776
0.70846	4.905	0.003288	332657.121	0.002115264	235674.318	3.57031	1.8605509	4.5325614	0.0393	0.0381	0.0266	0.0254	13.60954973	3.833631606	0.18232
0.70754	4.905	0.003248	360086.9536	0.002073776	254774.7663	3.64055	1.9176942	5.1178541	0.0393	0.0381	0.0266	0.0254	13.22254919	4.686085801	0.09214
0.71377	4.905	0.003535	156472.1609	0.002554197	111685.7563	2.962288	1.4475186	0.916676	0.0393	0.0381	0.0266	0.0254	17.31538181	1.169555498	-0.21622
0.71169	9.81	0.003434	527218.5347	0.001885237	375216.6994	4.149518	2.0804691	2.245144	0.0393	0.0381	0.0266	0.0254	12.23669134	2.762421561	-0.18726
0.71034	9.81	0.003371	645544.3797	0.001792182	458554.5745	4.433468	2.2594931	2.7511822	0.0393	0.0381	0.0266	0.0254	11.31644012	3.831178316	-0.2819
0.70901	9.81	0.003312	683024.2306	0.001767074	484272.7002	4.514028	2.3371048	4.4662569	0.0393	0.0381	0.0266	0.0254	10.96129528	4.810444263	-0.07155
0.70738	9.81	0.003242	693987.5533	0.001760053	490915.7608	4.534369	2.392752	5.4425844	0.0393	0.0381	0.0266	0.0254	10.72083951	5.737479786	-0.0514
0.71371	9.81	0.003532	343522.8029	0.002098335	245176.7074	3.605767	1.7632961	1.0369147	0.0393	0.0381	0.0266	0.0254	14.32587743	1.456929958	-0.28829
0.71169	8.496	0.003433	436483.8522	0.001976386	310639.9542	3.825535	1.9181223	2.5677596	0.0393	0.0381	0.0266	0.0254	13.21973686	2.500609532	-0.15738
0.71024	8.496	0.003367	535207.7529	0.001878162	380127.2188	4.167361	2.1263031	2.8467564	0.0393	0.0381	0.0266	0.0254	11.9863289	3.53823096	-0.31874
0.70873	8.496	0.003299	565042.8373	0.001852863	400462.3581	4.239649	2.2023855	6.9630157	0.0393	0.0381	0.0266	0.0254	11.59374484	4.432174478	0.0927
0.70746	8.496	0.003245	606925.3995	0.001820036	429378.3488	4.338322	2.2871608	7.2506294	0.0393	0.0381	0.0266	0.0254	11.18707048	5.476840437	-0.06362
0.71343	8.496	0.003517	306640.3454	0.00215877	218764.8961	3.50447	1.719927	0.9830187	0.0393	0.0381	0.0266	0.0254	14.67142933	1.307827586	-0.27768
0.71173	4.905	0.003435	253889.0884	0.002263095	180699.4495	3.340928	1.6743487	1.4178624	0.0393	0.0381	0.0266	0.0254	15.05387451	2.221906393	-0.26472
0.71032	4.905	0.00337	325723.7096	0.002126431	231368.9937	3.553892	1.8115464	2.2136279	0.0393	0.0381	0.0266	0.0254	13.96087746	3.017947842	0.58358
0.70889	4.905	0.003306	324402.5785	0.002128593	229964.4463	3.548486	1.8399448	5.5827909	0.0393	0.0381	0.0266	0.0254	13.7550013	3.733463843	0.1938
0.70757	4.905	0.00325	365426.7448	0.002066158	258566.3813	3.65402	1.9239638	5.9171423	0.0393	0.0381	0.0266	0.0254	13.18148808	4.60217387	0.22987
0.71357	4.905	0.003525	169706.5987	0.002502874	121098.3098	3.022821	1.4807812	0.7803087	0.0393	0.0381	0.0266	0.0254	16.94040223	1.103887602	-0.52326
0.71186	9.81	0.003442	547633.2309	0.001867417	389839.3007	4.202201	2.1024923	2.4136786	0.0393	0.0381	0.0266	0.0254	12.11503014	2.809468866	0.0155
0.71016	9.81	0.003363	590726.8495	0.001832386	419512.8685	4.305172	2.1986828	2.4155336	0.0393	0.0381	0.0266	0.0254	11.61222154	3.663157809	0.45665
0.70903	9.81	0.003312	673709.4963	0.00177315	477677.0356	4.493646	2.3262019	6.7909202	0.0393	0.0381	0.0266	0.0254	11.00975516	4.698960081	0.33397
0.70731	9.81	0.003239	671415.0368	0.001774663	474696.1862	4.484996	2.3688266	6.8555387	0.0393	0.0381	0.0266	0.0254	10.82283874	5.616474702	0.10106
0.71382	9.81	0.003537	329414.8544	0.002120449	235142.3555	3.568294	1.7426758	0.842829	0.0393	0.0381	0.0266	0.0254	14.48802928	1.416148435	-0.42745

Tabung : 3" atau (L/dha) = 11.8

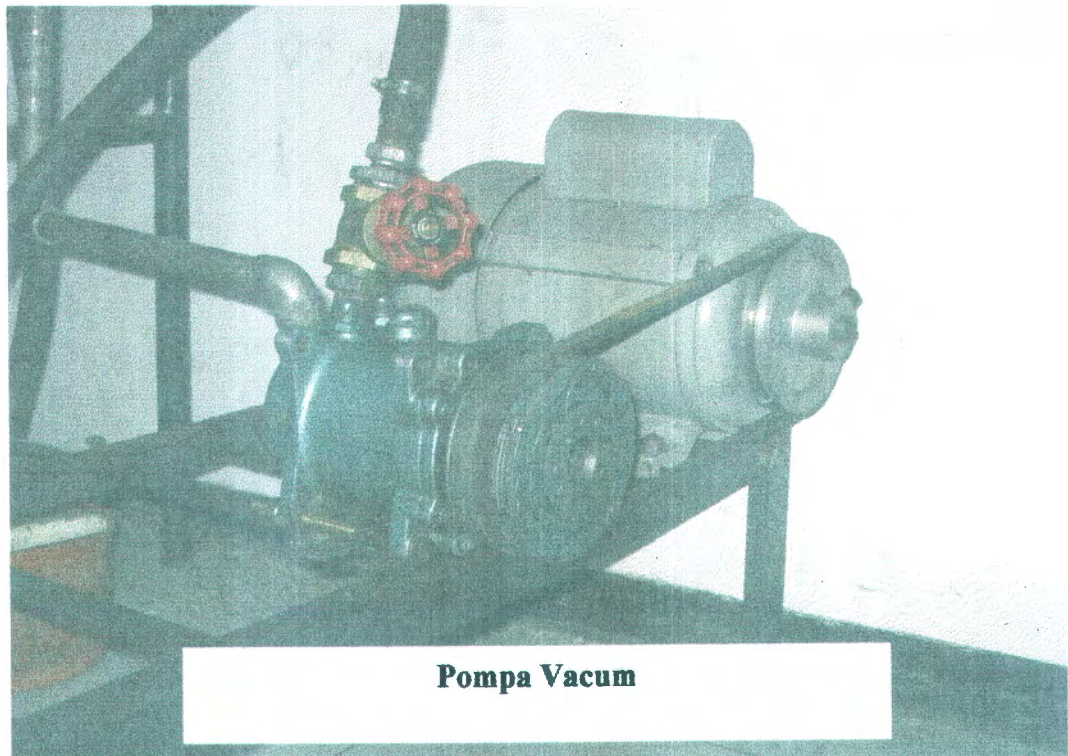
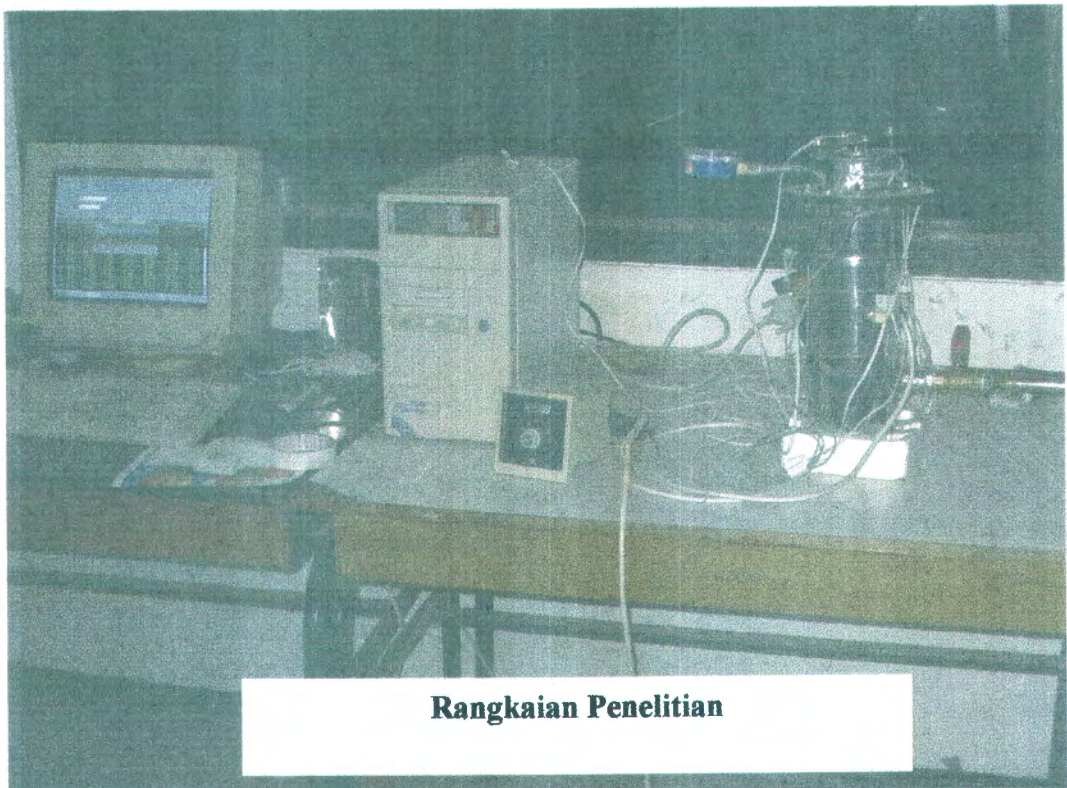
D2	Pvac	Tenta	Heater	Tw2-out	Tw2-in	T~	Tw1-out	Tw1-in	dha(m)	L/dha	Tf(C)	Tf (K)	rho	Cp	Miu($\times 10^{-5}$)	Viskir($\times 10^{-6}$)	Kf	Alfa($\times 10^{-4}$)
3"	60	30	35	35.352	30.7997	12.585	3.678	1.8362	0.0254	11.811	17.23885	290.239	1.24589	1.0068	1.790536926	15.11257133	0.025393	0.213708092
		30	45	45.2138	39.3505	13.5157	4.3428	2.152	0.0254	11.811	21.84665	294.847	1.22678	1.007	1.812470054	15.54800843	0.02575	0.220230433
		30	55	55.4478	50.5751	30.9312	9.306	3.2406	0.0254	11.811	29.94055	302.941	1.1932	1.0073	1.850997018	16.31288198	0.026378	0.231687349
		30	65	65.166	57.5495	34.6534	12.5408	4.0768	0.0254	11.811	35.04515	308.045	1.17203	1.0074	1.875294914	16.79526668	0.026774	0.23891291
		30	Stand	20.8717	17.1051	5.7608	1.7726	1.418	0.0254	11.811	9.43885	282.439	1.27824	1.0065	1.753408926	14.37547133	0.024787	0.202667192
		60	35	35.0561	29.1158	10.148	4.2541	1.418	0.0254	11.811	16.68495	289.685	1.24819	1.0068	1.787900362	15.06022778	0.02535	0.212924047
		60	45	45.1456	40.5913	13.4712	5.0074	2.3294	0.0254	11.811	22.79935	295.799	1.22282	1.007	1.817004906	15.63803858	0.025824	0.22157898
		60	55	55.1823	52.4809	30.4437	9.8821	3.886	0.0254	11.811	31.1815	304.182	1.18806	1.0073	1.85690394	16.43015175	0.026474	0.233443913
		60	65	65.101	56.659	31.5073	10.1478	4.9496	0.0254	11.811	33.4034	306.403	1.17884	1.0074	1.867480184	16.6401213	0.026647	0.236589013
		60	Stand	21.8468	18.3013	5.7607	2.1714	1.2408	0.0254	11.811	10.23635	283.236	1.27494	1.0065	1.757205026	14.45083508	0.024849	0.203796053
		90	35	35.1322	29.3815	12.718	4.2983	1.2158	0.0254	11.811	16.8399	289.84	1.24754	1.0068	1.788637924	15.07487055	0.025362	0.213143378
		90	45	45.276	41.256	14.3575	6.8553	2.2408	0.0254	11.811	24.05565	297.056	1.21761	1.007	1.822984894	15.75675893	0.025922	0.223357273
		90	55	55.1022	50.7082	29.4688	9.3637	3.975	0.0254	11.811	30.03595	303.036	1.19281	1.0073	1.851451122	16.32189728	0.026386	0.231822387
		90	65	65.1512	58.1212	32.0832	12.2616	4.418	0.0254	11.811	35.1914	308.191	1.17142	1.0075	1.875991064	16.8090873	0.026786	0.239119927
		90	Stand	21.4478	17.7696	5.3177	2.0384	1.2406	0.0254	11.811	9.904	282.904	1.27631	1.0065	1.75562304	14.419428	0.024823	0.203325612

Tabung : 3" atau (L/dha) = 11.8

Pr	g'	Beta	Gr	dha(ht)-m	Ra	Nu	h	qkonv	rw2-out	rw2-in	rw1-out	rw1-in	Rthermal	q total(W)	dq(%)
0.71194	8.496	0.003445	455711.8027	0.0019552	324439.5918	3.955111	1.9769744	2.1070636	0.0393	0.0381	0.0266	0.0254	12.84471896	2.609305824	-0.01592
0.71079	8.496	0.003392	547045.5466	0.001867918	388833.5946	4.19862	2.1282458	2.4104446	0.0393	0.0381	0.0266	0.0254	11.97595558	3.59568802	-0.20829
0.70876	8.496	0.003301	570179.8177	0.001848676	404123.4201	4.2524	2.2080829	4.843023	0.0393	0.0381	0.0266	0.0254	11.56543473	4.514071562	0.54251
0.70749	8.496	0.003246	576917.7837	0.001843254	408162.82	4.26638	2.2486095	5.128431	0.0393	0.0381	0.0266	0.0254	11.36820261	5.373690291	0.34928
0.71389	8.496	0.003541	292583.61	0.002184244	208872.5974	3.464163	1.6902968	0.9446727	0.0393	0.0381	0.0266	0.0254	14.91770848	1.304067581	-0.24619
0.71208	4.905	0.003452	243316.7219	0.002287287	173260.6702	3.306	1.6497171	1.6337224	0.0393	0.0381	0.0266	0.0254	15.26935352	2.202981282	-0.35639
0.71055	4.905	0.003381	316316.5521	0.002142068	224758.7775	3.528231	1.793566	4.7791769	0.0393	0.0381	0.0266	0.0254	14.09459885	3.03777358	-0.2713
0.70845	4.905	0.003288	333588.8817	0.002113785	236332.5861	3.572801	1.8619696	4.4570072	0.0393	0.0381	0.0266	0.0254	13.59965398	3.771882733	0.48011
0.7079	4.905	0.003264	352517.87	0.002084819	249547.1006	3.62173	1.8997615	5.6600945	0.0393	0.0381	0.0266	0.0254	13.34149132	4.508596421	0.31241
0.71369	4.905	0.003531	175358.5498	0.002482458	125151.8034	3.047805	1.4908531	0.5262643	0.0393	0.0381	0.0266	0.0254	16.83015884	1.224349704	-0.36267
0.71204	9.81	0.00345	439753.7061	0.001920301	348724.2411	3.937753	1.9658979	2.8530233	0.0393	0.0381	0.0266	0.0254	12.91358534	2.626412348	-0.081
0.71024	9.81	0.003366	599868.181	0.001825365	426048.0299	4.327189	2.2080179	5.3359387	0.0393	0.0381	0.0266	0.0254	11.56575728	3.720915022	-0.35082
0.70874	9.81	0.0033	658631.4351	0.001783212	466799.1102	4.459616	2.3163305	6.2682706	0.0393	0.0381	0.0266	0.0254	11.05402409	4.625211558	0.46824
0.70745	9.81	0.003245	677300.8575	0.001770795	479157.9478	4.498239	2.3718161	6.1840595	0.0393	0.0381	0.0266	0.0254	10.80998109	5.618252196	0.22023
0.71377	9.81	0.003535	343943.2915	0.002097693	245497.7789	3.606947	1.7625298	0.8108199	0.0393	0.0381	0.0266	0.0254	14.33183546	1.409951995	-0.40223

LAMPIRAN – III

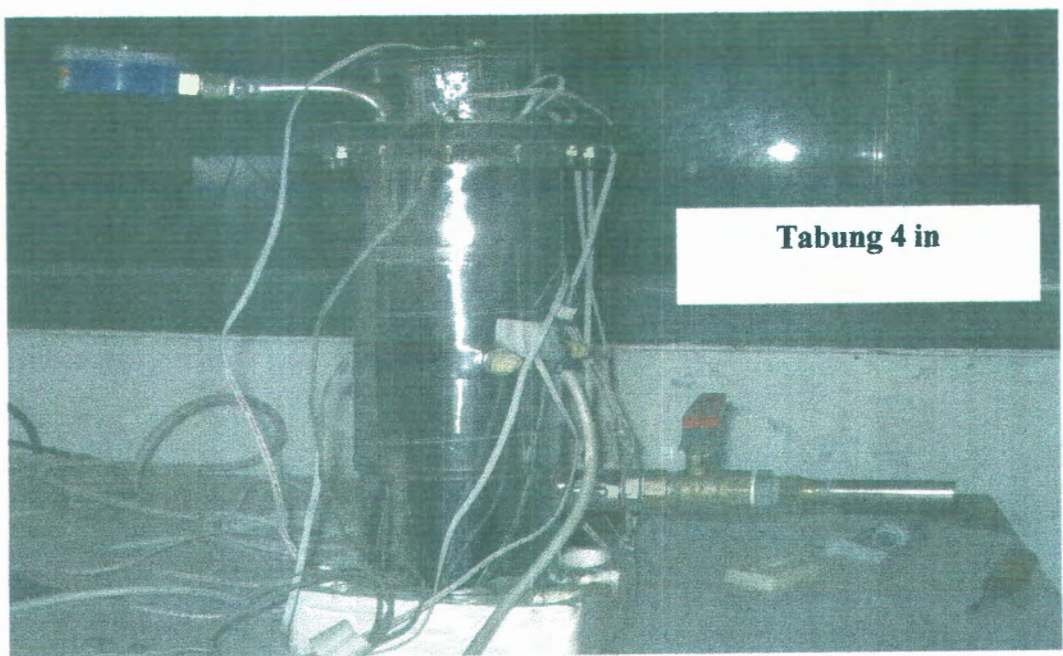
KOMPONEN EKSPERIMENTAL



Tabung 3 in



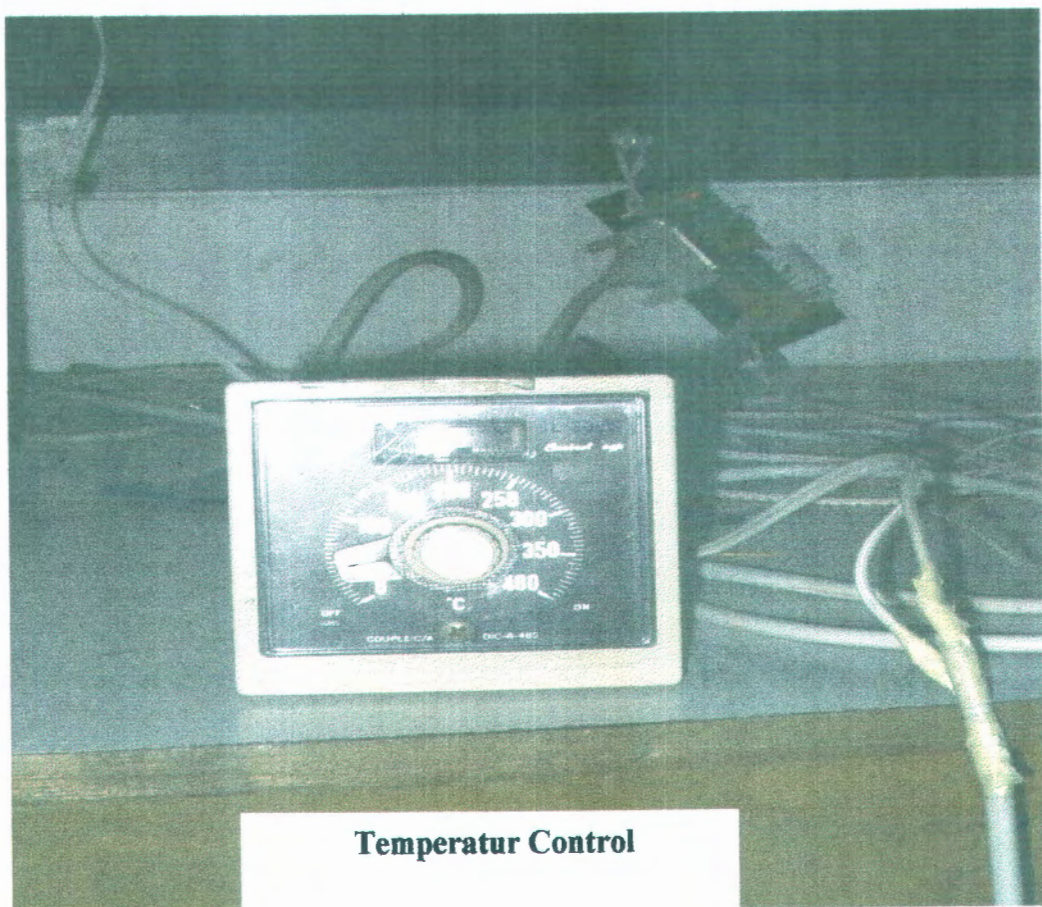
Tabung 4 in



Tabung 3.5 in



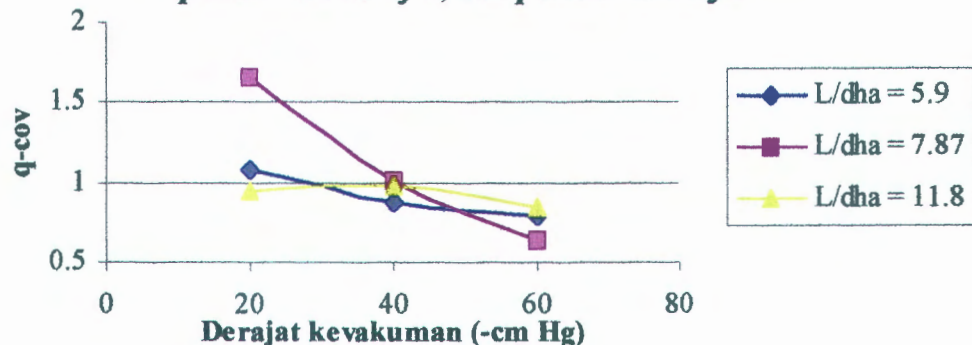
Temperatur Control



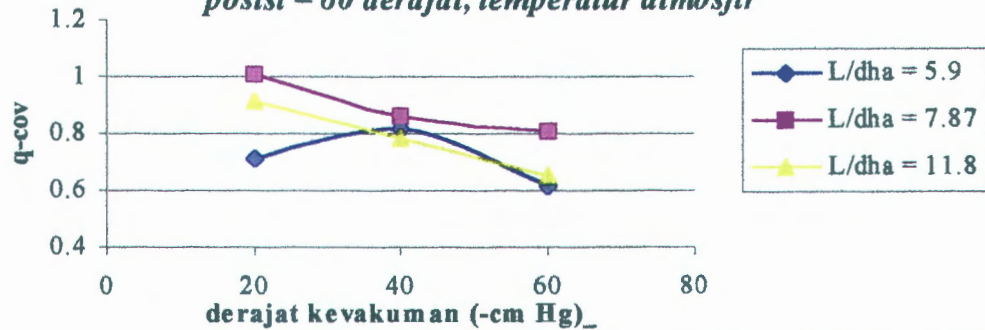
LAMPIRAN – IV

GRAFIK HASIL PERHITUNGAN

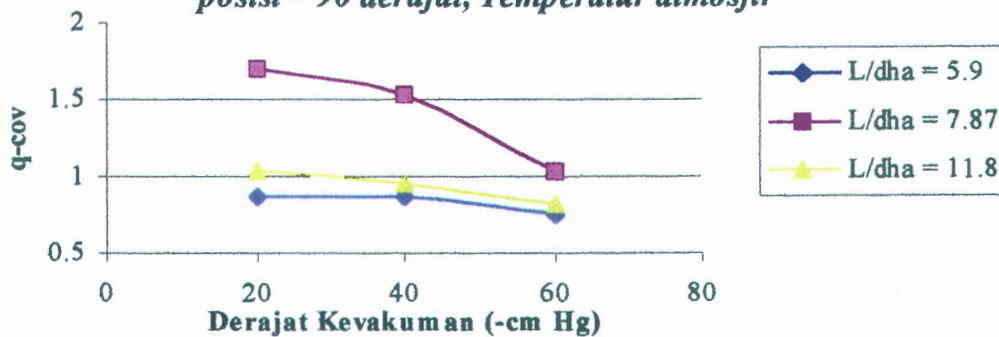
Grafik Hubungan Derajat Kevakuman Vs Laju Perpindahan Panas Konveksi Alamiah di rongga pada posisi = 30 derajat, Temperatur atmosfir



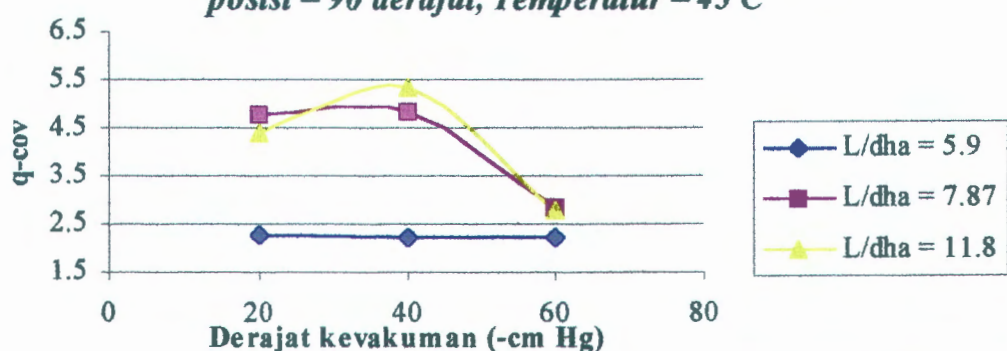
Grafik Hubungan Derajat kevakuman Vs laju Perpindahan panas Konveksi alamiah di rongga pada posisi = 60 derajat, temperatur atmosfir



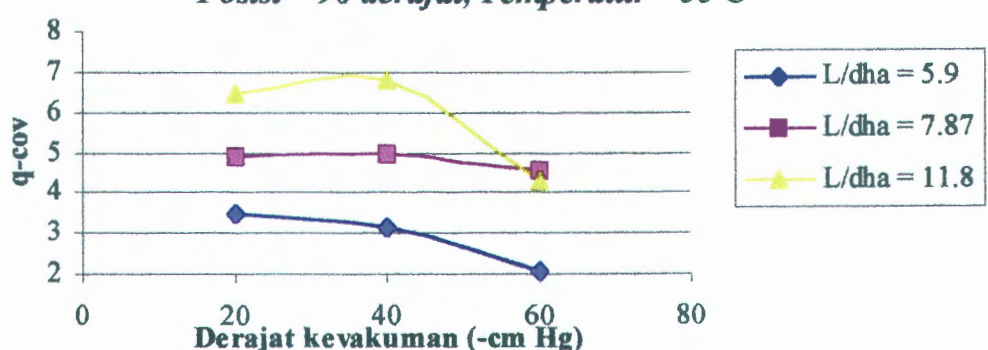
Grafik Hubungan derajat Kevakuman Vs Laju Perpindahan Panas Konveksi di Rongga pada posisi = 90 derajat, Temperatur atmosfir



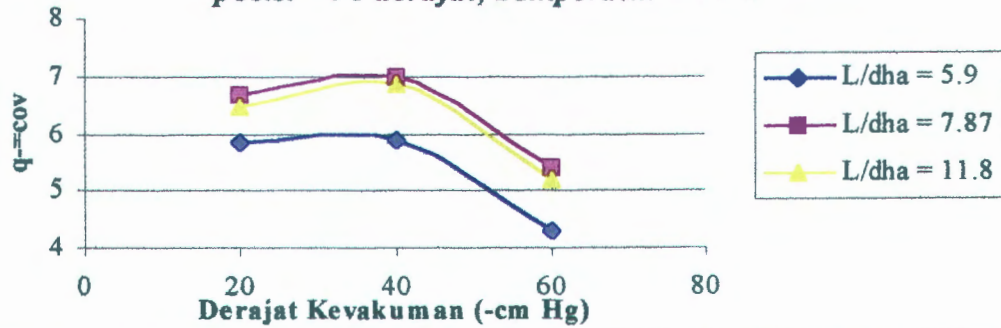
Grafik Hubungan Derajat kevakuman Vs Laju Perpindahan Panas Konveksi Alamiah di rongga pada posisi = 90 derajat, Temperatur = 45 C



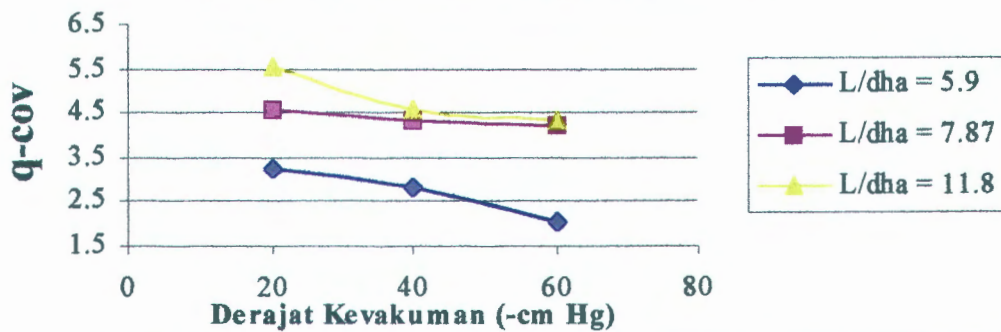
Grafik hubungan Derajat Kevakuman Vs Laju Perpindahan Panas konveksi Alamiah di Rongga pada Posisi = 90 derajat, Temperatur = 55 C



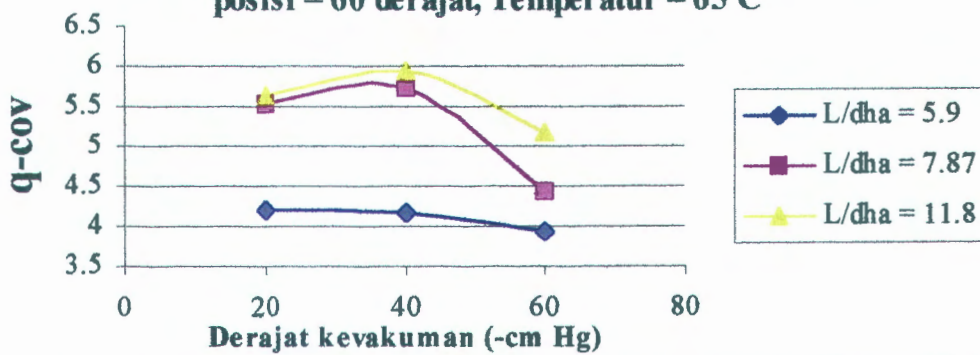
Grafik Hubungan Derajat Kevakuman Vs Laju Perpindahan Panas Konveksi alamiah di rongga pada posisi = 90 derajat, Temperatur = 65 C



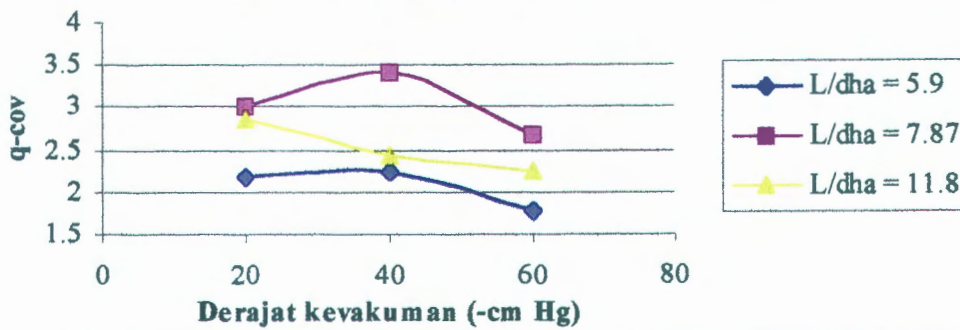
Grafik hubungan Derajat kevakuman Vs Laju Perpindahan Panas konveksi Alamiah di rongga pada posisi = 60 derajat, Temperatur = 55 C



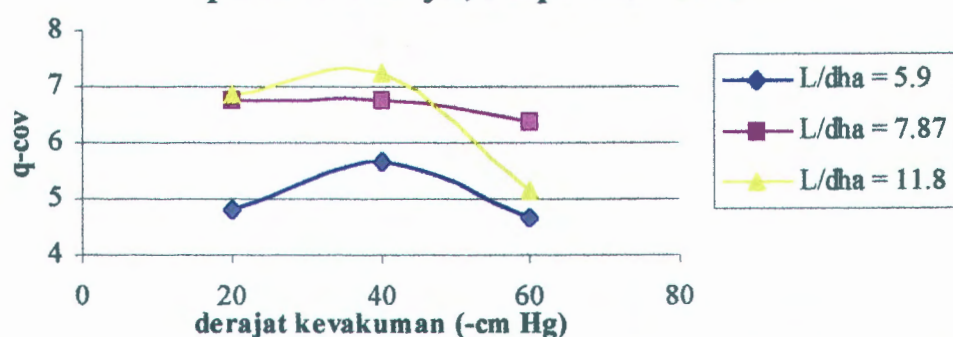
Grafik hubungan Derajat Kevakuman Vs Laju Perpindahan panas Konveksi Alamiah di Rongga pada posisi = 60 derajat, Temperatur = 65 C



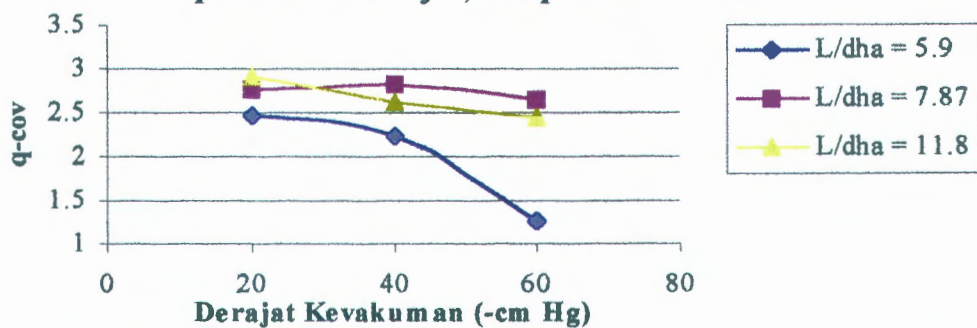
Grafik hubungan Derajat Kevakuman Vs Laju Perpindahan Panas konveksi Alamiah di Rongga pada Posisi = 90 derajat, Temperatur = 35 C



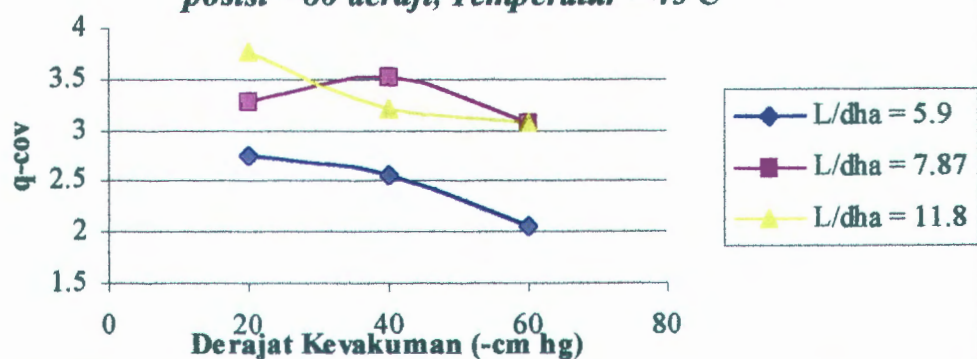
Grafik hubungan Derajat Kevakuman Vs Laju Perpindahan panas konveksi alamiah di rongga pada posisi = 30 derajat, Temperatur = 65 C



Grafik hubungan Derajat kevakuman Vs Laju Perpindahan Panas Konveksi alamiah di rongga pada posisi = 60 derajat, Temperatur = 35 C



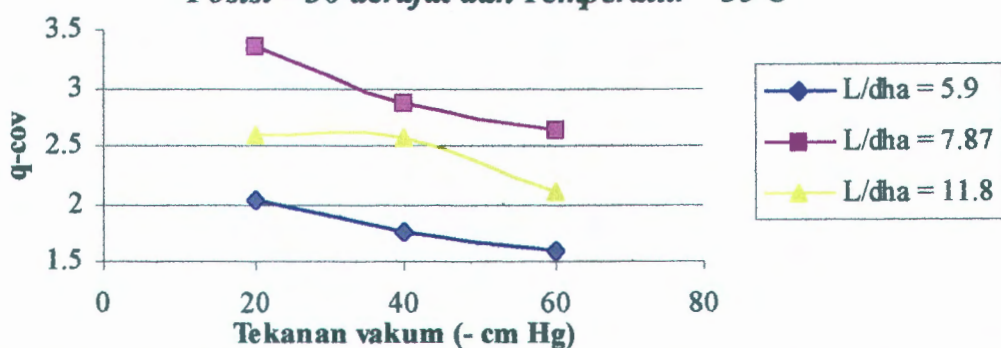
Grafik Hubungan Derajat Kevakuman Vs Laju Perpindahan Panas Konveksi Alamiah di rongga pada posisi = 60 derajat, Temperatur = 45 C



Grafik Hubungan Derajat Kevakuman terhadap Laju

Perpindahan Panas Konveksi Alamiah pada

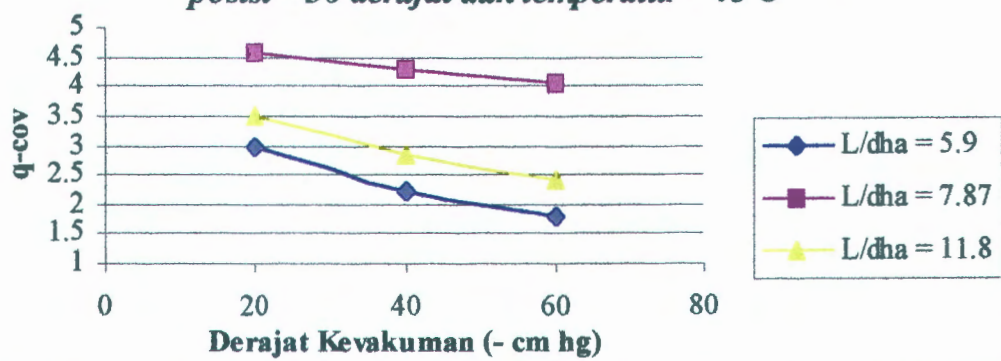
Posisi = 30 derajat dan Temperatur = 35 C



Grafik : Hubungan Derajat Kevakuman Vs Laju

Perpindahan Panas Konveksi Alamiah di rongga pada

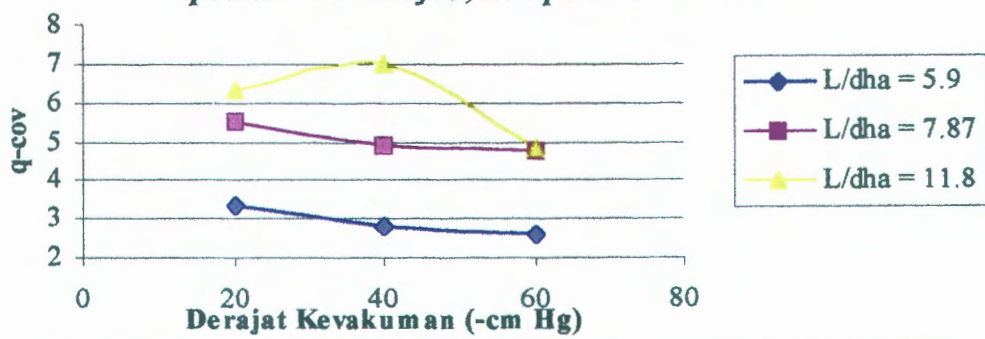
posisi = 30 derajat dan temperatur = 45 C



Grafik Hubungan derajat Kevakuman Vs laju

Perpindahan panas konveksi alamiah di rongga pada

posisi = 30 derajat , Temperatur= 55 C



LAMPIRAN – V

DATA VALIDASI EKSPERIMEN

DATA VALIDASI

WAKTU TERHADAP TEMPERATUR ES MENCAIR PADA $\frac{L}{\delta} = 5.9$

UNTUK POSISI = 90⁰ DAN TEMPERATUR PERMUKAAN = 45⁰C

Waktu	P=-20 cm hg	P = -40 cm hg	P = -60 cm hg
30	-3.394	-3.594	-3.894
300	-2.107	-2.107	-3.207
600	-1.784	-1.784	-2.684
900	-0.325	-1.324	-2.324
1200	-0.225	-1.069	-1.869
1500	-0.137	-0.337	-1.537
1800	-0.694	-0.136	-0.425
2100	0.1089	-0.693	-0.337
2400	0.209	0.1091	-0.125
2700	0.749	0.2081	0.1087
3000	0.542	0.7482	0.409
3300	0.078	0.542	0.7480
3600	0.759	0.077	0.842
3900	0.842	0.749	0.079
4200	0.835	0.642	0.649
4500	0.735	0.535	0.742
4800	0.935	0.935	0.535
5100	1.976	0.835	0.735
5400	2.122	0.957	0.835
5700	2.737	1.933	0.557
6000	3.937	2.522	0.965
6300	4.922	3.737	1.022
6600	5.767	3.937	1.965
6900		4.522	2.522
7200		5.667	3.737
7500			3.937
7800			4.522
8100			5.867